

VÝZKUMNÁ ZPRÁVA Z-1428/08



**ÚSTAV TERMOMECHANIKY
AV ČR, v.v.i.**

**ODVOZENÍ DISPERZNÍCH VZTAHŮ
PRO ANIZOTROPNÍ TLUSTÉ DESKY
V SYSTÉMU MAPLE**

OLGA ČERVENÁ, PETR HORA

Obsah

Seznam obrázků	4
1 Disperzní křivky v anizotropních deskách	6
1.1 Úvod	6
1.2 Metoda parciálních vln	7
1.3 Izotropní deska	8
1.3.1 Mindlinova metoda oddělených módů	9
1.4 Kubická deska	9
1.4.1 směr šíření $\phi = 0^\circ$	10
1.4.2 směr šíření $\phi = 45^\circ$	12
1.4.3 směr šíření $0 < \phi < 45^\circ$	14
1.5 Ortotropní deska	15
1.5.1 směr šíření $\phi = 0^\circ$	15
1.5.2 směr šíření $\phi = 90^\circ$	17
1.5.3 směr šíření $0 < \phi < 90^\circ$	19
2 Interpretace falešných kořenů	21
2.1 Izotropní deska	21
2.2 Ortotropní deska	23
3 Výpisy programů - Maple	26
3.1 Christoffel_cubic_ortho.mw	26
3.2 dc_cubic_ortho.mw	58
4 Výsledky	73
4.1 Izotropní deska	73
4.2 Kubická deska	75
4.3 Ortotropní deska	88
Literatura	110

Seznam obrázků

1.1	Parciální vlny v nekonečné izotropní desce: a) SH, b) SV, c) P.	7
1.2	Materiálové osy X, Y, Z libovolně orientované k osám anizotropní desky x, y, z	8
1.3	Modely Mindlinových okrajových podmínek.	9
1.4	Deska s anizotropií orientací (001) a směr šíření v rovině desky.	10
2.1	Disperzní křivky pro symetrické módy izotropní desky	21
2.2	Průběh funkce (1.9) pro symetrické módy.	22
2.3	Disperzní křivky pro antisymetrické módy izotropní desky	22
2.4	Průběh funkce (1.10) pro antisymetrické módy	23
2.5	Disperzní křivky pro symetrické módy v ortotropní desce a směr šíření 30°	23
2.6	Průběh funkce (1.67) pro symetrické módy pro ortotropní desku pro $\phi = 30^\circ$	24
2.7	Průběhy parametrů C_A, C_B, C_C pro ortotropní desku pro $\phi = 30^\circ$	24
2.8	Průběhy parametrů C_A, C_B, C_C pro ortotropní desku pro $\phi = 30^\circ$	25
2.9	Disperzní křivky pro antisymetrické módy v ortotropní desce a směr šíření 30°	25
2.10	Průběh funkce (1.68) pro antisymetrické módy pro ortotropní desku pro $\phi = 30^\circ$	25
4.1	Disperzní křivky v izotropní desce.	74
4.2	Disperzní křivky pro směr šíření $\phi = 0^\circ$ v kubické desce.	76
4.3	Disperzní křivky pro směr šíření $\phi = 1^\circ$ v kubické desce.	77
4.4	Disperzní křivky pro směr šíření $\phi = 5^\circ$ v kubické desce.	78
4.5	Disperzní křivky pro směr šíření $\phi = 10^\circ$ v kubické desce.	79
4.6	Disperzní křivky pro směr šíření $\phi = 15^\circ$ v kubické desce.	80
4.7	Disperzní křivky pro směr šíření $\phi = 20^\circ$ v kubické desce.	81
4.8	Disperzní křivky pro směr šíření $\phi = 25^\circ$ v kubické desce.	82
4.9	Disperzní křivky pro směr šíření $\phi = 30^\circ$ v kubické desce.	83
4.10	Disperzní křivky pro směr šíření $\phi = 35^\circ$ v kubické desce.	84
4.11	Disperzní křivky pro směr šíření $\phi = 40^\circ$ v kubické desce.	85
4.12	Disperzní křivky pro směr šíření $\phi = 44^\circ$ v kubické desce.	86
4.13	Disperzní křivky pro směr šíření $\phi = 45^\circ$ v kubické desce.	87
4.14	Disperzní křivky pro směr šíření $\phi = 0^\circ$ v ortotropní desce.	89
4.15	Disperzní křivky pro směr šíření $\phi = 1^\circ$ v ortotropní desce.	90
4.16	Disperzní křivky pro směr šíření $\phi = 5^\circ$ v ortotropní desce.	91
4.17	Disperzní křivky pro směr šíření $\phi = 10^\circ$ v ortotropní desce.	92
4.18	Disperzní křivky pro směr šíření $\phi = 15^\circ$ v ortotropní desce.	93
4.19	Disperzní křivky pro směr šíření $\phi = 20^\circ$ v ortotropní desce.	94
4.20	Disperzní křivky pro směr šíření $\phi = 25^\circ$ v ortotropní desce.	95
4.21	Disperzní křivky pro směr šíření $\phi = 30^\circ$ v ortotropní desce.	96
4.22	Disperzní křivky pro směr šíření $\phi = 35^\circ$ v ortotropní desce.	97
4.23	Disperzní křivky pro směr šíření $\phi = 40^\circ$ v ortotropní desce.	98

4.24	Disperzní křivky pro směr šíření $\phi = 45^\circ$ v ortotropní desce.	99
4.25	Disperzní křivky pro směr šíření $\phi = 50^\circ$ v ortotropní desce.	100
4.26	Disperzní křivky pro směr šíření $\phi = 55^\circ$ v ortotropní desce.	101
4.27	Disperzní křivky pro směr šíření $\phi = 60^\circ$ v ortotropní desce.	102
4.28	Disperzní křivky pro směr šíření $\phi = 65^\circ$ v ortotropní desce.	103
4.29	Disperzní křivky pro směr šíření $\phi = 70^\circ$ v ortotropní desce.	104
4.30	Disperzní křivky pro směr šíření $\phi = 75^\circ$ v ortotropní desce.	105
4.31	Disperzní křivky pro směr šíření $\phi = 80^\circ$ v ortotropní desce.	106
4.32	Disperzní křivky pro směr šíření $\phi = 85^\circ$ v ortotropní desce.	107
4.33	Disperzní křivky pro směr šíření $\phi = 89^\circ$ v ortotropní desce.	108
4.34	Disperzní křivky pro směr šíření $\phi = 90^\circ$ v ortotropní desce.	109

1 Disperzní křivky v anizotropních deskách

1.1 Úvod

Na začátku uvedeme krátký souhrn rovnic elastodynamiky ([13]–[20]), na které budeme navazovat v dalším výkladu.

$$\begin{aligned}
 \text{Pohybové rovnice:} \quad & \nabla \cdot \mathbf{T} = \rho \ddot{\mathbf{u}} & \Leftrightarrow & T_{ij,j} = \rho \ddot{u}_i, \\
 \text{Konstitutivní vztahy:} \quad & \mathbf{T} = \mathbf{C} \cdot \mathbf{S} & \Leftrightarrow & T_{ij} = C_{ijkl} S_{kl}, \quad (1.1) \\
 \text{Vztahy výchylky-deformace:} \quad & \mathbf{S} = \frac{1}{2} \{ \nabla \mathbf{u} + (\nabla \mathbf{u})^T \} & \Leftrightarrow & S_{kl} = \frac{1}{2} \{ u_{k,l} + u_{l,k} \},
 \end{aligned}$$

kde \mathbf{T} je tenzor napětí druhého řádu, \mathbf{S} je tenzor deformací druhého řádu, \mathbf{C} je tenzor elastických modulů čtvrtého řádu, \mathbf{u} je vektor výchylek a ρ je hustota materiálu.

Napětí přes libovolný povrch s normálou \mathbf{n} je dáno: $\mathbf{T} \cdot \mathbf{n} \leftrightarrow T_{ij} n_j$. Obecně, napětí a výchylky musí být na rozhraní spojité.

Tenzor napětí \mathbf{T} je symetrický, tj. $T_{ij} = T_{ji}$. Tenzor deformací \mathbf{S} je také symetrický, tj. $S_{kl} = S_{lk}$. Tenzor elastických modulů \mathbf{C} má navíc *hlavní* symetrii, tj. $C_{ijkl} = C_{klij}$. Důsledkem těchto symetrií je existence maximálně 21 nezávislých elastických konstant pro nejanizotropnější materiál. Se zvětšující se úrovní symetrie materiálu počet nezávislých elastických konstant klesá, např. 3 pro kubické krystaly a pouze 2 pro izotropní materiály.

Zkrácený zápis

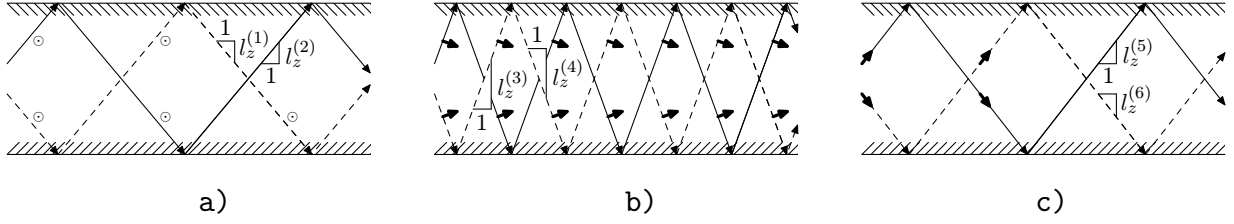
Pro výpočetní účely je často jednodušší uvažovat 6 nezávislých složek tenzoru napětí a deformací uspořádaných do vektorového tvaru:

$$\begin{aligned}
 \mathbf{T} &= [T_{11} \quad T_{22} \quad T_{33} \quad T_{23} = T_{32} \quad T_{31} = T_{13} \quad T_{12} = T_{21}]^T, \\
 \mathbf{S} &= [S_{11} \quad S_{22} \quad S_{33} \quad 2S_{23} = 2S_{32} \quad 2S_{31} = 2S_{13} \quad 2S_{12} = 2S_{21}]^T,
 \end{aligned}$$

kde jsme použili inženýrskou definici příčných deformací (proto ten činitel 2 u některých členů). Dále budeme používat velké dolní indexy k označení zkráceného zápisu. Tedy

$$\begin{aligned}
 \{ij = 11 \rightarrow I = 1; \quad ij = 22 \rightarrow I = 2; \quad ij = 33 \rightarrow I = 3; \\
 ij = 23 \vee 32 \rightarrow I = 4; \quad ij = 31 \vee 13 \rightarrow I = 5; \quad ij = 12 \vee 21 \rightarrow I = 6\}.
 \end{aligned}$$

Někdy je nutné přecházet tam a zpět mezi reprezentací tenzorovou (matice řádu 3) a reprezentací vektorovou (vektor o délce 6). Např. pro získání složek napětí a deformací v jiných souřadných soustavách je jednodušší použít maticovou (tenzorovou) reprezentaci, ale jinak je téměř vždy výhodnější používat zkráceného zápisu.



Obrázek 1.1: Parciální vlny v nekonečné izotropní desce: a) SH, b) SV, c) P.

Konstitutivní vztahy ve zkráceném zápisu přejdou na

$$\begin{bmatrix} T_1 \\ T_2 \\ T_3 \\ T_4 \\ T_5 \\ T_6 \end{bmatrix} = \begin{bmatrix} c_{11} & c_{12} & c_{13} & c_{14} & c_{15} & c_{16} \\ c_{21} & c_{22} & c_{23} & c_{24} & c_{25} & c_{26} \\ c_{31} & c_{32} & c_{33} & c_{34} & c_{35} & c_{36} \\ c_{41} & c_{42} & c_{43} & c_{44} & c_{45} & c_{46} \\ c_{51} & c_{52} & c_{53} & c_{54} & c_{55} & c_{56} \\ c_{61} & c_{62} & c_{63} & c_{64} & c_{65} & c_{66} \end{bmatrix} \begin{bmatrix} S_1 \\ S_2 \\ S_3 \\ S_4 \\ S_5 \\ S_6 \end{bmatrix} \rightarrow \mathbf{T}_I = \mathbf{C}_{IJ} \mathbf{S}_J.$$

1.2 Metoda parciálních vln

Ke studiu šíření napěťových vln v izotropních deskách se používají dvě analytické metody: metoda založená na potenciálech s následnou separací proměnných a novější metoda parciálních vln, u které se řešení skládá z jednoduchých vln exponenciálního typu, které putují mezi okraji desky, viz obr. 1.1 (SH-příčná horizontální, SV-příčná vertikální, P-podélná). Tato druhá metoda vede k řešení rychleji a přináší lepší náhled do fyzikální povahy vlnového šíření.

Při řešení problému šíření vln v anizotropních deskách máme výběr analytické metody zjednodušen. Lze totiž použít pouze metodu parciálních vln.

Pro obecné anizotropní médium jsou parciální vlny odvozeny z Christoffelovy rovnice, viz [3]

$$(k_{iI} c_{IJ} k_{Jj} - \rho \omega^2 \delta_{ij}) u_j = 0, \quad (1.2)$$

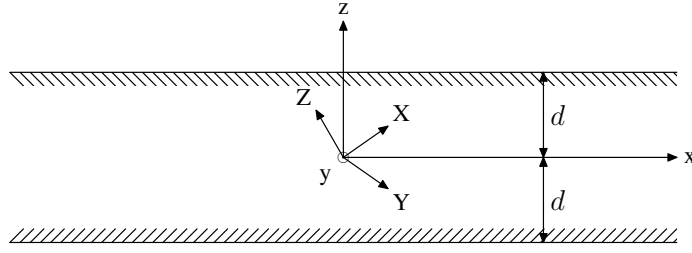
která byla odvozena z předpokládaného řešení ve tvaru

$$\mathbf{u} = \mathbf{u}_0 \exp [i (k_x x + k_y y + k_z z - \omega t)], \quad \text{kde } \mathbf{u}_0 = \hat{x} \alpha_x + \hat{y} \alpha_y + \hat{z} \alpha_z \quad (1.3)$$

v pohybové rovnici pro anizotropní prostředí. Ve vztahu (1.2) se předpokládá sčítání přes opakující se indexy a je užito obvyklé značení indexů $\mathbf{i}, \mathbf{j} = x, y, z$ a $\mathbf{I}, \mathbf{J} = xx, yy, zz, yz, xz, xy$. Matice k_{iI} je

$$k_{iI} = \begin{pmatrix} k_x & 0 & 0 & 0 & k_z & k_y \\ 0 & k_y & 0 & k_z & 0 & k_x \\ 0 & 0 & k_z & k_y & k_x & 0 \end{pmatrix} \quad (1.4)$$

a k_{Jj} je její transpozicí. Materiálové vlastnosti desky jsou popsány hustotou ρ a elastickými konstantami c_{IJ} .



Obrázek 1.2: Materiálové osy X, Y, Z libovolně orientované k osám anizotropní desky x, y, z .

Základní princip metody parciálních vln spočívá v jejich vazbě na ostatní vlny přes odrazy na okrajích desky. Vyplývá to ze skutečnosti, že každá parciální vlna na obr. 1.1 nebo v anizotropním problému znázorněném na obr. 1.2 musí mít stejnou hodnotu k_x . To je $k_x = k = \omega/v$, kde v je fázová rychlost vlny v desce. Rovnice (1.3) pak přejde na tvar

$$u_j = \alpha_j \exp [ik(x + l_z z)], \quad (1.5)$$

s $j = x, y, z$ a $l_z = k_z/k_x$ pro každé parciální vlnové řešení.

Substitucí vztahu (1.5) do (1.2) získáme soustavu tří homogenních lineárních rovnic pro α_x, α_y a α_z , kde jsou koeficienty funkcemi ρ, c_{IJ} a $\omega/k = v$. Netriviální řešení existuje, pouze pokud je determinant soustavy nulový. To vede na polynom šestého řádu pro l_z , který má šest reálných nebo komplexně sdružených kořenů $l_z^{(n)}$, $n = 1, \dots, 6$. Parciální vlnové řešení definované těmito kořeny odpovídá třem dopadajícím a třem odraženým vlnám, viz obr. 1.1 pro izotropní desku. V anizotropní desce se obvykle parciální vlny neseparují na čistě horizontálně a vertikálně polarizované. K tomu dochází pouze při speciální orientaci materiálu a desky.

Vztahy pro parciální vlny jsou nyní

$$u_j = \sum_{n=1}^6 C_n \alpha_j^{(n)} \exp [ik(x + l_z^{(n)} z)], \quad (j = x, y, z). \quad (1.6)$$

V dalším kroku se vyšetřuje vazba mezi parciálními vlnami na okraji desky. Pro volný povrch desky je třeba splnit následující okrajové podmínky

$$T_{xz} = T_{yz} = T_{zz} = 0, \quad (1.7)$$

na každém povrchu desky, $z = \pm d$ viz obr. 1.2.

Substitucí vztahů (1.6) do okrajových podmínek (1.7) dostaneme soustavu šesti homogenních lineárních rovnic, ve kterých jsou koeficienty C_n funkcemi $\rho, c_{IJ}, \omega/k = v$ a kd . Opět netriviální řešení existuje, pouze pokud determinant soustavy je roven nule, což určuje disperzní vztah mezi ω a k .

1.3 Izotropní deska

Disperzní vztahy pro izotropní desku lze rozdělit do tří samostatných rovnic, jak je uvedeno v [1], [16] a [5].

SH-módy

$$(N\pi)^2 = (2d\omega/c_2)^2 - (2dk)^2, \quad (1.8)$$

kde N je přirozené číslo včetně nuly a c_2 je fázová rychlost příčných vln.

Symetrické (dilatační) módy:

$$4 \delta \beta \sinh(kd\delta) \cosh(kd\beta) - \left(\frac{v^2}{c_2^2} - 2\right)^2 \sinh(kd\beta) \cosh(kd\delta) = 0, \quad (1.9)$$

kde $\delta = \sqrt{1 - \frac{v^2}{c_1^2}}$, $\beta = \sqrt{1 - \frac{v^2}{c_2^2}}$, k je vlnové číslo, d je polovina tloušťky desky, v je fázová rychlost, c_1 rychlost podélných a c_2 rychlost příčných vln.

Antisymetrické (ohybové) módy:

$$4 \delta \beta \sinh(kd\beta) \cosh(kd\delta) - \left(\frac{v^2}{c_2^2} - 2\right)^2 \sinh(kd\delta) \cosh(kd\beta) = 0. \quad (1.10)$$

1.3.1 Mindlinova metoda oddělených módů

Pro snazší pochopení chování symetrických a antisymetrických módů vyvinul Mindlin [17] metodu oddělených módů, která spočívá v zavedení speciálních okrajových podmínek

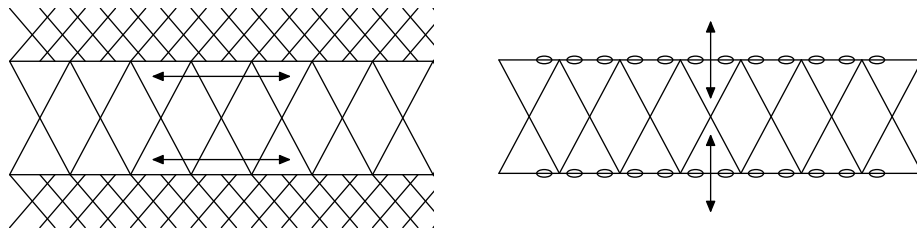
$$T_{xz} = 0, \quad u_z = 0 \quad (1.11)$$

nebo

$$T_{zz} = 0, \quad u_x = 0. \quad (1.12)$$

Tyto okrajové podmínky nelze realizovat v praxi, ale lze je simulovat „namazanými tuhými poloprostory“ (viz obr. 1.3 vlevo) a „mikroskopickým řetízem“ (viz obr. 1.3 vpravo). Pro tyto speciální okrajové podmínky degenerují symetrické a antisymetrické módy do oddělených SV-módů, popsaných vztahem (1.8), a oddělených P-módů, popsaných následujícím vztahem

$$(M\pi)^2 = (2d\omega/v_L)^2 - (2dk)^2. \quad (1.13)$$

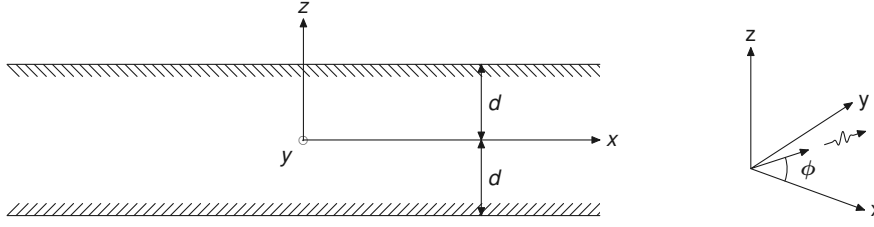


Obrázek 1.3: Modely Mindlinových okrajových podmínek.

Mindlinovy disperzní křivky jsou spolu s disperzními křivkami pro symetrické a antisymetrické módy izotropní desky zakresleny v obr. 4.1.

1.4 Kubická deska

Disperzní chování v anizotropních deskách závisí na směru šíření. Uvažujeme desku s anizotropií orientací (001) a vyšetřujeme šíření v rovině desky. Směr šíření je dán úhlem ϕ mezi osou x a vlnovým vektorem viz obr.1.4. Nejdříve zaměříme na směry šíření v rovinách symetrie krystalu. Pro kubickou desku jsou to směry šíření [100] a [110], (tj. $\phi = 0^\circ$ a $\phi = 45^\circ$).



Obrázek 1.4: Deska s anizotropií orientací (001) a směr šíření v rovině desky.

1.4.1 směr šíření $\phi = 0^\circ$

V tomto případě se Christoffelova rovnice (1.2) redukuje na

$$\begin{pmatrix} c_{11} + c_{44} l_z^{(n)2} - \rho v^2 & 0 & (c_{12} + c_{44}) l_z^{(n)} \\ 0 & c_{44} (1 + l_z^{(n)2}) - \rho v^2 & 0 \\ (c_{12} + c_{44}) l_z^{(n)} & 0 & c_{44} + c_{11} l_z^{(n)2} - \rho v^2 \end{pmatrix} \begin{pmatrix} \alpha_x^{(n)} \\ \alpha_y^{(n)} \\ \alpha_z^{(n)} \end{pmatrix} = 0, \quad (1.14)$$

kde $\alpha_x^{(n)}$, $\alpha_y^{(n)}$ a $\alpha_z^{(n)}$ jsou složky polarizace n -té parciální vlny. Determinant soustavy se rozdělí na

$$c_{44} (1 + l_z^{(n)2}) - \rho v^2 = 0 \quad (1.15)$$

a

$$(c_{11} + c_{44} l_z^{(n)2} - \rho v^2)(c_{44} + c_{11} l_z^{(n)2} - \rho v^2) - (c_{12} + c_{44})^2 l_z^{(n)2} = 0. \quad (1.16)$$

SH-módy

Uvažujme první dva kořeny $l_z^{(n)}$ rovnice (1.15), které spojíme s $n = 5, 6$. Odpovídající parciální vlny

$$SH \begin{cases} l_z^{(5)} = \sqrt{(\rho v^2 / c_{44}) - 1}, & \alpha^{(5)} = \begin{pmatrix} 0 \\ 1 \\ 0 \end{pmatrix}, \\ l_z^{(6)} = -l_z^{(5)}, & \alpha^{(6)} = \alpha^{(5)}, \end{cases} \quad (1.17)$$

kde $v = \omega/k$, jsou horizontálně polarizované. Pro splnění okrajových podmínek je třeba, aby

$$\sin(2 l_z^{(5)} k d) = 0 \quad \Rightarrow \quad l_z^{(5)} = N\pi/2kd \quad \text{pro} \quad N = 0, 1, 2, \dots \quad (1.18)$$

Jedná se o čistě SH-módy stejně jako v izotropním případě.

Symetrické a antisymetrické módy

Čtyři kořeny $l_z^{(n)}$ ($n = 1, 2, 3, 4$) rovnice (1.16)

$$l_z^{(n)2} = \frac{-B \pm \sqrt{B^2 - A}}{2 c_{11} c_{44}}, \quad (1.19)$$

kde

$$A = 4 c_{11} c_{44} (c_{11} - \rho v^2) (c_{44} - \rho v^2) \quad \text{a} \quad B = (c_{11} - \rho v^2) c_{11} + (c_{44} - \rho v^2) c_{44} - (c_{12} + c_{44})^2,$$

vedou na zbývající parciální vlny typu P a SV. Znaménko plus vede na kvazipříčné vlny ($n = 1, 2$) a znaménko mínus na kvazipodélné vlny ($n = 3, 4$):

$$SV \left\{ \begin{array}{l} l_z^{(1)} = \sqrt{\frac{-B + \sqrt{B^2 - A}}{2 c_{11} c_{44}}}, \quad \alpha^{(1)} = \begin{pmatrix} \alpha_x^{(1)} \\ \alpha_y^{(1)} \\ \alpha_z^{(1)} \end{pmatrix} = \begin{pmatrix} -(c_{12} + c_{44}) l_z^{(1)} \\ 0 \\ c_{11} + c_{44} l_z^{(1)2} - \rho v^2 \end{pmatrix}, \\ l_z^{(2)} = -l_z^{(1)}, \quad \alpha^{(2)} = \begin{pmatrix} -\alpha_x^{(1)} \\ 0 \\ \alpha_z^{(1)} \end{pmatrix}, \end{array} \right. \quad (1.20)$$

$$P \left\{ \begin{array}{l} l_z^{(3)} = \sqrt{\frac{-B - \sqrt{B^2 - A}}{2 c_{11} c_{44}}}, \quad \alpha^{(3)} = \begin{pmatrix} \alpha_x^{(3)} \\ \alpha_y^{(3)} \\ \alpha_z^{(3)} \end{pmatrix} = \begin{pmatrix} -(c_{12} + c_{44}) l_z^{(3)} \\ 0 \\ c_{11} + c_{44} l_z^{(3)2} - \rho v^2 \end{pmatrix}, \\ l_z^{(4)} = -l_z^{(3)}, \quad \alpha^{(4)} = \begin{pmatrix} -\alpha_x^{(3)} \\ 0 \\ \alpha_z^{(3)} \end{pmatrix}. \end{array} \right. \quad (1.21)$$

Vztahy jsou odvozeny pomocí systému pro symbolické výpočty Maple. Rovnice (1.14) až (1.21) jsou odvozeny v souboru `Christoffel_cubic_ortho.mw`, viz kapitola 3.1.

Okrajové podmínky $T_{xz} = T_{zz} = 0$ jsou splněny, pokud platí

$$\frac{\tan(l_z^{(1)} kd)}{\tan(l_z^{(3)} kd)} = \frac{(c_{12} \alpha_x^{(1)} + c_{11} \alpha_z^{(1)} l_z^{(1)}) (\alpha_x^{(3)} l_z^{(3)} + \alpha_z^{(3)})}{(c_{12} \alpha_x^{(3)} + c_{11} \alpha_z^{(3)} l_z^{(3)}) (\alpha_x^{(1)} l_z^{(1)} + \alpha_z^{(1)})} \quad (1.22)$$

nebo

$$\frac{\tan(l_z^{(1)} kd)}{\tan(l_z^{(3)} kd)} = \frac{(c_{12} \alpha_x^{(3)} + c_{11} \alpha_z^{(3)} l_z^{(3)}) (\alpha_x^{(1)} l_z^{(1)} + \alpha_z^{(1)})}{(c_{12} \alpha_x^{(1)} + c_{11} \alpha_z^{(1)} l_z^{(1)}) (\alpha_x^{(3)} l_z^{(3)} + \alpha_z^{(3)})}. \quad (1.23)$$

Rovnice (1.22) představuje disperzní závislost pro symetrické módy a rovnice (1.23) závislost pro antisymetrické módy.

Mindlinovy okrajové podmínky (1.11) resp. (1.12) jsou splněny, pokud platí

$$\sin(2 l_z^{(1)} kd) = 0 \quad (1.24)$$

nebo

$$\sin(2 l_z^{(3)} kd) = 0. \quad (1.25)$$

Tyto disperzní závislosti (1.18) a (1.22) až (1.25) byly odvozeny v souboru `dc_cubic_ortho.mw`, viz kapitola 3.2. Disperzní křivky pro SH módy, symetrické a antisymetrické módy v kubické desce jsou pro směr šíření $\phi = 0$ zakresleny spolu s Mindlinovými disperzními křivkami v obr. 4.2.

1.4.2 směr šíření $\phi = 45^\circ$

V případě, kdy má deska s kubickou anizotropií orientaci (001) a vyšetřujeme směr šíření [110], tj. $\phi = 45^\circ$, se Christoffelova rovnice redukuje na

$$\begin{pmatrix} \frac{1}{2}(c_{11} + c_{12}) + c_{44}(1 + l_z^{(n)2}) - \rho v^2 & 0 & (c_{12} + c_{44})l_z^{(n)} \\ 0 & c_{44}l_z^{(n)2} + \frac{1}{2}(c_{11} - c_{12}) - \rho v^2 & 0 \\ (c_{12} + c_{44})l_z^{(n)} & 0 & c_{44} + c_{11}l_z^{(n)2} - \rho v^2 \end{pmatrix} \begin{pmatrix} \alpha_x^{(n)} \\ \alpha_y^{(n)} \\ \alpha_z^{(n)} \end{pmatrix} = 0. \quad (1.26)$$

Determinant soustavy se rozdělí na

$$\left(\frac{1}{2}(c_{11} + c_{12}) + c_{44}(1 + l_z^{(n)2}) - \rho v^2 \right) \left(c_{44} + c_{11}l_z^{(n)2} - \rho v^2 \right) - (c_{12} + c_{44})^2 l_z^{(n)2} = 0 \quad (1.27)$$

a

$$c_{44}l_z^{(n)2} + \frac{1}{2}(c_{11} - c_{12}) - \rho v^2 = 0. \quad (1.28)$$

SH-módy

Dva kořeny $l_z^{(n)}$ ($n = 5, 6$) rovnice (1.28)

$$SH \begin{cases} l_z^{(5)} = \sqrt{\frac{\frac{1}{2}(c_{12} - c_{11}) + \rho v^2}{c_{44}}}, & \alpha^{(5)} = \begin{pmatrix} 0 \\ 1 \\ 0 \end{pmatrix}, \\ l_z^{(6)} = -l_z^{(5)}, & \alpha^{(6)} = \alpha^{(5)}, \end{cases} \quad (1.29)$$

odpovídají parciálním vlnám pro horizontálně polarizované módy. Pro splnění okrajových podmínek je třeba, aby

$$\sin(2l_z^{(5)}kd) = 0 \quad \Rightarrow \quad l_z^{(5)} = N\pi/2kd \quad \text{pro} \quad N = 0, 1, 2, \dots \quad (1.30)$$

Opět se jedná se o čistě SH-módy stejně jako v předchozím případě.

Symetrické a antisymetrické módy

Čtyři kořeny $l_z^{(n)}$ ($n = 1, 2, 3, 4$) rovnice (1.27)

$$l_z^{(n)2} = \frac{-B \pm \sqrt{B^2 - 4AC}}{2A}, \quad (1.31)$$

kde

$$A = 2c_{11}c_{44},$$

$$B = -2(c_{11} + c_{44})\rho v^2 + (c_{11} - 2c_{12})(c_{12} + 2c_{44}) + c_{11}^2 \quad \text{a}$$

$$C = (c_{4,4} - \rho v^2)(c_{1,1} + c_{1,2} + 2(c_{4,4} - \rho v^2)),$$

vedou na zbývající parciální vlny typu P a SV. Znaménko plus vede na kvazipříčné vlny ($n = 1, 2$) a znaménko minus na kvazipodélné vlny ($n = 3, 4$):

$$SV \left\{ \begin{array}{l} l_z^{(1)} = \sqrt{\frac{-B + \sqrt{B^2 - 4AC}}{2A}}, \quad \alpha^{(1)} = \begin{pmatrix} \alpha_x^{(1)} \\ \alpha_y^{(1)} \\ \alpha_z^{(1)} \end{pmatrix} = \begin{pmatrix} -(c_{12} + c_{44})l_z^{(1)} \\ 0 \\ \frac{1}{2}(c_{11} + c_{12}) + c_{44}(1 + l_z^{(1)2}) - \rho v^2 \end{pmatrix}, \\ l_z^{(2)} = -l_z^{(1)}, \quad \alpha^{(2)} = \begin{pmatrix} -\alpha_x^{(1)} \\ 0 \\ \alpha_z^{(1)} \end{pmatrix}, \end{array} \right. \quad (1.32)$$

$$P \left\{ \begin{array}{l} l_z^{(3)} = \sqrt{\frac{-B - \sqrt{B^2 - 4AC}}{2A}}, \quad \alpha^{(3)} = \begin{pmatrix} \alpha_x^{(3)} \\ \alpha_y^{(3)} \\ \alpha_z^{(3)} \end{pmatrix} = \begin{pmatrix} -(c_{12} + c_{44})l_z^{(3)} \\ 0 \\ \frac{1}{2}(c_{11} + c_{12}) + c_{44}(1 + l_z^{(3)2}) - \rho v^2 \end{pmatrix}, \\ l_z^{(4)} = -l_z^{(3)}, \quad \alpha^{(4)} = \begin{pmatrix} -\alpha_x^{(3)} \\ 0 \\ \alpha_z^{(3)} \end{pmatrix}. \end{array} \right. \quad (1.33)$$

Rovnice (1.26) až (1.33) jsou odvozeny v souboru `Christoffel_cubic_ortho.mw`, viz kapitola 3.1.

Okrajové podmínky volného povrchu desky ($T_{xz} = T_{yz} = T_{zz} = 0$) jsou splněny, pokud platí

$$\frac{\operatorname{tg}(l_z^{(1)} kd)}{\operatorname{tg}(l_z^{(3)} kd)} = \frac{(c_{12} \alpha_x^{(1)} + c_{11} \alpha_z^{(1)} l_z^{(1)}) (\alpha_x^{(3)} l_z^{(3)} + \alpha_z^{(3)})}{(c_{12} \alpha_x^{(3)} + c_{11} \alpha_z^{(3)} l_z^{(3)}) (\alpha_x^{(1)} l_z^{(1)} + \alpha_z^{(1)})} \quad (1.34)$$

nebo

$$\frac{\operatorname{tg}(l_z^{(1)} kd)}{\operatorname{tg}(l_z^{(3)} kd)} = \frac{(c_{12} \alpha_x^{(3)} + c_{11} \alpha_z^{(3)} l_z^{(3)}) (\alpha_x^{(1)} l_z^{(1)} + \alpha_z^{(1)})}{(c_{12} \alpha_x^{(1)} + c_{11} \alpha_z^{(1)} l_z^{(1)}) (\alpha_x^{(3)} l_z^{(3)} + \alpha_z^{(3)})}. \quad (1.35)$$

Rovnice (1.34) představuje disperzní závislost pro symetrické módy a rovnice (1.35) závislost pro antisymetrické módy.

Mindlinovy okrajové podmínky (1.11) resp. (1.12) jsou splněny, pokud platí

$$\sin(2l_z^{(1)} kd) = 0 \quad (1.36)$$

nebo

$$\sin(2l_z^{(3)} kd) = 0. \quad (1.37)$$

Disperzní závislosti (1.30) a (1.34) až (1.37) byly odvozeny v souboru `dc_cubic_ortho.mw`, viz kapitola 3.2. Mindlinovy oddělené módy jsou spolu s disperzními křivkami pro symetrické, antisymetrické a SH módy desky s kubickou anizotropií a směr šíření $\phi = 45$ zakresleny v obr. 4.13.

1.4.3 směr šíření $0 < \phi < 45^\circ$

Uvažujeme opět desku s kubickou anizotropií a orientací (001) a vyšetřujeme obecný směr šíření v rovině desky jak je znázorněno na obr. 1.4.

Christoffelova rovnice má v tomto případě tvar

$$\begin{pmatrix} K_A + c_{11} + c_{44}l_z^{(n)2} - \rho v^2 & K_B & (c_{12} + c_{44})l_z^{(n)} \\ K_B & (l_z^{(n)2} + 1)c_{44} - K_A - \rho v^2 & 0 \\ (c_{12} + c_{44})l_z^{(n)} & 0 & c_{44} + c_{11}l_z^{(n)2} - \rho v^2 \end{pmatrix} \begin{pmatrix} \alpha_x^{(n)} \\ \alpha_y^{(n)} \\ \alpha_z^{(n)} \end{pmatrix} = 0, \quad (1.38)$$

kde

$$\begin{aligned} K_A &= -2 \sin^2 \phi \cos^2 \phi (c_{11} - c_{12} - 2c_{44}), \\ K_B &= (1 - 2 \cos^2 \phi) (c_{11} - c_{12} - 2c_{44}) \sin \phi \cos \phi. \end{aligned}$$

V tomto případě se už nevyskytují SH-módy, ale pouze symetrické a antisymetrické módy. Determinant soustavy vede následující bikubickou rovnicí:

$$A l_z^6 + B l_z^4 + C l_z^2 + D = 0, \quad (1.39)$$

kde

$$\begin{aligned} A &= c_{11} c_{44}^2, \\ B &= (c_{11} - 2c_{12}) c_{44}^2 + (c_{11}^2 - c_{12}^2 - (c_{44} + 2c_{11}) \rho v^2) c_{44}, \\ C &= (2c_{44} + c_{11}) \rho^2 v^4 - c_{11} (K_A^2 + K_B^2) + (c_{12}^2 - c_{11}^2) (K_A + \rho v^2 - c_{44}) \\ &\quad + (c_{44} + c_{11}) (K_A - 2\rho v^2) c_{44} + 2c_{12} c_{44} (K_A + \rho v^2) + c_{44}^2 (c_{11} - 2c_{12}), \\ D &= -\rho^3 v^6 + \rho^2 v^4 (2c_{44} + c_{11}) + (\rho v^2 - c_{44}) (K_A (K_A + c_{11} - c_{44}) + K_B^2) \\ &\quad - \rho v^2 c_{44} (2c_{11} + c_{44}) + c_{11} c_{44}^2. \end{aligned}$$

Tvary rovnic (1.38) a (1.39) jsou odvozeny v `Christoffel_cubic_ortho.mw`, viz kapitola 3.1. Tato rovnice je dále řešena numericky v Matlabu, [15].

Okrajové podmínky volného povrchu desky ($T_{xz} = T_{yz} = T_{zz} = 0$) jsou splněny, pokud platí

$$C_A \cotg(l_z^{(1)}kd) + C_B \cotg(l_z^{(3)}kd) + C_C \cotg(l_z^{(5)}kd) = 0 \quad (1.40)$$

nebo

$$C_A \tg(l_z^{(1)}kd) + C_B \tg(l_z^{(3)}kd) + C_C \tg(l_z^{(5)}kd) = 0 \quad (1.41)$$

kde

$$\begin{aligned} C_A &= (c_{11}\alpha_z^{(1)}l_z^{(1)} + c_{12}) [\alpha_y^{(5)}l_z^{(5)} (\alpha_z^{(3)} + l_z^{(3)}) - \alpha_y^{(3)}l_z^{(3)} (l_z^{(5)} + \alpha_z^{(5)})], \\ C_B &= (c_{11}\alpha_z^{(3)}l_z^{(3)} + c_{12}) [\alpha_y^{(1)}l_z^{(1)} (\alpha_z^{(5)} + l_z^{(5)}) - \alpha_y^{(5)}l_z^{(5)} (l_z^{(1)} + \alpha_z^{(1)})], \\ C_C &= (c_{11}\alpha_z^{(5)}l_z^{(5)} + c_{12}) [\alpha_y^{(3)}l_z^{(3)} (\alpha_z^{(1)} + l_z^{(1)}) - \alpha_y^{(1)}l_z^{(1)} (l_z^{(3)} + \alpha_z^{(3)})] \quad \text{a} \\ \alpha_y^{(n)} &= \frac{K_B}{K_A + \rho v^2 - (l_z^{(n)2} + 1)c_{44}}, \quad \alpha_z^{(n)} = \frac{(c_{12} + c_{44})l_z^{(n)}}{\rho v^2 - c_{44} - c_{11}l_z^{(n)2}} \quad \text{pro } n = 1,3,5. \end{aligned}$$

Rovnice (1.40) představuje disperzní závislost pro symetrické módy a rovnice (1.41) závislost pro antisymetrické módy. Disperzní závislosti byly odvozeny v souboru `dc_cubic_ortho.mw`, viz kapitola 3.2 a tvary polarizací parciálních vln α_y a α_z v `Christoffel_cubic_ortho.mw`, viz kapitola 3.1.

Mindlinovy okrajové podmínky $T_{xz} = 0$, $u_z = 0$ nebo $T_{zz} = 0$, $u_x = 0$ lze pro kubickou desku použít při $\phi = 0^\circ$ a $\phi = 45^\circ$. Tedy pouze v případě, kdy sagitální rovina tvoří rovinu symetrie krystalu a lze tedy oddělit SH-módy. Pro obecný úhel šíření, kdy nelze oddělit SH-módy, jsme k získání oddělených módů museli doplnit první dvojici výše uvedených okrajových podmínek o podmínku $T_{yz} = 0$ a druhou dvojici o podmínku $u_y = 0$. Takto doplněné podmínky jsou splněny, pokud platí

$$\sin(2l_z^{(n)}kd) = 0 \quad \Rightarrow \quad l_z^{(n)} = N\pi/2kd \quad \text{pro } n = 1, 3, 5 \quad \text{a} \quad N = 0, 1, 2, \dots \quad (1.42)$$

Tyto disperzní závislosti jsou odvozeny v souboru `dc_cubic_ortho.mw`, viz kapitola 3.2. Zobecněné Mindlinovy oddělené módy spolu s disperzními křivkami pro symetrické a antisymetrické módy desky s kubickou anizotropií a směry šíření $\phi = 1, 5, 10, 15, 20, 25, 30, 35, 40, 44^\circ$ jsou zakresleny v obr.4.3–4.12.

1.5 Ortotropní deska

Nyní budeme vyšetřovat desku ortotropní anizotropií. Opět se nejdříve zaměříme na směry šíření v rovinách symetrie krystalu, tj. pro ortotropní desku směry šíření $[100]$ a $[010]$, (tj. $\phi = 0^\circ$ a $\phi = 90^\circ$).

1.5.1 směr šíření $\phi = 0^\circ$

V tomto případě se Christoffelova rovnice (1.2) redukuje na

$$\begin{pmatrix} c_{11} + c_{55}l_z^{(n)2} - \rho v^2 & 0 & (c_{13} + c_{55})l_z^{(n)} \\ 0 & c_{44}l_z^{(n)2} + c_{66} - \rho v^2 & 0 \\ (c_{13} + c_{55})l_z^{(n)} & 0 & c_{55} + c_{33}l_z^{(n)2} - \rho v^2 \end{pmatrix} \begin{pmatrix} \alpha_x^{(n)} \\ \alpha_y^{(n)} \\ \alpha_z^{(n)} \end{pmatrix} = 0. \quad (1.43)$$

Determinant soustavy se rozdělí na

$$c_{44}l_z^{(n)2} + c_{66} - \rho v^2 = 0 \quad (1.44)$$

a

$$(c_{11} + c_{55}l_z^{(n)2} - \rho v^2)(c_{55} + c_{33}l_z^{(n)2} - \rho v^2) - (c_{13} + c_{55})^2 l_z^{(n)2} = 0. \quad (1.45)$$

SH-módy

Uvažujme první dva kořeny $l_z^{(n)}$ rovnice (1.44), které spojíme s $n = 5, 6$. Odpovídající parciální vlny

$$SH \begin{cases} l_z^{(5)} = \sqrt{\frac{\rho v^2 - c_{66}}{c_{44}}}, & \alpha^{(5)} = \begin{pmatrix} 0 \\ 1 \\ 0 \end{pmatrix}, \\ l_z^{(6)} = -l_z^{(5)}, & \alpha^{(6)} = \alpha^{(5)} \end{cases} \quad (1.46)$$

jsou horizontálně polarizované. Pro splnění okrajových podmínek je třeba, aby

$$\sin(2l_z^{(5)}kd) = 0 \quad \Rightarrow \quad l_z^{(5)} = N\pi/2kd \quad \text{pro} \quad N = 0, 1, 2, \dots \quad (1.47)$$

Jedná se o čistě SH-módy.

Symetrické a antisymetrické módy

Čtyři kořeny $l_z^{(n)}$ ($n = 1, 2, 3, 4$) rovnice (1.45)

$$l_z^{(n)2} = \frac{-B \pm \sqrt{B^2 - A}}{2c_{33}c_{55}}, \quad (1.48)$$

kde

$$A = 4c_{33}c_{55}(c_{11} - \rho v^2)(c_{55} - \rho v^2) \quad \text{a} \quad B = (c_{11} - \rho v^2)c_{33} + (c_{55} - \rho v^2)c_{55} - (c_{13} + c_{55})^2,$$

vedou na zbývající parciální vlny typu P a SV. Znaménko plus vede na kvazipříčné vlny ($n = 1, 2$) a znaménko mínus na kvazipodélné vlny ($n = 3, 4$):

$$SV \left\{ \begin{array}{l} l_z^{(1)} = \sqrt{\frac{-B + \sqrt{B^2 - A}}{2c_{33}c_{55}}}, \quad \alpha^{(1)} = \begin{pmatrix} \alpha_x^{(1)} \\ \alpha_y^{(1)} \\ \alpha_z^{(1)} \end{pmatrix} = \begin{pmatrix} -(c_{13} + c_{55})l_z^{(1)} \\ 0 \\ c_{11} + c_{55}l_z^{(1)2} - \rho v^2 \end{pmatrix}, \\ l_z^{(2)} = -l_z^{(1)}, \quad \alpha^{(2)} = \begin{pmatrix} -\alpha_x^{(1)} \\ 0 \\ \alpha_z^{(1)} \end{pmatrix}, \end{array} \right. \quad (1.49)$$

$$P \left\{ \begin{array}{l} l_z^{(3)} = \sqrt{\frac{-B - \sqrt{B^2 - A}}{2c_{33}c_{55}}}, \quad \alpha^{(3)} = \begin{pmatrix} \alpha_x^{(3)} \\ \alpha_y^{(3)} \\ \alpha_z^{(3)} \end{pmatrix} = \begin{pmatrix} -(c_{13} + c_{55})l_z^{(3)} \\ 0 \\ c_{11} + c_{55}l_z^{(3)2} - \rho v^2 \end{pmatrix}, \\ l_z^{(4)} = -l_z^{(3)}, \quad \alpha^{(4)} = \begin{pmatrix} -\alpha_x^{(3)} \\ 0 \\ \alpha_z^{(3)} \end{pmatrix}. \end{array} \right. \quad (1.50)$$

Rovnice (1.43) až (1.50) jsou odvozeny v souboru `Christoffel_cubic_ortho.mw`, viz kapitola 3.1.

Okrajové podmínky $T_{xz} = T_{zz} = 0$ jsou splněny, pokud platí

$$\frac{\tan(l_z^{(1)}kd)}{\tan(l_z^{(3)}kd)} = \frac{(c_{13}\alpha_x^{(1)} + c_{33}\alpha_z^{(1)}l_z^{(1)}) (\alpha_x^{(3)}l_z^{(3)} + \alpha_z^{(3)})}{(c_{13}\alpha_x^{(3)} + c_{33}\alpha_z^{(3)}l_z^{(3)}) (\alpha_x^{(1)}l_z^{(1)} + \alpha_z^{(1)})} \quad (1.51)$$

nebo

$$\frac{\tan(l_z^{(1)}kd)}{\tan(l_z^{(3)}kd)} = \frac{(c_{13}\alpha_x^{(3)} + c_{33}\alpha_z^{(3)}l_z^{(3)}) (\alpha_x^{(1)}l_z^{(1)} + \alpha_z^{(1)})}{(c_{13}\alpha_x^{(1)} + c_{33}\alpha_z^{(1)}l_z^{(1)}) (\alpha_x^{(3)}l_z^{(3)} + \alpha_z^{(3)})}. \quad (1.52)$$

Rovnice (1.51) představuje disperzní závislost pro symetrické módy a rovnice (1.52) závislost pro antisymetrické módy.

Mindlinovy okrajové podmínky (1.11) resp. (1.12) jsou splněny, pokud platí

$$\sin(2l_z^{(n)}kd) = 0 \quad \Rightarrow \quad l_z^{(n)} = N\pi/2kd \quad \text{pro } n = 1, 3 \quad \text{a } N = 0, 1, 2, \dots \quad (1.53)$$

Rovnice (1.53) pro $n = 1$ představuje disperzní závislost pro oddělené SV-módy a pro $n = 3$ závislost pro oddělené P-módy. V souboru `dc_cubic_ortho.mw`, viz kapitola 3.2, jsou odvozeny disperzní závislosti (1.47) a (1.51) až (1.53).

Mindlinovy disperzní křivky jsou spolu s disperzními křivkami pro SH módy, symetrické a antisymetrické módy desky s ortotropní anizotropií zakresleny v obr. 4.14.

1.5.2 směr šíření $\phi = 90^\circ$

V tomto případě se Christoffelova rovnice (1.2) redukuje na

$$\begin{pmatrix} c_{22} + c_{44}l_z^{(n)2} - \rho v^2 & 0 & (c_{23} + c_{44})l_z^{(n)} \\ 0 & c_{55}l_z^{(n)2} + c_{66} - \rho v^2 & 0 \\ (c_{23} + c_{44})l_z^{(n)} & 0 & c_{44} + c_{33}l_z^{(n)2} - \rho v^2 \end{pmatrix} \begin{pmatrix} \alpha_x^{(n)} \\ \alpha_y^{(n)} \\ \alpha_z^{(n)} \end{pmatrix} = 0. \quad (1.54)$$

Determinant soustavy se rozdělí na

$$c_{55}l_z^{(n)2} + c_{66} - \rho v^2 = 0 \quad (1.55)$$

a

$$(c_{22} + c_{44}l_z^{(n)2} - \rho v^2)(c_{44} + c_{33}l_z^{(n)2} - \rho v^2) - (c_{23} + c_{44})^2 l_z^{(n)2} = 0. \quad (1.56)$$

SH-módy

Uvažujme první dva kořeny $l_z^{(n)}$ rovnice (1.55), které spojíme s $n = 5, 6$. Odpovídající parciální vlny

$$SH \begin{cases} l_z^{(5)} = \sqrt{\frac{\rho v^2 - c_{66}}{c_{55}}}, & \alpha^{(5)} = \begin{pmatrix} 0 \\ 1 \\ 0 \end{pmatrix}, \\ l_z^{(6)} = -l_z^{(5)}, & \alpha^{(6)} = \alpha^{(5)}, \end{cases} \quad (1.57)$$

jsou horizontálně polarizované. Pro splnění okrajových podmínek je třeba, aby

$$\sin(2l_z^{(5)}kd) = 0 \quad \Rightarrow \quad l_z^{(5)} = N\pi/2kd \quad \text{pro } N = 0, 1, 2, \dots \quad (1.58)$$

Jedná se opět o čistě SH-módy.

Symetrické a antisymetrické módy

Čtyři kořeny $l_z^{(n)}$ ($n = 1, 2, 3, 4$) rovnice (1.56)

$$l_z^{(n)2} = \frac{-B \pm \sqrt{B^2 - A}}{2c_{33}c_{44}}, \quad (1.59)$$

kde

$$A = 4c_{33}c_{44}(c_{22} - \rho v^2)(c_{44} - \rho v^2) \quad \text{a} \quad B = (c_{22} - \rho v^2)c_{33} + (c_{44} - \rho v^2)c_{44} - (c_{23} + c_{44})^2,$$

vedou na zbývající parciální vlny typu P a SV. Znaménko plus vede na kvazipříčné vlny ($n = 1, 2$) a znaménko mínus na kvazipodélné vlny ($n = 3, 4$):

$$SV \left\{ \begin{array}{l} l_z^{(1)} = \sqrt{\frac{-B + \sqrt{B^2 - A}}{2c_{33}c_{44}}}, \quad \alpha^{(1)} = \begin{pmatrix} \alpha_x^{(1)} \\ \alpha_y^{(1)} \\ \alpha_z^{(1)} \end{pmatrix} = \begin{pmatrix} -(c_{23} + c_{44})l_z^{(1)} \\ 0 \\ c_{22} + c_{44}l_z^{(1)2} - \rho v^2 \end{pmatrix}, \\ l_z^{(2)} = -l_z^{(1)}, \quad \alpha^{(2)} = \begin{pmatrix} -\alpha_x^{(1)} \\ 0 \\ \alpha_z^{(1)} \end{pmatrix}, \end{array} \right. \quad (1.60)$$

$$P \left\{ \begin{array}{l} l_z^{(3)} = \sqrt{\frac{-B - \sqrt{B^2 - A}}{2c_{33}c_{44}}}, \quad \alpha^{(3)} = \begin{pmatrix} \alpha_x^{(3)} \\ \alpha_y^{(3)} \\ \alpha_z^{(3)} \end{pmatrix} = \begin{pmatrix} -(c_{23} + c_{44})l_z^{(3)} \\ 0 \\ c_{22} + c_{44}l_z^{(3)2} - \rho v^2 \end{pmatrix}, \\ l_z^{(4)} = -l_z^{(3)}, \quad \alpha^{(4)} = \begin{pmatrix} -\alpha_x^{(3)} \\ 0 \\ \alpha_z^{(3)} \end{pmatrix}. \end{array} \right. \quad (1.61)$$

Rovnice (1.54) až (1.61) jsou odvozeny v souboru `Christoffel_cubic_ortho.mw`, viz kapitola 3.1.

Okrajové podmínky $T_{xz} = T_{zz} = 0$ jsou splněny, pokud platí

$$\frac{\tan(l_z^{(1)}kd)}{\tan(l_z^{(3)}kd)} = \frac{(c_{23}\alpha_x^{(1)} + c_{33}\alpha_z^{(1)}l_z^{(1)}) (\alpha_x^{(3)}l_z^{(3)} + \alpha_z^{(3)})}{(c_{23}\alpha_x^{(3)} + c_{33}\alpha_z^{(3)}l_z^{(3)}) (\alpha_x^{(1)}l_z^{(1)} + \alpha_z^{(1)})} \quad (1.62)$$

nebo

$$\frac{\tan(l_z^{(1)}kd)}{\tan(l_z^{(3)}kd)} = \frac{(c_{23}\alpha_x^{(3)} + c_{33}\alpha_z^{(3)}l_z^{(3)}) (\alpha_x^{(1)}l_z^{(1)} + \alpha_z^{(1)})}{(c_{23}\alpha_x^{(1)} + c_{33}\alpha_z^{(1)}l_z^{(1)}) (\alpha_x^{(3)}l_z^{(3)} + \alpha_z^{(3)})}. \quad (1.63)$$

Rovnice (1.62) představuje disperzní závislost pro symetrické módy a rovnice (1.63) závislost pro antisymetrické módy.

Disperzní závislosti pro oddělené módy jsou následující:

$$\sin(2l_z^{(n)}kd) = 0 \quad \Rightarrow \quad l_z^{(n)} = N\pi/2kd \quad \text{pro } n = 1, 3 \quad \text{a} \quad N = 0, 1, 2, \dots \quad (1.64)$$

Rovnice (1.64) pro $n = 1$ představuje disperzní závislost pro oddělené SV-módy a pro $n = 3$ závislost pro oddělené P-módy. Disperzní závislosti (1.58) a (1.62) až (1.64) byly odvozeny v souboru `dc_cubic_ortho.mw`, viz kapitola 3.2.

Mindlinovy disperzní křivky spolu s disperzními křivkami pro SH módy, symetrické a antisymetrické módy desky s ortotropní anizotropií pro směr šíření $\phi = 90^\circ$ jsou zakresleny v obr. 4.34.

1.5.3 směr šíření $0 < \phi < 90^\circ$

Uvažujeme opět desku s ortotropní anizotropií a orientací (001) a vyšetřujeme obecný směr šíření v rovině desky, jak je znázorněno na obr.1.4.

Christoffelova rovnice má v tomto případě tvar

$$\begin{pmatrix} g_9 l_z^2 + g_{10} & g_5 l_z^2 + g_7 & g_6 l_z \\ g_5 l_z^2 + g_7 & g_1 l_z^2 + g_3 & g_4 l_z \\ g_6 l_z & g_4 l_z & g_8 l_z^2 + g_2 \end{pmatrix} \begin{pmatrix} \alpha_x^{(n)} \\ \alpha_y^{(n)} \\ \alpha_z^{(n)} \end{pmatrix} = 0, \quad (1.65)$$

kde

$$g_1 = \sin^2 \phi c_{55} + \cos^2 \phi c_{44},$$

$$g_2 = \sin^2 \phi c_{44} + \cos^2 \phi c_{55} - \rho v^2,$$

$$g_3 = \sin^2 \phi \cos^2 \phi (c_{11} - 2c_{12} + c_{22} - 4c_{66}) + c_{66} - \rho v^2,$$

$$g_4 = \sin \phi \cos \phi (c_{23} - c_{13} + c_{44} - c_{55}),$$

$$g_5 = \sin \phi \cos \phi (c_{44} - c_{55}),$$

$$g_6 = \sin^2 \phi (c_{23} + c_{44}) + \cos^2 \phi (c_{13} + c_{55}),$$

$$g_7 = \sin \phi \cos \phi (\sin^2 \phi (c_{22} - c_{12} - 2c_{66}) - \cos^2 \phi (c_{11} - c_{12} - 2c_{66})),$$

$$g_8 = c_{33},$$

$$g_9 = \sin^2 \phi c_{44} + \cos^2 \phi c_{55},$$

$$g_{10} = \sin^4 \phi c_{22} + \cos^4 \phi c_{11} + 2(c_{12} + 2c_{66}) \sin^2 \phi \cos^2 \phi - \rho v^2.$$

V tomto případě se už nevyskytují SH-módy, ale pouze symetrické a antisymetrické módy. Determinant soustavy vede následující bikubickou rovnicí:

$$A l_z^6 + B l_z^4 + C l_z^2 + D = 0, \quad (1.66)$$

kde

$$A = p_4 p_5,$$

$$B = (p_2 p_5 + p_4 p_6 - p_5 q_1) \sin^2 \phi + (p_1 p_4 + p_5 p_6 - p_4 q_2) \cos^2 \phi - (p_4 + p_4 p_5 + p_5) \chi^2$$

$$C = p_4 p_5 r_1 + p_6 r_2 + \sin^2 \phi \cos^2 \phi (q_3 - p_1 q_1 - p_2 q_2 + 2p_3 q_4) + \chi^2 r_3,$$

$$D = r_4 + (r_5 + (S_{2-21} + S_{2-45} - \chi^2 + p_6) \chi^2) \chi^2,$$

$$r_1 = 2(p_3 + 2p_6) \sin^2 \phi \cos^2 \phi + S_{4-21} - \chi^2,$$

$$r_2 = S_{4-21} - q_1 \sin^4 \phi + 2(q_4 - p_3) \sin^2 \phi \cos^2 \phi - q_2 \cos^4 \phi - (S_{2-45} + 1) \chi^2,$$

$$r_3 = (q_1 - p_2 p_5) \sin^2 \phi + (q_2 - p_1 p_4) \cos^2 \phi - S_{2-21} + (p_4 + p_5 + 1) \chi^2,$$

$$r_4 = (p_6 S_{4-21} - (2p_3 p_6 - q_3) \sin^2 \phi \cos^2 \phi) S_{2-45},$$

$$r_5 = (2p_3 p_6 - q_3) \sin^2 \phi \cos^2 \phi - S_{2-21} S_{2-45} - p_6 (S_{4-21} + S_{2-45}),$$

$$\begin{aligned}
p_1 &= c_{11}/c_{33}, & p_5 &= c_{55}/c_{33}, & q_1 &= (2p_4 + p_8)p_8, & S_{4-21} &= p_2 \sin^4 \phi + p_1 \cos^4 \phi, \\
p_2 &= c_{22}/c_{33}, & p_6 &= c_{66}/c_{33}, & q_2 &= (2p_5 + p_7)p_7, & S_{2-21} &= p_2 \sin^2 \phi + p_1 \cos^2 \phi, \\
p_3 &= c_{12}/c_{33}, & p_7 &= c_{13}/c_{33}, & q_3 &= p_1 p_2 - p_3^2, & S_{2-45} &= p_4 \sin^2 \phi + p_5 \cos^2 \phi, \\
p_4 &= c_{44}/c_{33}, & p_8 &= c_{23}/c_{33}, & q_4 &= p_4 p_7 + p_5 p_8 + p_7 p_8, & \chi^2 &= \rho \omega^2 / c_{33}.
\end{aligned}$$

Tvary rovnic (1.65) a (1.66) jsou odvozeny v `Christoffel_cubic_ortho.mw`, viz kapitola 3.1. Rovnice (1.66) je pak dále řešena numericky v Matlabu, [15].

Okrajové podmínky volného povrchu desky ($T_{xz} = T_{yz} = T_{zz} = 0$) jsou splněny, pokud platí

$$C_A \cotg(l_z^{(1)}kd) + C_B \cotg(l_z^{(3)}kd) + C_C \cotg(l_z^{(5)}kd) = 0 \quad (1.67)$$

nebo

$$C_A \tg(l_z^{(1)}kd) + C_B \tg(l_z^{(3)}kd) + C_C \tg(l_z^{(5)}kd) = 0 \quad (1.68)$$

kde

$$\begin{aligned}
C_A &= \left(D_x^{(1)} D_y^{(3)} - D_x^{(3)} D_y^{(1)} \right) \left[D_z^{(5)} + \left(E_x^{(5)} - E_y^{(5)} \right) \cos \phi (c_{13} - c_{23}) \right] c_{44} c_{55}, \\
C_B &= \left(D_x^{(5)} D_y^{(1)} - D_x^{(1)} D_y^{(5)} \right) \left[D_z^{(3)} + \left(E_x^{(3)} - E_y^{(3)} \right) \cos \phi (c_{13} - c_{23}) \right] c_{44} c_{55}, \\
C_C &= \left(D_x^{(3)} D_y^{(5)} - D_x^{(5)} D_y^{(3)} \right) \left[D_z^{(1)} + \left(E_x^{(1)} - E_y^{(1)} \right) \cos \phi (c_{13} - c_{23}) \right] c_{44} c_{55}, \\
\left. \begin{aligned}
D_x^{(n)} &= \alpha_x^{(n)} l_z^{(n)} + \alpha_z^{(n)}, \\
D_y^{(n)} &= \alpha_y^{(n)} l_z^{(n)}, \\
D_z^{(n)} &= \alpha_z^{(n)} l_z^{(n)} c_{33} + \alpha_x^{(n)} c_{23}, \\
E_x^{(n)} &= \alpha_x^{(n)} \cos \phi, \\
E_y^{(n)} &= \alpha_y^{(n)} \sin \phi, \\
\alpha_x^{(n)} &= g_1 g_8 l_z^{(n)4} + (g_1 g_2 + g_3 g_8 - g_4^2) l_z^{(n)2} + g_2 g_3, \\
\alpha_y^{(n)} &= -g_5 g_8 l_z^{(n)4} + (g_4 g_6 - g_7 g_8 - g_2 g_5) l_z^{(n)2} - g_2 g_7, \\
\alpha_z^{(n)} &= \left((g_4 g_5 - g_1 g_6) l_z^{(n)2} - (g_3 g_6 - g_4 g_7) \right) l_z^{(n)},
\end{aligned} \right\} \text{ pro } n = 1, 3, 5,
\end{aligned}$$

a hodnoty g_1 až g_8 jsou stejné jako v rovnici (1.65).

Rovnice (1.67) představuje disperzní závislost pro symetrické módy a rovnice (1.68) závislost pro antisymetrické módy. Disperzní závislosti byly odvozeny v souboru `dc_cubic_ortho.mw`, viz kapitola 3.2 a tvary polarizací parciálních vln α_y a α_z v `Christoffel_cubic_ortho.mw`, viz kapitola 3.1.

Mindlinovy okrajové podmínky $T_{xz} = 0$, $u_z = 0$ nebo $T_{zz} = 0$, $u_x = 0$ lze pro ortotropní desku použít při $\phi = 0^\circ$ a $\phi = 90^\circ$. Pro obecný úhel šíření, kdy nelze oddělit SH-módy, jsme k získání oddělených módů museli doplnit první dvojici výše uvedených okrajových podmínek o podmínku $T_{yz} = 0$ a druhou dvojici o podmínku $u_y = 0$. Takto doplněné podmínky jsou splněny, pokud platí

$$\sin(2l_z^{(n)}kd) = 0 \quad \Rightarrow \quad l_z^{(n)} = N\pi/2kd \quad \text{pro } n = 1, 3, 5 \quad \text{a } N = 0, 1, 2, \dots \quad (1.69)$$

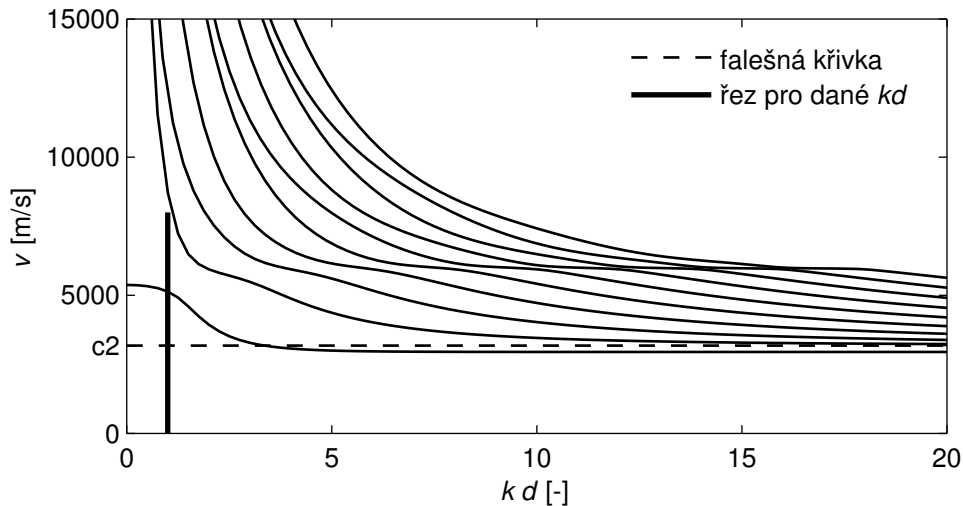
Tyto disperzní závislosti jsou odvozeny v souboru `dc_cubic_ortho.mw`, viz kapitola 3.2.

2 Interpretace falešných kořenů

Při numerických výpočtech disperzních závislostí tlustých desek pro ortotropní materiály jsme narazili na problém s výskytem falešných disperzních křivek. V následujících kapitolách provedeme interpretaci tohoto jevu a ukážeme si, proč se nejedná o skutečné disperzní křivky. Jelikož se podobné chování vyskytuje i u disperzních křivek pro izotropní tlustou desku, začneme analýzou disperse v izotropních deskách.

2.1 Izotropní deska

Disperzní závislosti v izotropní desce jsou dány vztahy (1.9) a (1.10). Průběh disperzních větví pro symetrické resp. antisymetrické módy je znázorněn na obr. 2.1 resp. obr. 2.3, Poissonovo číslo je 0.3.



Obrázek 2.1: Disperzní křivky pro symetrické módy izotropní desky

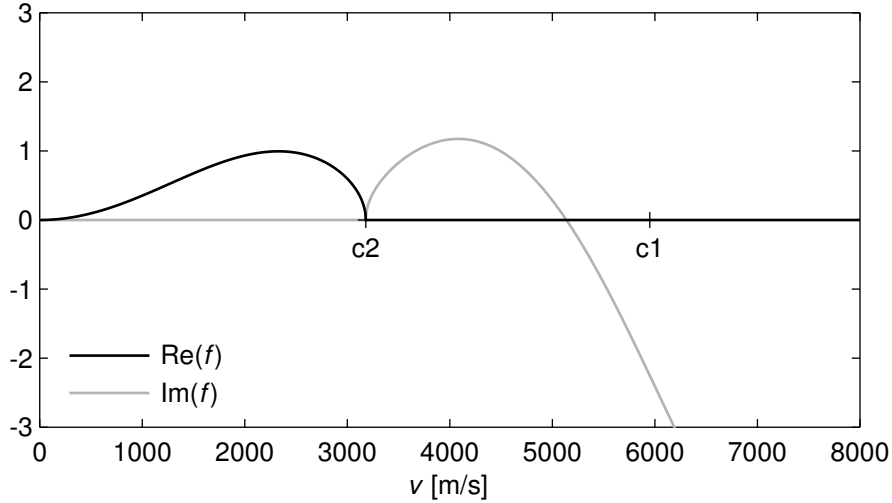
Po dosazení za δ a β do vztahu (1.9) je zřejmé, že kořenem by pro symetrické módy měla být i rychlost c_2 . Na obr. 2.2 je vynesena levá strana rovnice (1.9) v závislosti na fázové rychlosti v v řezu zobrazeném na obr. 2.1. Že se nejedná o skutečný kořen disperzní závislosti, se lze přesvědčit výpočtem odpovídajících výchylek.

Výchylky ve směru osy x pro symetrické módy jsou dány vztahy:

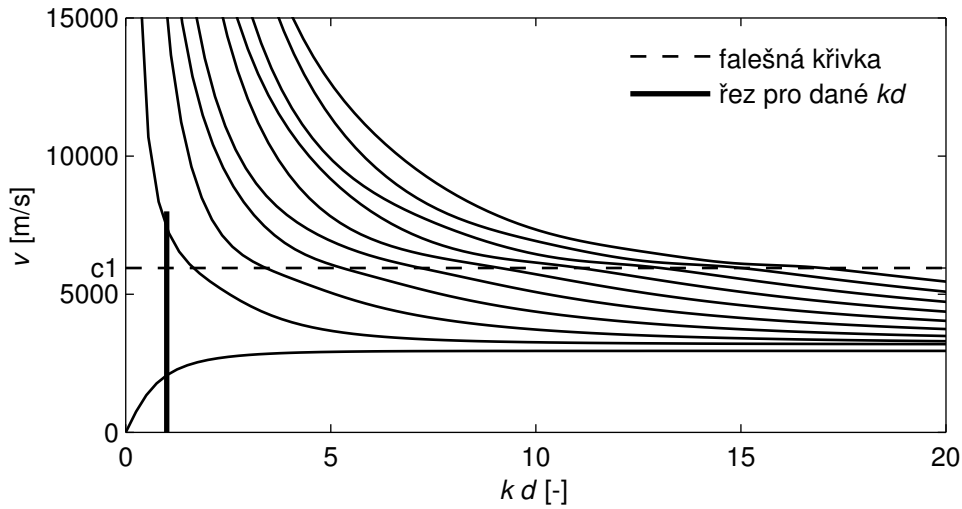
$$u_x = \frac{i c_2^2}{k v^2} \left[\left(\frac{v^2}{c_2^2} - 2 \right) \sinh(kd \beta) \cosh(kz \delta) + 2 \beta \delta \sinh(kd \delta) \cosh(kz \beta) \right], \quad (2.1)$$

výchylky ve směru osy z

$$u_z = \frac{\delta c_2^2}{k v^2} \left[\left(\frac{v^2}{c_2^2} - 2 \right) \sinh(kd \beta) \sinh(kz \delta) + 2 \sinh(kd \delta) \sinh(kz \beta) \right]. \quad (2.2)$$



Obrázek 2.2: Průběh funkce (1.9) pro symetrické módy.



Obrázek 2.3: Disperzní křivky pro antisymetrické módy izotropní desky

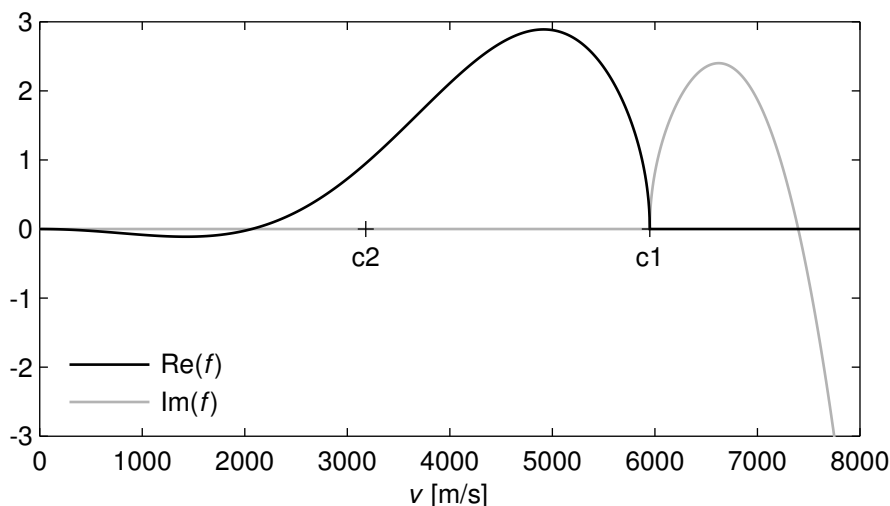
Dosadíme-li do těchto vztahů $v = c_2$, vyjdou nám výchylky nulové a nejedná se tudíž o skutečnou disperzní křivku.

Obdobně pro antisymetrické módy po dosazení za δ a β do vztahu (1.10) je zřejmé, že kořenem by měla být tentokrát rychlost c_1 . Na obr. 2.4 je vynesena levá strana rovnice (1.10) v závislosti na fázové rychlosti v v řezu zobrazeném na obr. 2.3. Že se nejedná o skutečný kořen disperzní závislosti, se lze opět přesvědčit výpočtem odpovídajících výchylek:

$$u_x = \frac{i c_2^2}{k v^2} \left[\left(\frac{v^2}{c_2^2} - 2 \right) \cosh(kd \beta) \sinh(kz \delta) + 2\beta \delta \cosh(kd \delta) \sinh(kz \beta) \right], \quad (2.3)$$

$$u_z = \frac{\delta c_2^2}{k v^2} \left[\left(\frac{v^2}{c_2^2} - 2 \right) \cosh(kd \beta) \cosh(kz \delta) + 2 \cosh(kd \delta) \cosh(kz \beta) \right]. \quad (2.4)$$

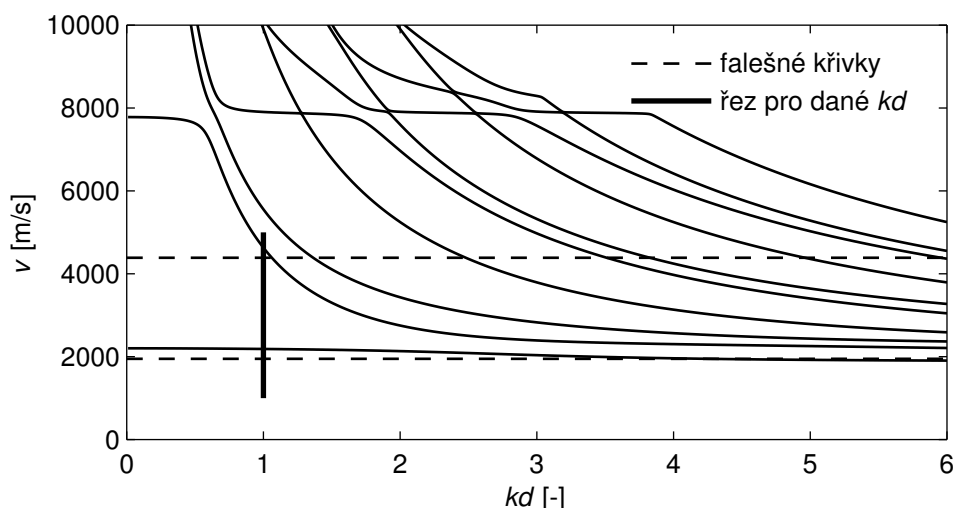
Dosadíme-li do těchto vztahů $v = c_1$, vyjdou nám výchylky nulové a nejedná se tudíž o skutečnou disperzní křivku. Při numerickém hledání kořenů nám tyto falešné křivky nedělají problémy, neboť neprotínají nulu.



Obrázek 2.4: Průběh funkce (1.10) pro antisymetrické módy

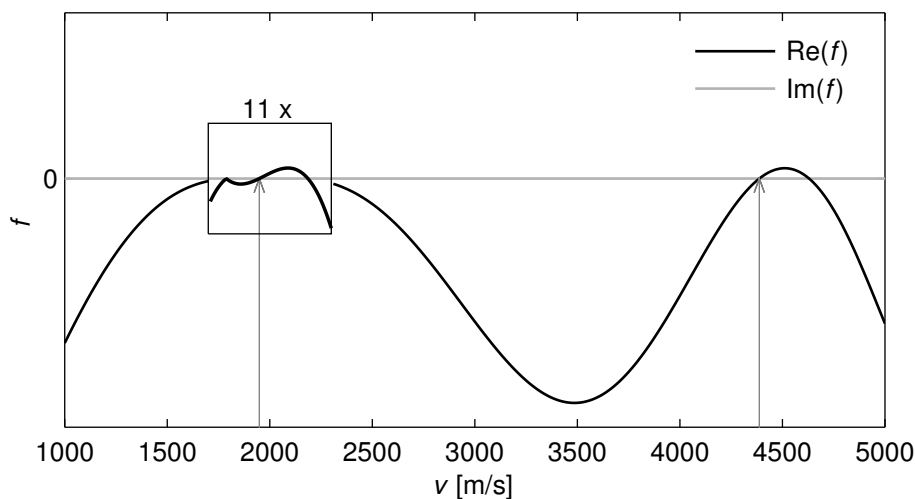
2.2 Ortotropní deska

Disperzní vztahy pro obecný úhel šíření ϕ v ortotropní desce jsou dány vztahy (1.67) a (1.68).



Obrázek 2.5: Disperzní křivky pro symetrické módy v ortotropní desce a směr šíření 30°

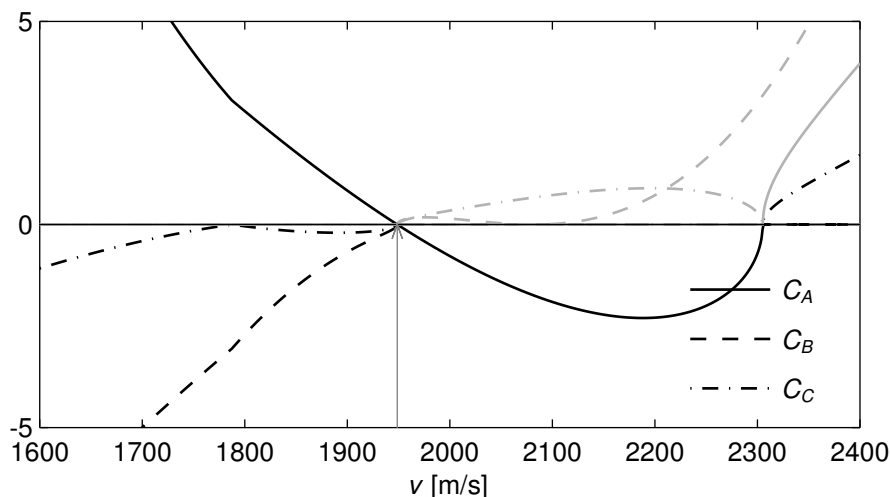
Průběh vypočtených disperzních větví pro směr šíření $\phi = 30^\circ$ pro symetrické módy ortotropní desky je znázorněn na obr. 2.5. Materiál použitý pro výpočty (uhlíkový kompozit) měl následující parametry: $c_{11} = 128.2$ GPa, $c_{22} = c_{33} = 14.95$ GPa, $c_{44} = 3.81$ GPa, $c_{55} = c_{66} = 6.73$ GPa, $c_{12} = c_{13} = 6.9$ GPa, $c_{23} = 7.33$ GPa a $\rho = 1580$ kg/m³, [20]. Na tomto obrázku je zajímavý především výskyt dvou bezdisperzních křivek (vykresleny čárkovaně). Tyto křivky se kříží s ostatními, což je v rozporu s teorií. Jelikož nás zajímala příčina jejich vzniku, vykreslili jsme si do obr. 2.6 levou stranu rovnice (1.67); šipkami je zvýrazněna poloha falešných kořenů. Z obrázku je vidět, že na rozdíl od případu izotropní desky, kde se funkce nuly dotkla, zde ji protíná. Proto numerický program bez problémů průsečík s nulou detekoval jako platný kořen disperzní křivky. Museli jsme proto hledat nějakou jinou metodu jak odstranit tyto falešné kořeny. Vykreslili jsme si tedy v jejich okolí průběhy proměnných C_A , C_B a C_C z rovnice (1.67),



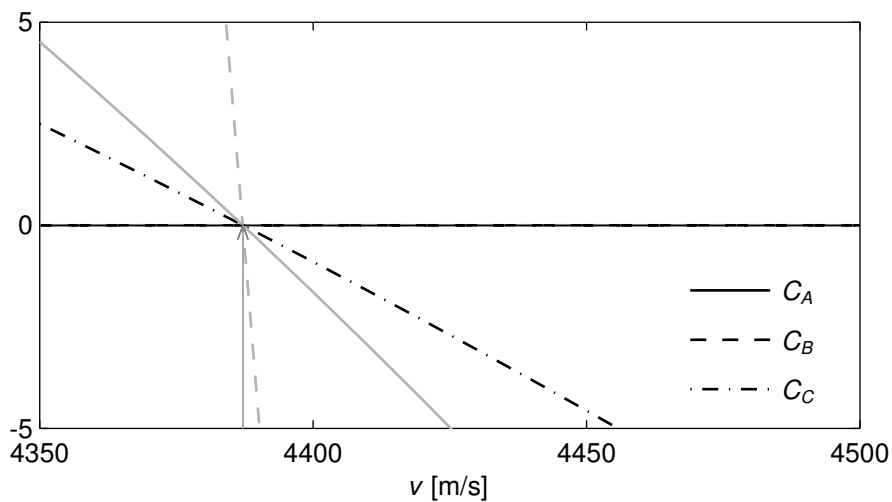
Obrázek 2.6: Průběh funkce (1.67) pro symetrické módy pro ortotropní desku pro $\phi = 30^\circ$

viz obr. 2.7 a 2.8 (reálná část je vykreslena černě, imaginární šedě). Z obrázků je patrné, že v místech falešných kořenů jsou všechny tři proměnné C_A , C_B i C_C rovny nule a proto je splněna rovnice (1.67). Z těchto důvodů byl program doplněn o zachytávání falešných kořenů, které je založeno na detekci nulovosti proměnných C_A , C_B a C_C . Následnou analýzou jsme zjistili, že výchytky pro symetrické módy v těchto falešných kořenech jsou nulové.

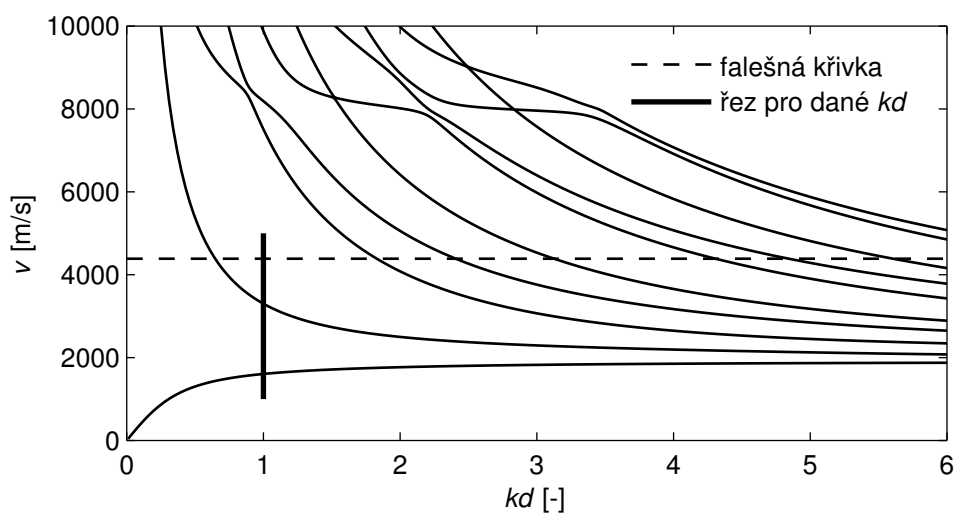
Průběh vypočtených disperzních větví pro antisymetrické módy ortotropní desky pro směr šíření $\phi = 30^\circ$ je znázorněn na obr. 2.9. Na tomto obrázku se vyskytuje pouze jedna bez-disperzní křivka. Tato křivka se opět kříží s ostatními. Na obr. 2.10 je vykreslena levá strana rovnice (1.68). Z obrázku je opět vidět, že zde funkce nulovou hodnotu protíná. Stejně jako v případě symetrických módů je tento falešný kořen způsoben nulovostí všech tří proměnných C_A , C_B a C_C , viz obr. 2.8. Následnou analýzou jsme zjistili, že i výchytky pro antisymetrické módy v tomto falešném kořenu jsou nulové.



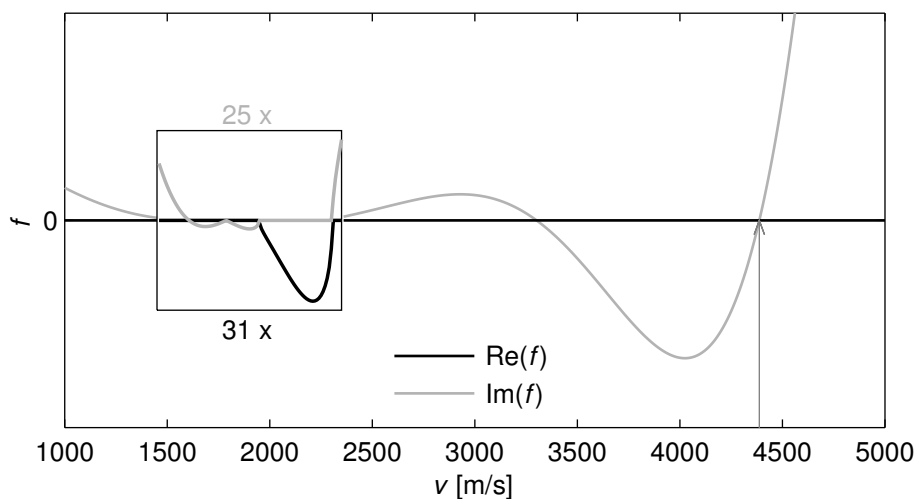
Obrázek 2.7: Průběhy parametrů C_A , C_B , C_C pro ortotropní desku pro $\phi = 30^\circ$



Obrázek 2.8: Průběhy parametrů C_A , C_B , C_C pro ortotropní desku pro $\phi = 30^\circ$



Obrázek 2.9: Disperzní křivky pro antisymetrické módy v ortotropní desce a směr šíření 30°



Obrázek 2.10: Průběh funkce (1.68) pro antisymetrické módy pro ortotropní desku pro $\phi = 30^\circ$

3 Výpisy programů - Maple

3.1 Christoffel_cubic_ortho.mw

V tomto souboru je odvozen tvar Christoffely rovnice, tvary jejích kořenů a polarizací parciálních vln pro kubickou a ortotropní desku. Tento soubor je vytvořen systémem pro symbolické výpočty Maple, [14]

Pro kubickou desku a směr šíření $\phi = 0^\circ$ jsou to rovnice (1.14) až (1.21), směr šíření $\phi = 45^\circ$ rovnice (1.26) až (1.33) a pro obecný směr šíření rovnice (1.38) a (1.39).

V případě ortotropní desky jsou zde odvozeny pro směr šíření $\phi = 0^\circ$ rovnice (1.43) až (1.50), směr šíření $\phi = 90^\circ$ rovnice (1.54) až (1.61) a pro obecný směr šíření rovnice (1.65) a (1.66).

Determinant charakteristické rovnice vede na bikubickou rovnici pro **lz**.
 Nalezení koeficientů této bikubické rovnice. Ty budou dále použity ve funkcích **Fortho_f.m**

```
> restart;

> #material:= cubic;
material:= ortotropic;
smer:=phi;
#smer:=0; # (100)
#smer:=Pi/4; # (110) - cubic
#smer:=Pi/2; # (010) - ortotropic
```

* podle zvoleného materiálu a směru se tu zobrazí jedna z možností:

<i>material := cubic</i>	<i>material := cubic</i>	<i>material := cubic</i>
<i>smer := ϕ</i>	<i>smer := 0</i>	<i>smer := $\frac{1}{4} \pi$</i>

<i>material := ortotropic</i>	<i>material := ortotropic</i>	<i>material := ortotropic</i>
<i>smer := ϕ</i>	<i>smer := 0</i>	<i>smer := $\frac{1}{2} \pi$</i>

Vytvoření Christoffelovy matice ve shodě s článkem [21]:

```
> with(LinearAlgebra):
> Kmat := <<kx, 0, 0>|
          < 0, ky, 0>|
          < 0, 0, kz>|
          < 0, kz, ky>|
          <kz, 0, kx>|
          <ky, kx, 0>>:
> ky :=0: kz := kx*lz: kx := 1:
```

Tenzor elastických modulů

```
> if material = cubic then
    dd := <<c[1,1], c[1,2], c[1,2], 0, 0, 0>|
          <c[1,2], c[1,1], c[1,2], 0, 0, 0>|
          <c[1,2], c[1,2], c[1,1], 0, 0, 0>|
          < 0, 0, 0, c[4,4], 0, 0>|
          < 0, 0, 0, 0, c[4,4], 0>|
          < 0, 0, 0, 0, 0, c[4,4]>>:
else
    dd := <<c[1,1], c[1,2], c[1,3], 0, 0, 0>|
          <c[1,2], c[2,2], c[2,3], 0, 0, 0>|
          <c[1,3], c[2,3], c[3,3], 0, 0, 0>|
          < 0, 0, 0, c[4,4], 0, 0>|
          < 0, 0, 0, 0, c[5,5], 0>|
          < 0, 0, 0, 0, 0, c[6,6]>>:
end if:
```

Matice transformace soustavy souřadnic dle [2] (str. 294 - šestirozměrný prostor).

```

> aLU := Transpose(<<a[1,1]^2, a[1,2]^2, a[1,3]^2>|
                 <a[2,1]^2, a[2,2]^2, a[2,3]^2>|
                 <a[3,1]^2, a[3,2]^2, a[3,3]^2>>):
aRU := 2*Transpose(<<a[1,2]*a[1,3], a[1,3]*a[1,1], a[1,1]*a[1,2]>|
                 <a[2,2]*a[2,3], a[2,3]*a[2,1], a[2,1]*a[2,2]>|
                 <a[3,2]*a[3,3], a[3,3]*a[3,1], a[3,1]*a[3,2]>>):
aLB := Transpose(<<a[2,1]*a[3,1], a[2,2]*a[3,2], a[2,3]*a[3,3]>|
                 <a[3,1]*a[1,1], a[3,2]*a[1,2], a[3,3]*a[1,3]>|
                 <a[1,1]*a[2,1], a[1,2]*a[2,2], a[1,3]*a[2,3]>>):
aRB := Transpose(
  <<a[2,2]*a[3,3]+a[2,3]*a[3,2], a[2,1]*a[3,3]+a[2,3]*a[3,1],
   a[2,2]*a[3,1]+a[2,1]*a[3,2]>|
  <a[1,2]*a[3,3]+a[1,3]*a[3,2], a[1,3]*a[3,1]+a[1,1]*a[3,3],
   a[1,1]*a[3,2]+a[3,1]*a[1,2]>|
  <a[1,2]*a[2,3]+a[1,3]*a[2,2], a[1,3]*a[2,1]+a[1,1]*a[2,3],
   a[1,1]*a[2,2]+a[1,2]*a[2,1]>>):
aa := <<aLU, aLB>|<aRU, aRB>>:

```

Rotace okolo osy **z**.

```

> a := <<cos(f), -sin(f), 0>|
      <sin(f),  cos(f), 0>|
      < 0,      0, 1>>:

```

Rotovaná matice

```

> d_rot := Multiply(Multiply(aa,dd),Transpose(aa)):
d_rot := Map(simplify,d_rot): f:=smer:

```

Charakteristická rovnice : Christoffelova matice - $\rho * v^2$

```

> ChM := Multiply(Multiply(Kmat,d_rot),Transpose(Kmat))
      -Multiply(rho*v^2,IdentityMatrix(3)):

```

ChM.

Pro směr ϕ předpokládáme ChM v následujícím tvaru: (pořadí g je takové, aby odpovídalo publikacím [7], [8] a [12])

```

> material:=material; smer:=smer;
if smer = phi then
  if material = cubic then
    K_a:=factor(select(has,ChM[1,1],cos));
    ChM := algsubs(K_a=K_A,ChM):
    K_b:=(ChM[1,2]);
    ChM := subs(K_b=K_B,ChM);
    print('ChM'=ChM);
    print(K_A=simplify(K_a));
    print(K_B=simplify(K_b));
  else
    N:=<<lz^2*g[9]+g[10] |lz^2*g[5]+g[7]|lz*g[6]      >,
      <lz^2*g[5]+g[7]   |lz^2*g[1]+g[3]|lz*g[4]      >,

```

```

    <lz*g[6]          |lz*g[4]          |lz^2*g[8]+g[2]>>;
    print('N'=N);
end if;
else ChM:=ChM;
end if;

```

* podle zvoleného materiálu a směru se tu zobrazí jedna z možností:

$$\begin{aligned}
 & \text{material} := \text{cubic} \\
 & \text{směr} := \phi \\
 ChM := & \begin{bmatrix} K_A + c_{1,1} + lz^2 c_{4,4} - \rho v^2 & K_B & lz c_{1,2} + lz c_{4,4} \\ K_B & -K_A - \rho v^2 + (lz^2 + 1) c_{4,4} & 0 \\ lz c_{1,2} + lz c_{4,4} & 0 & lz^2 c_{1,1} + c_{4,4} - \rho v^2 \end{bmatrix}
 \end{aligned}$$

$$\begin{aligned}
 K_A &= -2 (-c_{1,2} - 2 c_{4,4} + c_{1,1}) \sin(\phi)^2 \cos(\phi)^2 \\
 K_B &= -(2 \cos(\phi)^2 - 1) \cos(\phi) (-c_{1,2} - 2 c_{4,4} + c_{1,1}) \sin(\phi)
 \end{aligned}$$

* nebo:

$$\begin{aligned}
 & \text{material} := \text{cubic} \\
 & \text{směr} := 0 \\
 ChM := & \begin{bmatrix} c_{1,1} + lz^2 c_{4,4} - \rho v^2 & 0 & lz c_{1,2} + lz c_{4,4} \\ 0 & lz^2 c_{4,4} + c_{4,4} - \rho v^2 & 0 \\ lz c_{1,2} + lz c_{4,4} & 0 & lz^2 c_{1,1} + c_{4,4} - \rho v^2 \end{bmatrix}
 \end{aligned}$$

* nebo:

$$\begin{aligned}
 & \text{material} := \text{cubic} \\
 & \text{směr} := \frac{1}{4} \pi \\
 ChM := & \begin{bmatrix} \frac{1}{2} c_{1,1} + \frac{1}{2} c_{1,2} + c_{4,4} + lz^2 c_{4,4} - \rho v^2 & 0 & lz c_{1,2} + lz c_{4,4} \\ 0 & lz^2 c_{4,4} + \frac{1}{2} c_{1,1} - \frac{1}{2} c_{1,2} - \rho v^2 & 0 \\ lz c_{1,2} + lz c_{4,4} & 0 & lz^2 c_{1,1} + c_{4,4} - \rho v^2 \end{bmatrix}
 \end{aligned}$$

* nebo:

material := ortotropic

smer := phi

$$N := \begin{bmatrix} lz^2 g_9 + g_{10} & lz^2 g_5 + g_7 & lz g_6 \\ lz^2 g_5 + g_7 & lz^2 g_1 + g_3 & lz g_4 \\ lz g_6 & lz g_4 & lz^2 g_8 + g_2 \end{bmatrix}$$

* nebo:

material := ortotropic

smer := 0

$$ChM := \begin{bmatrix} c_{1,1} + lz^2 c_{5,5} - \rho v^2 & 0 & lz c_{1,3} + lz c_{5,5} \\ 0 & lz^2 c_{4,4} + c_{6,6} - \rho v^2 & 0 \\ lz c_{1,3} + lz c_{5,5} & 0 & lz^2 c_{3,3} + c_{5,5} - \rho v^2 \end{bmatrix}$$

* nebo:

material := ortotropic

smer := $\frac{1}{2} \pi$

$$ChM := \begin{bmatrix} c_{2,2} + lz^2 c_{4,4} - \rho v^2 & 0 & lz c_{2,3} + lz c_{4,4} \\ 0 & lz^2 c_{5,5} + c_{6,6} - \rho v^2 & 0 \\ lz c_{2,3} + lz c_{4,4} & 0 & lz^2 c_{3,3} + c_{4,4} - \rho v^2 \end{bmatrix}$$

Součin Christoffellovy matice s vektorem α

```
> Alpha:=Vector(3,symbol=alpha):
  if material = ortotropic and smer = phi then
    ChM_alpha:=(Multiply(N,Alpha)):
  else
    ChM_alpha:=(Multiply(ChM,Alpha)):
  end if:
```

Řešení Christoffellovy rovnice - nalezení tvaru pro α .

```
> material:=material; smer:=smer;
eq:=Equate(ChM_alpha,Vector(3)):
if material = cubic then
  if smer = phi then
    alpha[1]:=1:
    alpha[2]:=solve( eq[2],alpha[2]):
    alpha[3]:=solve( eq[3],alpha[3]):
    for i in [1,3,5] do
      alpha1[1,i]:=subs(lz=lz[i],Alpha[1]);
```

```

        alpha1[2,i]:=subs(lz=lz[i],Alpha[2]);
        alpha1[3,i]:=subs(lz=lz[i],Alpha[3]);
    end do:
else
    alpha[1]:=-denom(solve( eq[1],alpha[3]));
    alpha[2]:=solve( eq[2],alpha[2]);
    alpha[3]:=solve( eq[1],alpha[3]);
    if smer = Pi/4 then
        alpha[1]:=factor(alpha[1]/2);
        alpha[3]:=expand(alpha[3]/2);
    end if;
    for i in [1,3] do
        alpha1[1,i]:=subs(lz=lz[i],Alpha[1]);
        alpha1[2,i]:=subs(lz=lz[i],Alpha[2]);
        alpha1[3,i]:=subs(lz=lz[i],Alpha[3]);
    end do:
    alpha1[1,5]:=0; alpha1[2,5]:=1; alpha1[3,5]:=0;
end if:
elif smer = phi then # material=ortotropic
    alpha[1]:=1:
    alpha[3]:=solve(eq[2],alpha[3]):
    alpha[2]:=solve(eq[3],alpha[2]):
    alpha[3]:=simplify(alpha[3]):
    Alpha:=Map(sort,Alpha*denom(alpha[2]),lz):
    for i in [1,3,5] do
        alpha1[1,i]:=collect(subs(lz=lz[i],Alpha[1]),lz[i]^2);
        alpha1[2,i]:=collect(subs(lz=lz[i],Alpha[2]),lz[i]^2);
        alpha1[3,i]:=collect(subs(lz=lz[i],Alpha[3]),lz[i]^2);
    end do:
else
    alpha[1]:=-denom(solve(eq[1],alpha[3]));
    alpha[2]:=solve(eq[2],alpha[2]);
    alpha[3]:=solve(eq[1],alpha[3]);
    for i in [1,3] do
        alpha1[1,i]:=collect(subs(lz=lz[i],Alpha[1]),lz[i]^2);
        alpha1[2,i]:=collect(subs(lz=lz[i],Alpha[2]),lz[i]^2);
        alpha1[3,i]:=collect(subs(lz=lz[i],Alpha[3]),lz[i]^2);
    end do:
    alpha1[1,5]:=0; alpha1[2,5]:=1; alpha1[3,5]:=0;
end if:
if smer = phi then
    for i from 1 to 3 do
        for j in [1,3,5] do
            print(alpha[i,j]=alpha1[i,j]);
        end do:
    end do:
else
    for j in [1,3,5] do

```

```

for i from 1 to 3 do
  print(alpha[i,j]=alpha1[i,j]);
end do:
end do:
end if;

```

* podle zvoleného materiálu a směru se tu zobrazí jedna z možností:

material := cubic

smer := ϕ

$$\alpha_{1,1} = 1$$

$$\alpha_{1,3} = 1$$

$$\alpha_{1,5} = 1$$

$$\alpha_{2,1} = \frac{K_B}{-lz_1^2 c_{4,4} - c_{4,4} + K_A + \rho v^2}$$

$$\alpha_{2,3} = \frac{K_B}{-lz_3^2 c_{4,4} - c_{4,4} + K_A + \rho v^2}$$

$$\alpha_{2,5} = \frac{K_B}{-lz_5^2 c_{4,4} - c_{4,4} + K_A + \rho v^2}$$

$$\alpha_{3,1} = \frac{lz_1 (c_{1,2} + c_{4,4})}{-lz_1^2 c_{1,1} - c_{4,4} + \rho v^2}$$

$$\alpha_{3,3} = \frac{lz_3 (c_{1,2} + c_{4,4})}{-lz_3^2 c_{1,1} - c_{4,4} + \rho v^2}$$

$$\alpha_{3,5} = \frac{lz_5 (c_{1,2} + c_{4,4})}{-lz_5^2 c_{1,1} - c_{4,4} + \rho v^2}$$

* nebo:

material := cubic

smer := 0

$$\alpha_{1,1} = -lz_1 (c_{1,2} + c_{4,4})$$

$$\alpha_{2,1} = 0$$

$$\alpha_{3,1} = c_{1,1} + lz_1^2 c_{4,4} - \rho v^2$$

$$\alpha_{1,3} = -lz_3 (c_{1,2} + c_{4,4})$$

$$\alpha_{2,3} = 0$$

$$\alpha_{3,3} = c_{1,1} + lz_3^2 c_{4,4} - \rho v^2$$

$$\alpha_{1,5} = 0$$

$$\alpha_{2,5} = 1$$

$$\alpha_{3,5} = 0$$

* nebo:

$$\begin{aligned}
& \text{material} := \text{cubic} \\
& \text{smer} := \frac{1}{4} \pi \\
& \alpha_{1,1} = -lz_1 (c_{1,2} + c_{4,4}) \\
& \alpha_{2,1} = 0 \\
& \alpha_{3,1} = \frac{1}{2} c_{1,1} + \frac{1}{2} c_{1,2} + c_{4,4} + lz_1^2 c_{4,4} - \rho v^2 \\
& \alpha_{1,3} = -lz_3 (c_{1,2} + c_{4,4}) \\
& \alpha_{2,3} = 0 \\
& \alpha_{3,3} = \frac{1}{2} c_{1,1} + \frac{1}{2} c_{1,2} + c_{4,4} + lz_3^2 c_{4,4} - \rho v^2 \\
& \alpha_{1,5} = 0 \\
& \alpha_{2,5} = 1 \\
& \alpha_{3,5} = 0
\end{aligned}$$

* nebo:

$$\begin{aligned}
& \text{material} := \text{ortotropic} \\
& \text{smer} := \phi \\
& \alpha_{1,1} = g_8 g_1 lz_1^4 + (-g_4^2 + g_8 g_3 + g_2 g_1) lz_1^2 + g_2 g_3 \\
& \alpha_{1,3} = g_8 g_1 lz_3^4 + (-g_4^2 + g_8 g_3 + g_2 g_1) lz_3^2 + g_2 g_3 \\
& \alpha_{1,5} = g_8 g_1 lz_5^4 + (-g_4^2 + g_8 g_3 + g_2 g_1) lz_5^2 + g_2 g_3 \\
& \alpha_{2,1} = -g_8 g_5 lz_1^4 + (g_6 g_4 - g_8 g_7 - g_2 g_5) lz_1^2 - g_2 g_7 \\
& \alpha_{2,3} = -g_8 g_5 lz_3^4 + (g_6 g_4 - g_8 g_7 - g_2 g_5) lz_3^2 - g_2 g_7 \\
& \alpha_{2,5} = -g_8 g_5 lz_5^4 + (g_6 g_4 - g_8 g_7 - g_2 g_5) lz_5^2 - g_2 g_7 \\
& \alpha_{3,1} = (g_5 g_4 - g_1 g_6) lz_1^3 + (g_7 g_4 - g_3 g_6) lz_1 \\
& \alpha_{3,3} = (g_5 g_4 - g_1 g_6) lz_3^3 + (g_7 g_4 - g_3 g_6) lz_3 \\
& \alpha_{3,5} = (g_5 g_4 - g_1 g_6) lz_5^3 + (g_7 g_4 - g_3 g_6) lz_5
\end{aligned}$$

* nebo:

$$\begin{aligned}
& \text{material} := \text{ortotropic} \\
& \text{smer} := 0 \\
& \alpha_{1,1} = (-c_{1,3} - c_{5,5}) lz_1 \\
& \alpha_{2,1} = 0 \\
& \alpha_{3,1} = c_{1,1} + lz_1^2 c_{5,5} - \rho v^2 \\
& \alpha_{1,3} = (-c_{1,3} - c_{5,5}) lz_3 \\
& \alpha_{2,3} = 0
\end{aligned}$$

$$\begin{aligned}\alpha_{3,3} &= c_{1,1} + lz_3^2 c_{5,5} - \rho v^2 \\ \alpha_{1,5} &= 0 \\ \alpha_{2,5} &= 1 \\ \alpha_{3,5} &= 0\end{aligned}$$

* nebo:

$$\begin{aligned}material &:= ortotropic \\ smer &:= \frac{1}{2} \pi \\ \alpha_{1,1} &= (-c_{2,3} - c_{4,4}) lz_1 \\ \alpha_{2,1} &= 0 \\ \alpha_{3,1} &= c_{2,2} + lz_1^2 c_{4,4} - \rho v^2 \\ \alpha_{1,3} &= (-c_{2,3} - c_{4,4}) lz_3 \\ \alpha_{2,3} &= 0 \\ \alpha_{3,3} &= c_{2,2} + lz_3^2 c_{4,4} - \rho v^2 \\ \alpha_{1,5} &= 0 \\ \alpha_{2,5} &= 1 \\ \alpha_{3,5} &= 0\end{aligned}$$

Pro $i = \{2,4,6\}$ platí $lz[i] = -lz[i-1] \Rightarrow$

pro směr ϕ : $\alpha[1,i] = \alpha[1,i-1]$, $\alpha[2,i] = \alpha[2,i-1]$, $\alpha[3,i] = -\alpha[3,i-1]$,

a pro směry $\mathbf{0}$, $\pi/4$ a $\pi/2$: $\alpha[1,i] = -\alpha[1,i-1]$, $\alpha[2,i] = \alpha[2,i-1]$, $\alpha[3,i] = \alpha[3,i-1]$.

Tyto substituce jsou použity v **dc_cubic_ortho.mw** při odvozování disperzních vztahů.

Koeficienty α budou použity v Matlabu v **cubic.fi.m** a **ortho.fi.m**

Pro směry $\mathbf{0}$, $\pi/4$ a $\pi/2$ rozklad ChM na dvě submatice **M1**, **M2** \Rightarrow (anti-)symetrické módy a SH módy; poslední člen součinu **ChM_alpha** je roven determinantu submatice **M1** a ten musí být nulový. Pro směr ϕ je čitatel prvního členu součinu **ChM_alpha** je roven determinantu matice (**ChM** nebo **N**) a ten musí být nulový.

```
> if smer <> phi then
    M1 := SubMatrix(ChM, [1,3], [1,3]):
    M2 := SubMatrix(ChM, [2], [2]):
    sd1:= Determinant(M1):
    sd2:= Determinant(M2):
    if material = cubic then
        ChM_alpha[3]:=simplify(ChM_alpha[3]-sd1):
    else
        ChM_alpha[3]:=simplify( numer(ChM_alpha[3]) -sd1):
    end if:
else
    if material = cubic then
```

```

    det:=factor(Determinant(ChM));
    ChM_alpha[1]:=simplify(numer(ChM_alpha[1])-det):
else
    ChM_alpha[1]:=simplify(numer(ChM_alpha[1])-Determinant(N)):
end if:
end if:
simplify(ChM_alpha);

```

$$\begin{bmatrix} 0 \\ 0 \\ 0 \end{bmatrix}$$

Určení hodnot g_1 až g_{10} pro ortotropní materiál a směr ϕ

```

> if material = ortotropic and smer = phi then
    c11 :=ChM[1,1]:
    g[9]:=coeff(c11,lz,2): A[1]:=NULL: A[2]:=NULL:
    for i in op(g[9]) do
        if has(i,c[4,4]) then A[1]:=A[1],i ;
        else A[2]:=A[2],i; end if
    end do:
    g9a :=simplify(add(i,i=[A[1]]))+add(i,i=[A[2]]):
    g[9] :=g9a:
    g[10]:=coeff(c11,lz,0):
    for i from 1 to 4 do A[i]:=NULL: end do:
    for i in op(g[10]) do
        if has(i,c[1,1]) then A[1]:=A[1],i ;
        elif has(i,c[2,2]) then A[2]:=A[2],i ;
        elif has(i,rho) then A[3]:=A[3],i ;
        else A[4]:=A[4],i; end if
    end do:
    g10a:=simplify(add(i,i=[A[1]]))+simplify(add(i,i=[A[2]]))
        +simplify(add(i,i=[A[4]]))+A[3]:
    g[10]:=g10a:
    #*****
    c12 :=ChM[1,2]:
    g[5]:=coeff(c12,lz,2):
    g[7]:=coeff(c12,lz,0):
    g7a :=algsubs(c[1,2]+2*c[6,6]-c[1,1]=pom,g[7]):
    A[1]:=NULL: A[2]:=NULL:
    for i in op(g7a)do
        if has(i,pom) then A[1]:=A[1],i ;
        else A[2]:=A[2],i; end if
    end do:
    g7b:=A[1]: g7c:=simplify(mul(i,i=[A[2]])):
    A[1]:=NULL: A[2]:=NULL:
    for i in op(g7b) do
        if has(i,pom) then A[1]:=A[1],i;
        else A[2]:=A[2],i; end if
    end do:

```

```

g7d :=factor(add(i,i=[A[1]]))+simplify(add(i,i=[A[2]])):
pom :=c[1,2]+2*c[6,6]-c[1,1]:
g7e :=g7d*g7c:
g[7]:=g7e:
*****
c13 :=ChM[1,3]:

g[6]:=coeff(c13,lz,1):
for i from 1 to 3 do A[i]:=NULL: end do:
for i in op(g[6]) do
  if has(i,c[2,3]) then A[1]:=A[1],i ;
  elif has(i,c[4,4]) then A[2]:=A[2],i;
  else A[3]:=A[3],i; end if
end do:
g6a:=simplify(add(i,i=[A[1]]))+simplify(add(i,i=[A[2]]))+add(i,i=[A[3]]):
A[1]:=NULL: A[2]:=NULL:
for i in op(g6a) do
  if has(i,sin) then A[1]:=A[1],i ;
  else A[2]:=A[2],i; end if
end do:
g6b:=simplify(add(i,i=[A[1]]))+simplify(add(i,i=[A[2]])):
g[6]:=g6b:
*****
c22 :=ChM[2,2]:
g[1]:=coeff(c22,lz,2):A[1]:=NULL: A[2]:=NULL:
for i in op(g[1]) do
  if has(i,c[5,5]) then A[1]:=A[1],i ;
  else A[2]:=A[2],i; end if
end do:
g[1]:=simplify(add(i,i=[A[1]]))+add(i,i=[A[2]]):
g[3]:=coeff(c22,lz,0): A[1]:=NULL: A[2]:=NULL:
for i in op(g[3]) do
  if has(i,cos) then A[1]:=A[1],i ;
  else A[2]:=A[2],i; end if
end do:
g[3]:=simplify(add(i,i=[A[1]]))+simplify(add(i,i=[A[2]])):
*****
c23 :=ChM[2,3]:
g[4]:=coeff(c23,lz,1):
g[4]:=factor(g[4]):
*****
c33 :=ChM[3,3]:
g[8]:=coeff(c33,lz,2):
g[2]:=coeff(c33,lz,0):A[1]:=NULL: A[2]:=NULL:
for i in op(g[2]) do
  if has(i,c[4,4]) then A[1]:=A[1],i ;
  else A[2]:=A[2], i; end if
end do:

```

```

g[2]:=simplify(add(i,i=[A[1]]))+add(i,i=[A[2]]):
print(simplify(N-ChM));
end if:

```

* pro ortotropní materiál a směr ϕ se zde zobrazí:

$$\begin{bmatrix} 0 & 0 & 0 \\ 0 & 0 & 0 \\ 0 & 0 & 0 \end{bmatrix}$$

V [7], [8] a [12] je uveden tvar $g[7]$ následovně:

```

> if smer = phi then
  g_7:= sin(phi)*cos(phi)*
  (c[1,2]-c[2,2]+2*c[6,6]+cos(phi)^2*(c[1,1]-2*c[1,2]+c[2,2]-4*c[6,6]));
  simplify(g_7+g[7]);
end if;

```

* pro ortotropní materiál a směr ϕ se zde zobrazí:

$$g_{-7} := \sin(\phi) \cos(\phi) (c_{1,2} - c_{2,2} + 2c_{6,6} + (c_{1,1} - 2c_{1,2} - 4c_{6,6} + c_{2,2}) \cos(\phi)^2)$$

$$0$$

Tedy $g_{-7} = -g[7] \Rightarrow \alpha[2,n]$ a $\alpha[3,n]$ pro $n=1,3,5$ se v [7], [8] a [12] od zdejšího vyjádření liší znaménkem u g_{-7} .

```

> printlevel:=2:
if material = ortotropic and smer = phi then
  for i from 1 to 10 do g[i]:=g[i] end do;
end if;

```

* pro ortotropní materiál a směr ϕ se zde zobrazí:

$$g_1 := \cos(\phi)^2 c_{4,4} + \sin(\phi)^2 c_{5,5}$$

$$g_2 := \sin(\phi)^2 c_{4,4} + \cos(\phi)^2 c_{5,5} - \rho v^2$$

$$g_3 := \sin(\phi)^2 \cos(\phi)^2 (c_{1,1} - 2c_{1,2} - 4c_{6,6} + c_{2,2}) + c_{6,6} - \rho v^2$$

$$g_4 := \cos(\phi) \sin(\phi) (c_{2,3} - c_{1,3} + c_{4,4} - c_{5,5})$$

$$g_5 := \cos(\phi) \sin(\phi) (c_{4,4} - c_{5,5})$$

$$g_6 := \sin(\phi)^2 (c_{2,3} + c_{4,4}) + \cos(\phi)^2 (c_{1,3} - c_{5,5})$$

$$g_7 := -(-\cos(\phi)^2 (-c_{1,1} + c_{1,2} + 2c_{6,6}) + \sin(\phi)^2 (c_{1,2} + 2c_{6,6} - c_{2,2})) \cos(\phi) \sin(\phi)$$

$$g_8 := c_{3,3}$$

$$g_9 := \sin(\phi)^2 c_{4,4} + \cos(\phi)^2 c_{5,5}$$

$$g_{10} := \cos(\phi)^4 c_{1,1} + c_{2,2} \sin(\phi)^4 + 2(c_{1,2} + 2c_{6,6}) \cos(\phi)^2 \sin(\phi)^2 - \rho v^2$$

Po úpravách dostáváme následující tvary, ty jsou použity v Matlabu v **ortho_fm**

```

> if material = ortotropic and smer = phi then
  g[3]:=algsubs(c[1,1]-2*c[1,2]+c[2,2]-4*c[6,6]=Lambda[5],g[3]);
  g[4]:=algsubs(c[4,4]-c[5,5]=Lambda[1],g[4]);
  g[4]:=factor(algsubs(c[1,3]-c[2,3]=Lambda[2],g[4]));
  g[5]:=algsubs(c[4,4]-c[5,5]=Lambda[1],g[5]);
  g[7]:=algsubs(c[1,2]+2*c[6,6]-c[1,1]=Lambda[3],g[7]);
  g[7]:=algsubs(c[1,2]+2*c[6,6]-c[2,2]=Lambda[4],g[7]);
end if;
if material = ortotropic and smer = phi then
  for i in {3,4,5,7} do g[i]:=g[i] end do;
  Lambda[1]:=c[4,4]-c[5,5];
  Lambda[2]:=c[1,3]-c[2,3];
  Lambda[5]:= -(Lambda[3]+Lambda[4]);
  Lambda[3]:=c[1,2]+2*c[6,6]-c[1,1];
  Lambda[4]:=c[1,2]+2*c[6,6]-c[2,2];
end if;

```

* pro ortotropní materiál a směr ϕ se zde zobrazí:

$$\begin{aligned}
g_3 &:= \sin(\phi)^2 \cos(\phi)^2 \Lambda_5 + c_{6,6} - \rho v^2 \\
g_4 &:= \cos(\phi) \sin(\phi) (-\Lambda_2 + \Lambda_1) \\
g_5 &:= \cos(\phi) \sin(\phi) \Lambda_1 \\
g_7 &:= -\cos(\phi) \sin(\phi) (\sin(\phi)^2 \Lambda_4 - \cos(\phi)^2 \Lambda_3) \\
\Lambda_1 &:= c_{4,4} - c_{5,5} \\
\Lambda_2 &:= c_{1,3} - c_{2,3} \\
\Lambda_5 &:= -\Lambda_3 - \Lambda_4 \\
\Lambda_3 &:= -c_{1,1} + c_{1,2} + 2c_{6,6} \\
\Lambda_4 &:= c_{1,2} - c_{2,2} + 2c_{6,6}
\end{aligned}$$

Řešení charakteristické rovnice \Rightarrow výpočet determinantu

Pro směry 0 , $\pi/4$ a $\pi/2$ rozklad ChM na dvě submatice \Rightarrow (anti-)symetrické módy a SH módy

1. subdeterminant = 0 \rightarrow symetrické a antisymetrické módy

```

> if smer <> phi then
  d4:=coeff(sd1,lz,4);
  d2:=coeff(sd1,lz,2);
  d0:=coeff(sd1,lz,0);
  print('material'=material);
  print('smer'=smer); print(M1=0);
  if material = cubic then
    if smer = 0 then
      B[1]:=select(has,d2,{c[1,1],rho});
      B[2]:=remove(has,d2,{c[1,1],rho});
      B[1]:=factor(select(has,B[1],c[1,1]))
        +factor(remove(has,B[1],c[1,1])+c[4,4]^2);
    end if;
  end if;

```

```

B[2]:=factor(B[2]-c[4,4]^2);
print(lz^2=(-B+sqrt(B^2-A))/2/d4);
print(lz^2=(-B-sqrt(B^2-A))/2/d4);
a:=factor(4*d0*d4);
b:=B[1]+B[2];
print(A=a);
print(B=b);
else
  d4:=2*d4; d2:=2*d2; d0:=2*d0;
  B[1]:=select(has,d2,rho);
  B[2]:=remove(has,d2,{c[1,1]^2,rho});
  B[3]:=select(has,d2,c[1,1]^2);
  print(lz^2=(-B+sqrt(B^2-4*A*C))/2/A);
  print(lz^2=(-B-sqrt(B^2-4*A*C))/2/A);
  a:=d4;
  b:=factor(B[1])+factor(B[2])+B[3];
  c_print:=factor(d0));
  print(A=a);
  print(B=b);
  print(C=c_print);
end if;
print(simplify(d2-b));
else #ortotropic
  for i from 1 to 3 do A[i]:=NULL: end do:
  for i in op(d2) do
    if has(i,c[3,3]) then A[1]:=A[1],i ;
    elif has(i,v) then A[2]:=A[2],i ;
    else A[3]:=A[3],i; end if:
  end do:
  B[1]:=factor(add(i,i=[A[1]]));
  if smer=0 then
    B[2]:=factor(add(i,i=[A[2]])+c[5,5]^2);
    B[3]:=factor(add(i,i=[A[3]])-c[5,5]^2);
  else
    B[2]:=factor(add(i,i=[A[2]])+c[4,4]^2);
    B[3]:=factor(add(i,i=[A[3]])-c[4,4]^2);
  end if;
  print(lz^2=(-B+sqrt(B^2-A))/2/d4);
  print(lz^2=(-B-sqrt(B^2-A))/2/d4);
  a:=4*d4*factor(d0);
  b:=B[1]+B[2]+B[3];
  print(A=a);
  print(B=b);
end if:
else
  det := factor(Determinant(ChM)):
end if:

```

* podle zvoleného materiálu a směru se tu zobrazí jedna z možností:

material = cubic

směr = 0

$$\begin{bmatrix} c_{1,1} + lz^2 c_{4,4} - \rho v^2 & lz c_{1,2} + lz c_{4,4} \\ lz c_{1,2} + lz c_{4,4} & lz^2 c_{1,1} + c_{4,4} - \rho v^2 \end{bmatrix} = 0$$

$$lz^2 = \frac{1}{2} \frac{-B + \sqrt{B^2 - A}}{c_{1,1} c_{4,4}}$$

$$lz^2 = \frac{1}{2} \frac{-B - \sqrt{B^2 - A}}{c_{1,1} c_{4,4}}$$

$$A = 4 (-c_{4,4} + \rho v^2) (-c_{1,1} + \rho v^2) c_{1,1} c_{4,4}$$

$$B = -c_{1,1} (-c_{1,1} + \rho v^2) - c_{4,4} (-c_{4,4} + \rho v^2) - (c_{1,2} + c_{4,4})^2$$

0

* nebo:

material = cubic

směr = $\frac{1}{4} \pi$

$$\begin{bmatrix} \frac{1}{2} c_{1,1} + \frac{1}{2} c_{1,2} + c_{4,4} + lz_1^2 c_{4,4} - \rho v^2 & lz c_{1,2} + lz c_{4,4} \\ lz c_{1,2} + lz c_{4,4} & lz^2 c_{1,1} + c_{4,4} - \rho v^2 \end{bmatrix} = 0$$

$$lz^2 = \frac{1}{2} \frac{-B + \sqrt{B^2 - 4AC}}{A}$$

$$lz^2 = \frac{1}{2} \frac{-B - \sqrt{B^2 - 4AC}}{A}$$

$$A = 2 c_{1,1} c_{4,4}$$

$$B = -2v^2 \rho (c_{4,4} + c_{1,1}) + (c_{1,2} + 2c_{4,4}) (c_{1,1} - 2c_{1,2}) + c_{1,1}^2$$

$$C = (-c_{4,4} + \rho v^2) (2\rho v^2 - c_{1,1} - c_{1,2} - 2c_{4,4})$$

0

* nebo:

material = ortotropic

směr = 0

$$\begin{bmatrix} c_{1,1} + lz^2 c_{5,5} - \rho v^2 & lz c_{1,3} + lz c_{5,5} \\ lz c_{1,3} + lz c_{5,5} & lz^2 c_{3,3} + c_{5,5} - \rho v^2 \end{bmatrix} = 0$$

$$lz^2 = \frac{1}{2} \frac{-B + \sqrt{B^2 - A}}{c_{5,5} c_{3,3}}$$

$$lz^2 = \frac{1}{2} \frac{-B - \sqrt{B^2 - A}}{c_{5,5} c_{3,3}}$$

$$A = 4 c_{5,5} c_{3,3} (-c_{1,1} + \rho v^2) (-c_{5,5} + \rho v^2)$$

$$B = -c_{3,3} (-c_{1,1} + \rho v^2) - c_{5,5} (-c_{5,5} + \rho v^2) - (c_{1,3} + c_{5,5})^2$$

* nebo:

$$material = ortotropic$$

$$smer = \frac{1}{2} \pi$$

$$\begin{bmatrix} c_{2,2} + lz^2 c_{4,4} - \rho v^2 & lz c_{2,3} + lz c_{4,4} \\ lz c_{2,3} + lz c_{4,4} & lz^2 c_{3,3} + c_{4,4} - \rho v^2 \end{bmatrix} = 0$$

$$lz^2 = \frac{1}{2} \frac{-B + \sqrt{B^2 - A}}{c_{4,4} c_{3,3}}$$

$$lz^2 = \frac{1}{2} \frac{-B - \sqrt{B^2 - A}}{c_{4,4} c_{3,3}}$$

$$A = 4 c_{4,4} c_{3,3} (-c_{4,4} + \rho v^2) (-c_{2,2} + \rho v^2)$$

$$B = -c_{3,3} (-c_{2,2} + \rho v^2) - c_{4,4} (-c_{4,4} + \rho v^2) - (c_{2,3} + c_{4,4})^2$$

2. subdeterminant = 0 → SH módy

```
> if smer <> phi then
  print('material'=material);
  print('smer'=smer);
  print(M2=0);
  if material = cubic and smer = 0 then
    print(expand(isolate(Determinant(M2)=0,lz^2)));
  else
    print(isolate(Determinant(M2)=0,lz^2));
  end if;
end if;
```

* podle zvoleného materiálu a směru se tu zobrazí jedna z možností:

$$material = cubic$$

$$smer = 0$$

$$[lz^2 c_{4,4} + c_{4,4} - \rho v^2] = 0$$

$$lz^2 = -1 + \frac{\rho v^2}{c_{4,4}}$$

* nebo:

$$material = cubic$$

$$smer = \frac{1}{4} \pi$$

$$\left[lz_1^2 c_{4,4} + \frac{1}{2} c_{1,1} - \frac{1}{2} c_{1,2} - \rho v^2 \right] = 0$$

$$lz^2 = \frac{-\frac{1}{2} c_{1,1} + \frac{1}{2} c_{1,2} + \rho v^2}{c_{4,4}}$$

* nebo:

material = ortotropic

smer = 0

$$[lz^2 c_{4,4} + c_{6,6} - \rho v^2] = 0$$

$$lz^2 = \frac{-c_{6,6} + \rho v^2}{c_{4,4}}$$

* nebo:

material = ortotropic

smer = $\frac{1}{2} \pi$

$$[lz^2 c_{5,5} + c_{6,6} - \rho v^2] = 0$$

$$lz^2 = \frac{-c_{6,6} + \rho v^2}{c_{5,5}}$$

Řešení pro směr ϕ : determinant = 0 → symetrické a antisymetrické módy

Ze vzniklé bikubické rovnice získáme členy u koeficientu 6., 4., 2. a 0-tého řádu.

V následujícím použijeme tyto substituce (pro ortotropní materiál):

p[1]:=c[1,1]/c[3,3]: p[2]:=c[2,2]/c[3,3]: p[3]:=c[1,2]/c[3,3]: p[4]:=c[4,4]/c[3,3]:

p[5]:=c[5,5]/c[3,3]: p[6]:=c[6,6]/c[3,3]: p[7]:=c[1,3]/c[3,3]: p[8]:=c[2,3]/c[3,3]:

```
> if smer = phi then
  print('material'=material);
  print('smer'=smer);
  print(A*lz^6+B*lz^4+C*lz^2+D=0);
  if material = cubic then
    unprotect(D);
    K_6 := coeff(det,lz,6);
    K_4 := factor(coeff(det,lz,4));
    K_2 := coeff(det,lz,2);
    K_0 := coeff(det,lz,0);
    *****
    A[1]:=select(has,K_4,rho); A[2]:=remove(has,K_4,rho);
    A[3]:=factor(select(has,remove(has,A[1],rho),c[4,4]));
    A[4]:=factor(select(has,A[1],rho));
    A[5]:=remove(has,A[1],{rho,c[4,4]});
    B:=add(-A[i],i =3..5)*(-A[2]);
    *****
    A[1]:=factor(select(has,K_2,rho^2));
    A[2]:=factor(select(has,K_2,{K_A^2,K_B^2}));
```

```

A[3]:=factor(select(has,K_2,{c[1,2]^2,c[1,1]^2})):
A[3]:=simplify(remove(has,A[3],K_A))*select(has,A[3],K_A);
A[4]:=remove(has,K_2,{rho^2,K_A^2,K_B^2,c[1,2]^2,c[1,1]^2}):
A[5]:=select(has,A[4],{K_A,rho}):
A[5]:=factor(remove(has,A[5],c[1,2]))+factor(select(has,A[5],c[1,2]));
A[6]:=factor(remove(has,A[4],{K_A,rho}));
C:=add(A[i],i in {1,5,3,2,6});
*****
A[1]:=select(has,K_0,v^6):
A[2]:=factor(select(has,K_0,v^4)):
A[3]:=factor(select(has,K_0,{K_A,K_B})):
A[3]:=(factor(select(has,(select(has,A[3],K_A),K_A)))
+remove(has,(select(has,A[3],K_A),K_A)))*remove(has,A[3],K_A):
A[4]:=remove(has,K_0,{v^6,v^4,K_A,K_B}):
A[4]:=factor(select(has,A[4],rho))+factor(remove(has,A[4],rho)):
D:=add(A[i], i=1..4);
print('A'=K_6);
print('B'=B);
print('C'=C);
print('D'=D);
else # material = ortotropic
aC_6:= simplify(coeff(det,lz,6)/c[3,3]^3):
C_6 := algsubs(c[4,4]/c[3,3]=p[4],aC_6):
C_6 := algsubs(c[5,5]/c[3,3]=p[5],C_6);
print('A'=C_6);
*****
C_4:= expand(simplify(coeff(det,lz,4)/c[3,3]^3)):
C_4:=expand(algsubs(c[1,1]/c[3,3]=p[1],C_4)):
C_4:=expand(algsubs(c[2,2]/c[3,3]=p[2],C_4)):
C_4:=expand(algsubs(c[4,4]/c[3,3]=p[4],C_4)):
C_4:=expand(algsubs(c[5,5]/c[3,3]=p[5],C_4)):
C_4:=expand(algsubs(c[6,6]/c[3,3]=p[6],C_4)):
C_4:=expand(algsubs(c[1,3]/c[3,3]=p[7],C_4)):
C_4:=expand(algsubs(c[2,3]/c[3,3]=p[8],C_4)):
C_4:=expand(algsubs(rho*v^2/c[3,3]=chi^2,C_4)):
for i from 1 to 3 do A[i]:=NULL: end do:
for i in op(C_4) do
if has(i,chi) then A[1]:=A[1],i ;
elif has(i,cos) then A[2]:=A[2],i ;
else A[3]:=A[3],i; end if
end do:
for j from 1 to 3 do B[j]:=simplify(add(i,i=[A[j]])) end do:
r_chi:=factor(B[1]): r_c:=B[2]/cos(phi)^2+B[3]: r_s:=B[3]:
for i from 1 to 2 do A[i]:=NULL: end do:
for i in op(r_c) do
if has(i,{p[1],p[6]}) then A[1]:=A[1],i;
else A[2]:=A[2],i; end if
end do:

```

```

for j from 1 to 2 do B[j]:=factor(add(i,i=[A[j]])) end do:
r_c:=(B[1]+B[2])*cos(phi)^2:
for i from 1 to 2 do A[i]:=NULL: end do:
for i in op(r_s) do
  if has(i,{p[2],p[6]}) then A[1]:=A[1],i;
  else A[2]:=A[2],i; end if
end do:
for j from 1 to 2 do B[j]:=factor(add(i,i=[A[j]])) end do:
r_s:=(B[1]+B[2])*sin(phi)^2:
q1:=p[8]*(p[8]+2*p[4]); q2:=p[7]*(p[7]+2*p[5]);
print('q[1]=q1); print('q[2]=q2);
r_4s:=subs(p[8]+2*p[4]=qq[1],r_s): r_4s:=algsubs(p[8]*qq[1]=q[1],r_4s):
r_4c:=subs(p[7]+2*p[5]=qq[2],r_c): r_4c:=algsubs(p[7]*qq[2]=q[2],r_4c):
C4:=r_4s+r_4c+r_chi;
print('B'=C4);
B_4:=eval(C4,[q[1]=q1,q[2]=q2]):
C_4:=B_4:
#*****
C_2:=expand(simplify(coeff(det,lz,2)/c[3,3]^3)):
C_2:=expand(algsubs(c[1,1]/c[3,3]=p[1],C_2)):
C_2:=expand(algsubs(c[2,2]/c[3,3]=p[2],C_2)):
C_2:=expand(algsubs(c[1,2]/c[3,3]=p[3],C_2)):
C_2:=expand(algsubs(c[4,4]/c[3,3]=p[4],C_2)):
C_2:=expand(algsubs(c[5,5]/c[3,3]=p[5],C_2)):
C_2:=expand(algsubs(c[6,6]/c[3,3]=p[6],C_2)):
C_2:=expand(algsubs(c[1,3]/c[3,3]=p[7],C_2)):
C_2:=expand(algsubs(c[2,3]/c[3,3]=p[8],C_2)):
C_2:=expand(algsubs(rho*v^2/c[3,3]=chi^2,C_2)):
for i from 1 to 2 do A[i]:=NULL: end do:
for i in op(C_2) do
  if has(i,p[5]) then
    if has(i,p[4]) then A[1]:=A[1],i ;else A[2]:=A[2], i end if
    else A[2]:=A[2], i; end if
end do:
for j from 1 to 2 do B[j]:=add(i,i=[A[j]]) end do:
C2_p[5]p[4]:=factor(B[1])/p[5]/p[4]: C2_b:=B[2]:
for i from 1 to 5 do A[i]:=NULL: end do:
for i in op(C2_p[5]p[4]) do
  if has(i,p[1]) then A[1]:=A[1],i ;
  elif has(i,p[2]) then A[2]:=A[2],i ;
  elif has(i,p[3]) then A[3]:=A[3],i ;
  elif has(i,p[6]) then A[4]:=A[4],i ;
  else A[5]:=A[5],i; end if
end do:
for j from 1 to 5 do B[j]:=simplify(add(i,i=[A[j]])) end do:
print('S_4_21'=B[1]+B[2]);
r_1:=factor(B[3]+B[4])+S_4_21+B[5]:
#*****

```

```

for i from 1 to 3 do A[i]:=NULL: end do:
for i in op(C2_b) do
  if has(i,p[6]) then A[1]:=A[1],i ;
  elif has(i,chi)then A[2]:=A[2],i ;
  else A[3]:=A[3],i; end if
end do:
for j from 1 to 3 do B[j]:=factor(add(i,i=[A[j]])) end do:
C2_p[6]:=B[1]/p[6]: C2_chi:=B[2]/chi^2:
C2_sc:=simplify(B[3]/sin(phi)^2/cos(phi)^2):
for i from 1 to 9 do A[i]:=NULL: end do:
for i in op(C2_p[6]) do
  if has(i,chi) then
    if has(i,p[4]) then A[1]:=A[1],i ; else A[2]:=A[2], i;end if
  elif has(i,p[8]) then
    if has(i/p[8]/sin(phi)^2,{p[4],p[8]})then A[3]:=A[3],i;
    else A[4]:=A[4],i;end if
  elif has(i,p[1]) then A[5]:=A[5],i ;
  elif has(i,p[4]) then A[6]:=A[6],i ;
  elif has(i,p[2]) then A[7]:=A[7],i ;
  elif has(i,p[7]) then A[8]:=A[8],i ;
  else A[9]:=A[9],i; end if
end do:
for j from 1 to 9 do B[j]:=simplify(add(i,i=[A[j]])) end do:
B[421]:=B[5]+B[7]: #S_4_21 =B[421];
B[245]:=p[4]*sin(phi)^2+cos(phi)^2*p[5]: #S_2_45 =B[245];
q4:=p[5]*p[8]+p[7]*p[8]+p[4]*p[7];
print('S_2_45'=B[245]); print('q4'=q4);
r_2a:=subs(p[8]+2*p[4]=qq[1],B[3]): r_2a:=algsubs(p[8]*qq[1]=q[1],r_2a):
r_2b:=subs(p[7]+2*p[5]=qq[2],B[8]): r_2b:=algsubs(p[7]*qq[2]=q[2],r_2b):
r_2c:=algsubs(p[5]*p[8]+p[7]*p[8]+p[4]*p[7]=q[4],factor(B[4]+B[6]+B[9])):
r_2d:=algsubs(p[4]*sin(phi)^2+cos(phi)^2*p[5]=S_2_45,factor(B[1]+B[2])):
r_2:=S_4_21+r_2a+r_2c+r_2b+r_2d:
#*****
for i from 1 to 5 do A[i]:=NULL: end do:
for i in op(C2_sc) do
  if has(i,p[1]) then
    if has(i,p[8]) then A[1]:=A[1],i ; else A[2]:=A[2],i ;end if
    elif has(i,p[2]) then A[3]:=A[3],i ;
    elif has(i,p[3]^2)then A[4]:=A[4],i ;
    else A[5]:=A[5],i ;
  end if
end do:
for j from 1 to 5 do B[j]:=factor(add(i,i=[A[j]])) end do:
q3:=B[2]+B[4];
print('q[3]'=q3);
r_a:=subs(p[8]+2*p[4]=qq[1],B[1]): r_sc_a:=algsubs(p[8]*qq[1]=q[1],r_a):
r_b:=subs(p[7]+2*p[5]=qq[2],B[3]): r_sc_b:=algsubs(p[7]*qq[2]=q[2],r_b):
r_sc_c:=algsubs(p[5]*p[8]+p[7]*p[8]+p[4]*p[7]=q[4],B[5]):

```

```

r_sc:=(q[3]+r_sc_a+r_sc_b+r_sc_c):
#*****
C2_chi:
for i from 1 to 7 do A[i]:=NULL: end do:
for i in op(C2_chi) do
  if has(i,chi)then A[1]:=A[1],i ;
  elif has(i,p[7]) then A[2]:=A[2],i ;
  elif has(i,p[8]) then A[3]:=A[3],i ;
  elif has(i,p[4]) then A[4]:=A[4],i ;
  elif has(i,p[5]) then A[5]:=A[5],i ;
  elif has(i,p[1]) then A[6]:=A[6],i ;
  else A[7]:=A[7],i ;
  end if
end do:
for j from 1 to 7 do B[j]:=simplify(add(i,i=[A[j]])) end do:
B[221]:=-(B[6]+B[7]): #S_2_21 =B[221];
print('S_2_21'=B[221]);
r_3a:=subs(p[8]+2*p[4]=qq[1],B[3]): r_3a:=algsubs(p[8]*qq[1]=q[1],r_3a):
r_3b:=subs(p[7]+2*p[5]=qq[2],B[2]): r_3b:=algsubs(p[7]*qq[2]=q[2],r_3b):
r_3 :=collect(r_3a+B[5],sin(phi)^2)+collect(r_3b+B[4],cos(phi)^2)
      -S_2_21+factor(B[1]):
#*****
C2:=r1*p[4]*p[5]+p[6]*r2+r[sc]*sin(phi)^2*cos(phi)^2+r3*chi^2;
print('C'=C2); print('r[1] '=r_1); print('r[2] '=r_2);
print('r[3] '=r_3); print('r[sc] '=r_sc);
r[1]:=r_1; r[2]:=r_2; r[3]:=r_3; r[sc]:=r_sc;
B_2:=eval(C2,[S_4_21 =B[421],S_2_21 =B[221],S_2_45 =B[245],
             q[1]=q1,q[2]=q2,q[3]=q3,q[4]=q4]):
C_2:=B_2:
#*****
C_0:=expand(simplify(coeff(det,lz,0)/c[3,3]^3)):
C_0:=expand(algsubs(c[1,1]/c[3,3]=p[1],C_0)):
C_0:=expand(algsubs(c[2,2]/c[3,3]=p[2],C_0)):
C_0:=expand(algsubs(c[1,2]/c[3,3]=p[3],C_0)):
C_0:=expand(algsubs(c[4,4]/c[3,3]=p[4],C_0)):
C_0:=expand(algsubs(c[5,5]/c[3,3]=p[5],C_0)):
C_0:=expand(algsubs(c[6,6]/c[3,3]=p[6],C_0)):
C_0:=expand(algsubs(c[1,3]/c[3,3]=p[7],C_0)):
C_0:=expand(algsubs(c[2,3]/c[3,3]=p[8],C_0)):
C_0:=expand(algsubs(rho*v^2/c[3,3]=chi^2,C_0)):
for i from 1 to 2 do A[i]:=NULL: end do:
for i in op(C_0) do
  if has(i,chi) then A[1]:=A[1],i ;
  else A[2]:=A[2],i; end if
end do:
for j from 1 to 2 do B[j]:=add(i,i=[A[j]]) end do:
C0_chi:=factor(B[1])/chi^2:
C0_b :=simplify(factor(B[2])/(cos(phi)^2*p[5]+sin(phi)^2*p[4])):

```

```

for i from 1 to 2 do A[i]:=NULL: end do:
for i in op(C0_b) do
  if has(i,p[6]) then A[1]:=A[1],i ;
  else A[2]:=A[2],i; end if
end do:
for j from 1 to 2 do B[j]:=add(i,i=[A[j]]) end do:
C0_p[6]:=factor(B[1]/p[6]):
C0_c :=simplify(factor(B[2])/(p[1]*p[2]-p[3]^2))*(p[1]*p[2]-p[3]^2):
for i from 1 to 3 do A[i]:=NULL: end do:
for i in op(C0_p[6]) do
  if has(i,p[3]) then A[1]:=A[1],i ;
  elif has(i,p[1]) then A[2]:=A[2],i ;
  else A[3]:=A[3],i; end if
end do:
for j from 1 to 3 do B[j]:=add(i,i=[A[j]]) end do:
C0_63:=simplify(B[1]/p[3])*p[3]: C0_61:=factor(B[2]/p[1])*p[1]:
C0_62:=simplify(B[3]/p[2])*p[2]:
B[421]:=C0_61+C0_62: S_4_21 =B[421]:
r_4a:=algsubs(p[1]*p[2]-p[3]^2=q[3],factor(p[6]*C0_63+C0_c)):
C0_d:=p[6]*S_4_21+r_4a:
r_4:=C0_d*S_2_45:
#*****
C0_chi:
for i from 1 to 7 do A[i]:=NULL: end do:
for i in op(C0_chi) do
  if has(i,chi)then A[1]:=A[1],i ;
  elif has(i,p[3]) then A[2]:=A[2],i ;
  elif has(i,p[6]) then A[3]:=A[3],i ;
  elif has(i,p[4]) then A[4]:=A[4],i ;
  elif has(i,p[5]) then A[5]:=A[5],i
  else A[6]:=A[6],i; end if
end do:
for j from 1 to 6 do B[j]:=simplify(add(i,i=[A[j]])) end do:
C0_chi2:=factor(B[1])/chi^2:
r_5a:=algsubs(p[1]*p[2]-p[3]^2=q[3],factor(B[2]+factor(B[6]))):
r_5b:=algsubs(sin(phi)^2*p[2]+cos(phi)^2*p[1]=S_2_21,factor(B[4]+B[5])):
r_5b:=simplify(algsubs(sin(phi)^2*p[4]+cos(phi)^2*p[5]=S_2_45,r_5b)):
r_a :=r_5a+r_5b:
C0_e:=factor(B[3]):
for i from 1 to 3 do A[i]:=NULL: end do:
for i in op(C0_e/p[6]) do
  if has(i,p[4]) then A[1]:=A[1],i ;
  elif has(i,p[2]) then A[2]:=A[2],i ;
  else A[3]:=A[3],i; end if
end do:
for j from 1 to 3 do B[j]:=simplify(add(i,i=[A[j]])) end do:
r_5c:=algsubs(sin(phi)^4*p[2]+cos(phi)^4*p[1]=S_4_21,B[2]+expand(B[3])):
r_5c:=simplify(algsubs(sin(phi)^2*p[4]+cos(phi)^2*p[5]=S_2_45,r_5c+B[1])):

```

```

r_5 :=r_a+p[6]*r_5c:
#*****
for i from 1 to 2 do A[i]:=NULL: end do:
for i in op(C0_chi2) do
  if has(i,{p[4],p[2]}) then A[1]:=A[1],i ;
  else A[2]:=A[2],i; end if
end do:
for j from 1 to 2 do B[j]:=add(i,i=[A[j]]) end do:
r_chi:=algsubs(sin(phi)^2*p[2]+cos(phi)^2*p[1]=S_2_21,
  expand(simplify(B[1])+collect(B[2],cos))):
r_chi:=algsubs(sin(phi)^2*p[4]+cos(phi)^2*p[5]=S_2_45,r_chi):
#*****
C0:=r4+(r5+r_chi*chi^2)*chi^2;
print('D'=C0); print('r[4] '=r_4); print('r[5] '=r_5);
r[4]:=r_4; r[5]:=r_5;
B_0:=eval(C0,[S_4_21 =B[421],S_2_21 =B[221],S_2_45 =B[245],q[3]=q3]):
C_0:=B_0:
end if: end if:

```

* podle zvoleného materiálu a směru se tu zobrazí jedna z možností:

$$\begin{aligned}
& \text{material} = \text{cubic} \\
& \text{směr} := \phi \\
& A l z^6 + B l z^4 + C l z^2 + D = 0 \\
& A = c_{1,1} c_{4,4}^2 \\
& B = -(-c_{4,4} (-2 c_{1,2} + c_{1,1}) + \rho v^2 (2 c_{1,1} + c_{4,4}) + c_{1,2}^2 - c_{1,1}^2) c_{4,4} \\
& C = \rho^2 v^4 (2 c_{4,4} + c_{1,1}) - c_{1,1} (K_B^2 + K_A^2) + (-c_{1,2}^2 + c_{1,1}^2) (-\rho v^2 - K_A + c_{4,4}) \\
& \quad - c_{4,4} (2 \rho v^2 - K_A) (c_{1,1} + c_{4,4}) + 2 c_{4,4} c_{1,2} (K_A + \rho v^2) + c_{4,4}^2 (-2 c_{1,2} + c_{1,1}) \\
& D = -\rho^3 v^6 + \rho^2 v^4 (2 c_{4,4} + c_{1,1}) + (K_A (-K_A + c_{4,4} - c_{1,1}) - K_B^2) (c_{4,4} - \rho v^2) \\
& \quad - c_{4,4} \rho v^2 (2 c_{1,1} + c_{4,4}) + c_{1,1} c_{4,4}^2
\end{aligned}$$

* nebo:

$$\begin{aligned}
& \text{material} = \text{ortotropic} \\
& \text{směr} = \phi \\
& A l z^6 + B l z^4 + C l z^2 + D = 0 \\
& A = p_4 p_5 \\
& q_1 = p_8 (p_8 + 2 p_4) \\
& q_2 = p_7 (2 p_5 + p_7) \\
& B = \sin(\phi)^2 (p_2 p_5 + p_4 p_6 - p_5 q_1) + \cos(\phi)^2 (p_5 p_6 + p_1 p_4 - p_4 q_2) - \chi^2 (p_4 + p_5 + p_4 p_5) \\
& S_4_21 = \cos(\phi)^4 p_1 + p_2 \sin(\phi)^4
\end{aligned}$$

$$\begin{aligned}
S_{.2.45} &= p_4 \sin(\phi)^2 + \cos(\phi)^2 p_5 \\
q_4 &= p_5 p_8 + p_7 p_8 + p_4 p_7 \\
q_3 &= p_1 p_2 - p_3^2 \\
S_{.2.21} &= \cos(\phi)^2 p_1 + p_2 \sin(\phi)^2 \\
C &= r_1 p_4 p_5 + p_6 r_2 + r_{sc} \sin(\phi)^2 \cos(\phi)^2 + r_3 \chi^2 \\
r_1 &= 2 \cos(\phi)^2 \sin(\phi)^2 (p_3 + 2 p_6) + S_{.4.21} - \chi^2 \\
r_2 &= S_{.4.21} - \sin(\phi)^4 q_1 + 2 \sin(\phi)^2 \cos(\phi)^2 (q_4 - p_3) - \cos(\phi)^4 q_2 - \chi^2 (1 + S_{.2.45}) \\
r_3 &= (q_1 - p_2 p_5) \sin(\phi)^2 + (q_2 - p_1 p_4) \cos(\phi)^2 - S_{.2.21} + \chi^2 (1 + p_4 + p_5) \\
r_{sc} &= q_3 - p_1 q_1 - p_2 q_2 + 2 p_3 q_4 \\
D &= r_4 + (r_5 + (S_{.2.21} + S_{.2.45} + p_6 - \chi^2) \chi^2) \chi^2 \\
r_4 &= (p_6 S_{.4.21} - \sin(\phi)^2 \cos(\phi)^2 (2 p_3 p_6 - q_3)) S_{.2.45} \\
r_5 &= \sin(\phi)^2 \cos(\phi)^2 (2 p_3 p_6 - q_3) - S_{.2.45} S_{.2.21} + p_6 (-S_{.4.21} - S_{.2.45})
\end{aligned}$$

Rovnice je řešena v matlabu numericky a s následujícími tvary koeficientů:

```

> printlevel:=2:
if material = ortotropic and smer = phi then
  A_4:=p[5]*(cos(phi)^2*(p[6]-2*p[4]*p[7])
    +sin(phi)^2*(p[2]-p[8]^2-2*p[4]*p[8])-chi^2*(1+p[4]))
    +p[4]*(cos(phi)^2*(p[1]-p[7]^2)+sin(phi)^2*p[6]-chi^2):
  a_1:=p[4]*p[5]*(cos(phi)^4*p[1]+sin(phi)^4*p[2]
    +2*sin(phi)^2*cos(phi)^2*(p[3]+2*p[6])-chi^2):
  a_2:=p[6]*p[8]*(-sin(phi)^4*(2*p[4]+p[8])
    +2*sin(phi)^2*cos(phi)^2*(p[5]+p[7])):
  a_3:=sin(phi)^2*cos(phi)^2*(2*(p[3]+p[6])*p[4]*p[7]
    +2*(p[5]+p[7])*p[3]*p[8]+p[1]*p[2]-p[1]*p[8]^2
    -2*p[3]*p[6]-p[2]*p[7]^2-p[3]^2):
  a_4:=sin(phi)^2
    *(-2*cos(phi)^2*p[7]+chi^2)*p[2]*p[5]
    -2*(cos(phi)^2*p[1]-chi^2)*p[4]*p[8]
    + sin(phi)^2*p[2]*p[6]+chi^2*(p[8]^2-p[4]*p[6]-p[2])):
  a_5:=cos(phi)^2*(-(cos(phi)^2*p[6]-chi^2)*p[7]*(p[7]+2*p[5])
    -(1+p[4])*p[1]*chi^2+p[1]*p[6]*cos(phi)^2):
  a_6:=chi^2*(-cos(phi)^2*p[5]*p[6]-p[6]+chi^2*(p[4]+p[5]+1)):
  A_2:=a_1+a_2+a_3+a_4+a_5+a_6:
  e_1:=sin(phi)^2*cos(phi)^2
    *(-2*sin(phi)^2*p[3]*p[4]*p[6]
    +(cos(phi)^2*p[6]+sin(phi)^2*p[2]-chi^2)*p[1]*p[4]
    -2*(cos(phi)^2*p[5]-chi^2)*p[3]*p[6]
    -(cos(phi)^2*p[5]+sin(phi)^2*p[4]-chi^2)*p[3]^2):
  e_2:=sin(phi)^2
    *(sin(phi)^2*(sin(phi)^2*p[4]
    +cos(phi)^2*p[5]-chi^2)*p[2]*p[6]

```

```

      +(chi^2-sin(phi)^2*p[2]-p[6])*p[4]*chi^2
      -(cos(phi)^2*(p[1]+p[5])-chi^2)*p[2]*chi^2):
e_3:=cos(phi)^2
      *(cos(phi)^2*(sin(phi)^2*p[2]+cos(phi)^2*p[6]-chi^2)*p[1]*p[5]
      +(chi^2-p[6])*p[5]*chi^2+(chi^2-cos(phi)^2*p[6])*p[1]*chi^2):
e_4:=-chi^4*(chi^2-p[6]):
A_0:=e_1+e_2+e_3+e_4:
print(simplify(C_4-A_4));
print(simplify(C_2-A_2));
print(simplify(C_0-A_0));
end if:

```

* pro ortotropní materiál a směr ϕ se zde zobrazí:

```

0
0
0

```

```

> printlevel:=1:
material:=material; smer:=smer;
if smer = phi then
  if material =ortotropic then
    for i from 1 to 10 do
      g_tmp[i]:=g[i];r_tmp[i]:=r[i];
      unassign('g[i]'): unassign('r[i]'):
    end do:
    rsc:=r[sc]: unassign('r[sc]'):
  end if:
  for i from 1 to 3 do
    for j in [1,3,5] do
      print(alpha[i,j]=alpha1[i,j]);
    end do:
  end do:
  if material =cubic then
    print('K_A'=simplify(K_a));
    print('K_B'=simplify(K_b));
    print('symetricke_a_antisymetricke_mody');
    print('A*lz^6+B*lz^4+C*lz^2+D=0');
    print('A'=K_6);
    print('B'=B);
    print('C'=C);
    print('D'=D);
  else
    print('kde');
    for i from 1 to 10 do
      print(g[i]=g_tmp[i]);
    end do:
    print('symetricke_a_antisymetricke_mody');
  end if:
end if:

```

```

print('A*lz^6+B*lz^4+C*lz^2+D=0');
print('kde');
print('A'=C_6);
print('B'=C4);
print('C'=C2);
print('D'=C0);
print('q[1]'=q1); print('q[2]'=q2); print('q[3]'=q3); print('q[4]'=q4);
for i from 1 to 5 do
    print(r[i]=r_tmp[i]);
end do:
print('r[sc]'= rsc);
print('S_2_21'=B[221]); print('S_2_45'=B[245]); print('S_4_21'=B[421]);
end if:
else
for j in [1,3,5] do
    for i from 1 to 3 do
        print(alpha[i,j]=alpha1[i,j]);
    end do:

end do:
end if:
if smer <> phi then
    if material = cubic and smer = Pi/4 then
        print(symetricke_a_antisymetricke_mody);
        print(lz^2=(-B+sqrt(B^2-4*A*C))/2/A);
        print(lz^2=(-B-sqrt(B^2-4*A*C))/2/A);
        print(kde);
        print(A=a);
        print(B=b);
        print(C=c_print);
    else
        print(symetricke_a_antisymetricke_mody);
        print(lz^2=(-B+sqrt(B^2-A))/2/d4);
        print(lz^2=(-B-sqrt(B^2-A))/2/d4);
        print(kde);
        print(A=a); print(B=b);
    end if:
    print(SH_mody);
    if material = cubic and smer = 0 then
        print(expand(isolate(Determinant(M2)=0,lz^2)));
    else
        print(isolate(Determinant(M2)=0,lz^2));
    end if:
end if:
if material=ortotropic and smer = phi then
    p[1]:=c[1,1]/c[3,3]: p[2]:=c[2,2]/c[3,3]:
    p[3]:=c[1,2]/c[3,3]: p[4]:=c[4,4]/c[3,3]:
    p[5]:=c[5,5]/c[3,3]: p[6]:=c[6,6]/c[3,3]:

```

```

p[7]:=c[1,3]/c[3,3]: p[8]:=c[2,3]/c[3,3]:
chi:=sqrt(rho*v^2/c[3,3]):
simplify(lz^6*C_6+lz^4*C_4+lz^2*C_2+C_0-det/c[3,3]^3);
end if:

```

* podle zvoleného materiálu a směru se tu zobrazí jedna z možností:

material := cubic

smer := ϕ

$$\alpha_{1,1} = 1$$

$$\alpha_{1,3} = 1$$

$$\alpha_{1,5} = 1$$

$$\alpha_{2,1} = \frac{K_B}{-lz_1^2 c_{4,4} - c_{4,4} + K_A + \rho v^2}$$

$$\alpha_{2,3} = \frac{K_B}{-lz_3^2 c_{4,4} - c_{4,4} + K_A + \rho v^2}$$

$$\alpha_{2,5} = \frac{K_B}{-lz_5^2 c_{4,4} - c_{4,4} + K_A + \rho v^2}$$

$$\alpha_{3,1} = \frac{lz_1 (c_{1,2} + c_{4,4})}{-lz_1^2 c_{1,1} - c_{4,4} + \rho v^2}$$

$$\alpha_{3,3} = \frac{lz_3 (c_{1,2} + c_{4,4})}{-lz_3^2 c_{1,1} - c_{4,4} + \rho v^2}$$

$$\alpha_{3,5} = \frac{lz_5 (c_{1,2} + c_{4,4})}{-lz_5^2 c_{1,1} - c_{4,4} + \rho v^2}$$

$$K_A = -2 (-c_{1,2} - 2c_{4,4} + c_{1,1}) \sin(\phi)^2 \cos(\phi)^2$$

$$K_B = -(2 \cos(\phi)^2 - 1) \cos(\phi) (-c_{1,2} - 2c_{4,4} + c_{1,1}) \sin(\phi)$$

symetricke_a_antisymetricke_mody

$$Alz^6 + Blz^4 + Clz^2 + D = 0$$

$$A = c_{1,1} c_{4,4}^2$$

$$B = -(-c_{4,4} (-2c_{1,2} + c_{1,1}) + \rho v^2 (2c_{1,1} + c_{4,4}) + c_{1,2}^2 - c_{1,1}^2) c_{4,4}$$

$$C = \rho^2 v^4 (2c_{4,4} + c_{1,1}) - c_{1,1} (K_B^2 + K_A^2) + (-c_{1,2}^2 + c_{1,1}^2) (-\rho v^2 - K_A + c_{4,4}) - c_{4,4} (2\rho v^2 - K_A) (c_{1,1} + c_{4,4}) + 2c_{4,4} c_{1,2} (K_A + \rho v^2) + c_{4,4}^2 (-2c_{1,2} + c_{1,1})$$

$$D = -\rho^3 v^6 + \rho^2 v^4 (2c_{4,4} + c_{1,1}) + (K_A (-K_A + c_{4,4} - c_{1,1}) - K_B^2) (c_{4,4} - \rho v^2) - c_{4,4} \rho v^2 (2c_{1,1} + c_{4,4}) + c_{1,1} c_{4,4}^2$$

* nebo:

material := cubic

smer := 0

$$\alpha_{1,1} = -lz_1 (c_{1,2} + c_{4,4})$$

$$\alpha_{2,1} = 0$$

$$\alpha_{3,1} = c_{1,1} + lz_1^2 c_{4,4} - \rho v^2$$

$$\alpha_{1,3} = -lz_3 (c_{1,2} + c_{4,4})$$

$$\alpha_{2,3} = 0$$

$$\alpha_{3,3} = c_{1,1} + lz_3^2 c_{4,4} - \rho v^2$$

$$\alpha_{1,5} = 0$$

$$\alpha_{2,5} = 1$$

$$\alpha_{3,5} = 0$$

symetricke_a_antisymetricke_mody

$$lz^2 = \frac{1}{2} \frac{-B + \sqrt{B^2 - A}}{c_{1,1} c_{4,4}}$$

$$lz^2 = \frac{1}{2} \frac{-B - \sqrt{B^2 - A}}{c_{1,1} c_{4,4}}$$

kde

$$A = 4 (-c_{4,4} + \rho v^2) (-c_{1,1} + \rho v^2) c_{1,1} c_{4,4}$$

$$B = -c_{1,1} (-c_{1,1} + \rho v^2) - c_{4,4} (-c_{4,4} + \rho v^2) - (c_{1,2} + c_{4,4})^2$$

SH_mody

$$lz^2 = -1 + \frac{\rho v^2}{c_{4,4}}$$

* nebo:

material := cubic

smer := $\frac{1}{4} \pi$

$$\alpha_{1,1} = -lz_1 (c_{1,2} + c_{4,4})$$

$$\alpha_{2,1} = 0$$

$$\alpha_{3,1} = \frac{1}{2} c_{1,1} + \frac{1}{2} c_{1,2} + c_{4,4} + lz_1^2 c_{4,4} - \rho v^2$$

$$\alpha_{1,3} = -lz_3 (c_{1,2} + c_{4,4})$$

$$\alpha_{2,3} = 0$$

$$\alpha_{3,3} = \frac{1}{2} c_{1,1} + \frac{1}{2} c_{1,2} + c_{4,4} + lz_3^2 c_{4,4} - \rho v^2$$

$$\alpha_{1,5} = 0$$

$$\alpha_{2,5} = 1$$

$$\alpha_{3,5} = 0$$

symetricke_a_antisymetricke_mody

$$lz^2 = \frac{1}{2} \frac{-B + \sqrt{B^2 - 4AC}}{A}$$

$$lz^2 = \frac{1}{2} \frac{-B - \sqrt{B^2 - 4AC}}{A}$$

kde

$$A = 2 c_{1,1} c_{4,4}$$

$$B = -2v^2 \rho (c_{4,4} + c_{1,1}) + (c_{1,2} + 2c_{4,4}) (c_{1,1} - 2c_{1,2}) + c_{1,1}^2$$

$$C (-c_{4,4} + \rho v^2) (2\rho v^2 - c_{1,1} - c_{1,2} - 2c_{4,4})$$

SH_mody

$$lz^2 = \frac{-\frac{1}{2} c_{1,1} + \frac{1}{2} c_{1,2} + \rho v^2}{c_{4,4}}$$

* nebo:

material := ortotropic

smer := ϕ

$$\alpha_{1,1} = g_8 g_1 lz_1^4 + (-g_4^2 + g_8 g_3 + g_2 g_1) lz_1^2 + g_2 g_3$$

$$\alpha_{1,3} = g_8 g_1 lz_3^4 + (-g_4^2 + g_8 g_3 + g_2 g_1) lz_3^2 + g_2 g_3$$

$$\alpha_{1,5} = g_8 g_1 lz_5^4 + (-g_4^2 + g_8 g_3 + g_2 g_1) lz_5^2 + g_2 g_3$$

$$\alpha_{2,1} = -g_8 g_5 lz_1^4 + (g_6 g_4 - g_8 g_7 - g_2 g_5) lz_1^2 - g_2 g_7$$

$$\alpha_{2,3} = -g_8 g_5 lz_3^4 + (g_6 g_4 - g_8 g_7 - g_2 g_5) lz_3^2 - g_2 g_7$$

$$\alpha_{2,5} = -g_8 g_5 lz_5^4 + (g_6 g_4 - g_8 g_7 - g_2 g_5) lz_5^2 - g_2 g_7$$

$$\alpha_{3,1} = (g_5 g_4 - g_1 g_6) lz_1^3 + (g_7 g_4 - g_3 g_6) lz_1$$

$$\alpha_{3,3} = (g_5 g_4 - g_1 g_6) lz_3^3 + (g_7 g_4 - g_3 g_6) lz_3$$

$$\alpha_{3,5} = (g_5 g_4 - g_1 g_6) lz_5^3 + (g_7 g_4 - g_3 g_6) lz_5$$

kde

$$g_1 := \cos(\phi)^2 c_{4,4} + \sin(\phi)^2 c_{5,5}$$

$$g_2 := \sin(\phi)^2 c_{4,4} + \cos(\phi)^2 c_{5,5} - \rho v^2$$

$$g_3 := \sin(\phi)^2 \cos(\phi)^2 (c_{1,1} - 2c_{1,2} - 4c_{6,6} + c_{2,2}) + c_{6,6} - \rho v^2$$

$$g_4 := \cos(\phi) \sin(\phi) (c_{2,3} - c_{1,3} + c_{4,4} - c_{5,5})$$

$$g_5 := \cos(\phi) \sin(\phi) (c_{4,4} - c_{5,5})$$

$$g_6 := \sin(\phi)^2 (c_{2,3} + c_{4,4}) + \cos(\phi)^2 (c_{1,3} - c_{5,5})$$

$$\begin{aligned}
g_7 &:= -(-\cos(\phi)^2 (-c_{1,1} + c_{1,2} + 2c_{6,6}) + \sin(\phi)^2 (c_{1,2} + 2c_{6,6} - c_{2,2})) \cos(\phi) \sin(\phi) \\
g_8 &:= c_{3,3} \\
g_9 &:= \sin(\phi)^2 c_{4,4} + \cos(\phi)^2 c_{5,5} \\
g_{10} &:= \cos(\phi)^4 c_{1,1} + c_{2,2} \sin(\phi)^4 + 2(c_{1,2} + 2c_{6,6}) \cos(\phi)^2 \sin(\phi)^2 - \rho v^2
\end{aligned}$$

symetricke_a_antisymetricke_mody

$$A l z^6 + B l z^4 + C l z^2 + D = 0$$

$$A = p_4 p_5$$

$$B = \sin(\phi)^2 (p_2 p_5 + p_4 p_6 - p_5 q_1) + \cos(\phi)^2 (p_5 p_6 + p_1 p_4 - p_4 q_2) - \chi^2 (p_4 + p_5 + p_4 p_5)$$

$$C = r_1 p_4 p_5 + p_6 r_2 + r_{sc} \sin(\phi)^2 \cos(\phi)^2 + r_3 \chi^2$$

$$D = r_4 + (r_5 + (S_2_21 + S_2_45 + p_6 - \chi^2) \chi^2) \chi^2$$

$$q_1 = p_8 (p_8 + 2p_4)$$

$$q_2 = p_7 (2p_5 + p_7)$$

$$q_3 = p_1 p_2 - p_3^2$$

$$q_4 = p_5 p_8 + p_7 p_8 + p_4 p_7$$

$$r_1 = 2 \cos(\phi)^2 \sin(\phi)^2 (p_3 + 2p_6) + S_4_21 - \chi^2$$

$$r_2 = S_4_21 - \sin(\phi)^4 q_1 + 2 \sin(\phi)^2 \cos(\phi)^2 (q_4 - p_3) - \cos(\phi)^4 q_2 - \chi^2 (1 + S_2_45)$$

$$r_3 = (q_1 - p_2 p_5) \sin(\phi)^2 + (q_2 - p_1 p_4) \cos(\phi)^2 - S_2_21 + \chi^2 (1 + p_4 + p_5)$$

$$r_4 = (p_6 S_4_21 - \sin(\phi)^2 \cos(\phi)^2 (2p_3 p_6 - q_3)) S_2_45$$

$$r_5 = \sin(\phi)^2 \cos(\phi)^2 (2p_3 p_6 - q_3) - S_2_45 S_2_21 + p_6 (-S_4_21 - S_2_45)$$

$$r_{sc} = q_3 - p_1 q_1 - p_2 q_2 + 2p_3 q_4$$

$$S_2_21 = \cos(\phi)^2 p_1 + p_2 \sin(\phi)^2$$

$$S_2_45 = p_4 \sin(\phi)^2 + \cos(\phi)^2 p_5$$

$$S_4_21 = \cos(\phi)^4 p_1 + p_2 \sin(\phi)^4$$

$$p_1 := \frac{c_{1,1}}{c_{3,3}}$$

$$p_2 := \frac{c_{2,2}}{c_{3,3}}$$

$$p_3 := \frac{c_{1,2}}{c_{3,3}}$$

$$p_4 := \frac{c_{4,4}}{c_{3,3}}$$

$$p_5 := \frac{c_{5,5}}{c_{3,3}}$$

$$p_6 := \frac{c_{6,6}}{c_{3,3}}$$

$$p_7 := \frac{c_{1,3}}{c_{3,3}}$$

$$p_8 := \frac{c_{2,3}}{c_{3,3}}$$

$$\chi := \sqrt{\frac{\rho v^2}{c_{3,3}}}$$

$$0$$

* nebo:

material := ortotropic

smer := 0

$$\alpha_{1,1} = (-c_{1,3} - c_{5,5}) l_{z1}$$

$$\alpha_{2,1} = 0$$

$$\alpha_{3,1} = c_{1,1} + l_{z1}^2 c_{5,5} - \rho v^2$$

$$\alpha_{1,3} = (-c_{1,3} - c_{5,5}) l_{z3}$$

$$\alpha_{2,3} = 0$$

$$\alpha_{3,3} = c_{1,1} + l_{z3}^2 c_{5,5} - \rho v^2$$

$$\alpha_{1,5} = 0$$

$$\alpha_{2,5} = 1$$

$$\alpha_{3,5} = 0$$

symetricke_a_antisymetricke_mody

$$l_{z^2} = \frac{1}{2} \frac{-B + \sqrt{B^2 - A}}{c_{5,5} c_{3,3}}$$

$$l_{z^2} = \frac{1}{2} \frac{-B - \sqrt{B^2 - A}}{c_{5,5} c_{3,3}}$$

kde

$$A = 4 c_{5,5} c_{3,3} (c_{1,1} - \rho v^2) (c_{5,5} - \rho v^2)$$

$$B = c_{3,3} (c_{1,1} - \rho v^2) + c_{5,5} (c_{5,5} - \rho v^2) - (c_{1,3} + c_{5,5})^2$$

SH_mody

$$l_{z^2} = \frac{-c_{6,6} + \rho v^2}{c_{4,4}}$$

* nebo:

material := ortotropic

smer := $\frac{1}{2} \pi$

$$\alpha_{1,1} = (-c_{2,3} - c_{4,4}) l_{z1}$$

$$\alpha_{2,1} = 0$$

$$\alpha_{3,1} = c_{2,2} + lz_1^2 c_{4,4} - \rho v^2$$

$$\alpha_{1,3} = (-c_{2,3} - c_{4,4}) lz_3$$

$$\alpha_{2,3} = 0$$

$$\alpha_{3,3} = c_{2,2} + lz_3^2 c_{4,4} - \rho v^2$$

$$\alpha_{1,5} = 0$$

$$\alpha_{2,5} = 1$$

$$\alpha_{3,5} = 0$$

symetricke_a_antisymetricke_mody

$$lz^2 = \frac{1}{2} \frac{-B + \sqrt{B^2 - A}}{c_{4,4} c_{3,3}}$$

$$lz^2 = \frac{1}{2} \frac{-B - \sqrt{B^2 - A}}{c_{4,4} c_{3,3}}$$

kde

$$A = 4 c_{4,4} c_{3,3} (-c_{2,2} + \rho v^2) (-c_{4,4} + \rho v^2)$$

$$B = -c_{3,3} (-c_{2,2} + \rho v^2) - c_{4,4} (-c_{4,4} + \rho v^2) - (c_{2,3} + c_{4,4})^2$$

SH_mody

$$lz^2 = \frac{-c_{6,6} + \rho v^2}{c_{5,5}}$$

3.2 dc_cubic_ortho.mw

V tomto souboru jsou odvozeny tvary disperzních vztahů, jako pro symetrické, antisymetrické a SH módy, tak pro Mindlinovy oddělené módy pro kubickou a ortotropní desku. Tento soubor je vytvořen systémem pro symbolické výpočty Maple, [14]

Pro kubickou desku a směr šíření $\phi = 0^\circ$ jsou to rovnice (1.18) a (1.22) až (1.25), pro směr šíření $\phi = 45^\circ$ rovnice (1.30) a (1.34) až (1.37) a pro obecný směr šíření rovnice (1.40), (1.41) a (1.42).

V případě ortotropní desky jsou zde odvozeny pro směr šíření $\phi = 0^\circ$ rovnice (1.47) a (1.51) až (1.52), pro směr šíření $\phi = 90^\circ$ rovnice (1.57) a (1.62) až (1.63) a pro obecný směr šíření rovnice (1.67), (1.68) a (1.69).

Odvození disperzních vztahů a mindlinových křivek pro kubický nebo ortotropní materiál ve směrech šíření (100),(110) nebo (010) a pro obecný úhel otáčení ϕ okolo osy z

vektor výchylek ve shodě s článkem ([21]) :

```
> restart;
> material:= cubic;
#material:= ortotropic;
smer:=phi;
#smer:=0; # (100)
#smer:=Pi/4; # (110) - cubic
#smer:=Pi/2; # (010) - ortotropic
```

* podle zvoleného materiálu a směru se tu zobrazí jedna z možností:

<i>material := cubic</i>	<i>material := cubic</i>	<i>material := cubic</i>
<i>smer := ϕ</i>	<i>smer := 0</i>	<i>smer := $\frac{1}{4}\pi$</i>

<i>material := ortotropic</i>	<i>material := ortotropic</i>	<i>material := ortotropic</i>
<i>smer := ϕ</i>	<i>smer := 0</i>	<i>smer := $\frac{1}{2}\pi$</i>

```
> with(LinearAlgebra):
u := array(1..3):
for j to 3 do
  u[j] := sum(C[n]*alpha[j,n]*exp(I*k*(x[1]+lz[n]*x[3])),n=1..6)
end do:
```

substituce lz

```
> u[1] := subs({lz[2]=-lz[1], lz[4]=-lz[3], lz[6]=-lz[5]},u[1]):
u[2] := subs({lz[2]=-lz[1], lz[4]=-lz[3], lz[6]=-lz[5]},u[2]):
u[3] := subs({lz[2]=-lz[1], lz[4]=-lz[3], lz[6]=-lz[5]},u[3]):
```

substituce alpha

```
> for j to 3 do
  if smer = phi then
    if material = cubic then
      u[j] := subs({alpha[1,1]=1, alpha[1,3]=1, alpha[1,5]=1,
                  alpha[1,2]=1, alpha[1,4]=1, alpha[1,6]=1},u[j]):
    else
      u[j] := subs({alpha[1,2]= alpha[1,1], alpha[1,4]= alpha[1,3],
                  alpha[1,6]= alpha[1,5]},u[j]):
    end if;
  u[j] := subs({alpha[2,2]= alpha[2,1], alpha[2,4]= alpha[2,3],
              alpha[2,6]= alpha[2,5], alpha[3,2]=-alpha[3,1],
              alpha[3,4]=-alpha[3,3], alpha[3,6]=-alpha[3,5]},u[j]):
else
```

```

u[j] := subs({alpha[1,2]==-alpha[1,1], alpha[1,4]==-alpha[1,3],
             alpha[3,2]==alpha[3,1], alpha[3,4]==alpha[3,3],
             alpha[1,5]=0, alpha[1,6]=0, alpha[2,1]=0,
             alpha[2,2]=0, alpha[2,3]=0, alpha[2,4]=0,
             alpha[2,5]=1, alpha[2,6]=1, alpha[3,5]=0,
             alpha[3,6]=0},u[j]):
end if:
end do:
> printlevel := 2:

```

tenzor deformací

```

> SV := array(1..3,1..3):
for j to 3 do
  for l to 3 do
    SV[j,l] := 1/2*(diff(u[j],x[l])+diff(u[l],x[j]))
  end do
end do:

```

zkrácený zápis

```

> S := <SV[1,1], SV[2,2], SV[3,3], 2*SV[2,3], 2*SV[1,3], 2*SV[1,2]>:

```

tenzor elastických konstant

```

> if material = cubic then
  dd := <<c[1,1], c[1,2], c[1,2],      0,      0,      0>|
        <c[1,2], c[1,1], c[1,2],      0,      0,      0>|
        <c[1,2], c[1,2], c[1,1],      0,      0,      0>|
        <  0,      0,      0, c[4,4],      0,      0>|
        <  0,      0,      0,      0, c[4,4],      0>|
        <  0,      0,      0,      0,      0, c[4,4]>>:
else
  dd := <<c[1,1], c[1,2], c[1,3],      0,      0,      0>|
        <c[1,2], c[2,2], c[2,3],      0,      0,      0>|
        <c[1,3], c[2,3], c[3,3],      0,      0,      0>|
        <  0,      0,      0, c[4,4],      0,      0>|
        <  0,      0,      0,      0, c[5,5],      0>|
        <  0,      0,      0,      0,      0, c[6,6]>>:
end if:

```

Matice transformace soustavy souřadnic dle [2] (str. 294 - šestirozměrný prostor).

```

> bLU := Transpose(<<b[1,1]^2, b[1,2]^2, b[1,3]^2>|
                  <b[2,1]^2, b[2,2]^2, b[2,3]^2>|
                  <b[3,1]^2, b[3,2]^2, b[3,3]^2>>):
bRU := 2*Transpose(<<b[1,2]*b[1,3], b[1,3]*b[1,1], b[1,1]*b[1,2]>|
                  <b[2,2]*b[2,3], b[2,3]*b[2,1], b[2,1]*b[2,2]>|

```

```

      <b[3,2]*b[3,3], b[3,3]*b[3,1], b[3,1]*b[3,2]>>):
bLB := Transpose(<<b[2,1]*b[3,1], b[2,2]*b[3,2], b[2,3]*b[3,3]>|
      <b[3,1]*b[1,1], b[3,2]*b[1,2], b[3,3]*b[1,3]>|
      <b[1,1]*b[2,1], b[1,2]*b[2,2], b[1,3]*b[2,3]>>):
bRB := Transpose(
      <<b[2,2]*b[3,3]+b[2,3]*b[3,2], b[2,1]*b[3,3]+b[2,3]*b[3,1],
      b[2,2]*b[3,1]+b[2,1]*b[3,2]>|
      <b[1,2]*b[3,3]+b[1,3]*b[3,2], b[1,3]*b[3,1]+b[1,1]*b[3,3],
      b[1,1]*b[3,2]+b[3,1]*b[1,2]>|
      <b[1,2]*b[2,3]+b[1,3]*b[2,2], b[1,3]*b[2,1]+b[1,1]*b[2,3],
      b[1,1]*b[2,2]+b[1,2]*b[2,1]>>):
bb := <<bLU, bLB>|<bRU, bRB>>:

```

Rotace okolo osy z.

```

> b := <<cos(f), -sin(f), 0>|
      <sin(f), cos(f), 0>|
      < 0, 0, 1>>:

```

rotovaná matice

```

> d_rot := Multiply(Multiply(bb,dd),Transpose(bb)):
d_rot := Map(simplify,d_rot): f:=smer:

```

tensor napětí $T_{[xx,yy,zz,yz,xz,xy]}$

```

> T := d_rot.S:

```

Mindlinovy křivky

První z dvojice Mindlinových podmínek. **Namazané tuhé poloprostory.** $T_{xz} = u_z = 0$
okrajové podmínky ($T[5](T_{xz}) = u[3](u_z) = 0$ pro $x[3](z) = \pm d$)

```

> RN[1] := subs(x[3]= d, T[5]):
RN[2] := subs(x[3]=-d, T[5]):
RN[3] := subs(x[3]= d, u[3]):
RN[4] := subs(x[3]=-d, u[3]):

```

pro obecný směr šíření doplněná o $T_{yz} = 0$

```

> if smer = phi then
  RN[5] := subs(x[3]= d, T[4]):
  RN[6] := subs(x[3]=-d, T[4]):
  ZN := Matrix(6):
  for j to 6 do
    for l to 6 do
      tmp := subs(C[1]=1,RN[j]);
      ZN[j,l] := subs({C[1]=0, C[2]=0, C[3]=0, C[4]=0, C[5]=0, C[6]=0},tmp);
    end do
  end do
else

```

```

ZN := Matrix(4):
for j to 4 do
  for l to 4 do
    tmp := subs(C[1]=1,RN[j]);
    ZN[j,1] := subs({C[1]=0, C[2]=0, C[3]=0, C[4]=0},tmp);
  end do
end do:
end if:
> ZN:= subs(x[1]=0,ZN):#ZN:= simplify(ZN/exp(I*k*x[1])):
dc1:=Determinant(ZN):

```

Druhá z dvojice Mindlinových podmínek. **Makroskopické řetízky**. $T_{zz} = u_x = 0$
okrajové podmínky ($T[3](T_{zz}) = u[1](u_x) = 0$ pro $x[3](z) = \pm d$)

```

> RR[1] := subs(x[3]= d, T[3]):
RR[2] := subs(x[3]=-d, T[3]):
RR[3] := subs(x[3]= d, u[1]):
RR[4] := subs(x[3]=-d, u[1]):

```

pro obecný směr šíření doplněná o $u_y = 0$

```

> if smer = phi then
RR[5] := subs(x[3]= d, u[2]):
RR[6] := subs(x[3]=-d, u[2]):
ZZ := Matrix(6):
for j to 6 do
  for l to 6 do
    tmp := subs(C[1]=1,RR[j]);
    ZZ[j,1] := subs({C[1]=0, C[2]=0, C[3]=0, C[4]=0, C[5]=0, C[6]=0},tmp);
  end do
end do;
else
ZZ := Matrix(4):
for j to 4 do
  for l to 4 do
    tmp := subs(C[1]=1,RR[j]);
    ZZ[j,1] := subs({C[1]=0, C[2]=0, C[3]=0, C[4]=0},tmp);
  end do
end do:
end if:
> ZZ:= subs(x[1]=0,ZZ):#ZZ:= simplify(ZZS/exp(I*k*x[1])):
dc2:=Determinant(ZZ):

```

Disperzní vztahy pro "Namazané tuhé poloprostory".

```

> material; smer;
dc1:=evalc(factor(dc1)):
dc1:=convert(dc1,sin):
d_m[1]:=isolate(dc1,sin(2*lz[1]*k*d));
d_m[2]:=isolate(dc1,sin(2*lz[3]*k*d));
if smer = phi then d_m[3]:=isolate(dc1,sin(2*lz[5]*k*d)); end if;

```

* podle zvoleného směru se tu zobrazí jedna z možností:

<p><i>cubic</i></p> ϕ $d_{m_1} := \sin(2 k l z_1 d) = 0$ $d_{m_2} := \sin(2 k l z_3 d) = 0$ $d_{m_3} := \sin(2 k l z_5 d) = 0$	<p><i>cubic</i></p> 0 $d_{m_1} := \sin(2 k l z_1 d) = 0$ $d_{m_2} := \sin(2 k l z_3 d) = 0$	<p><i>cubic</i></p> $\frac{1}{4} \pi$ $d_{m_1} := \sin(2 k l z_1 d) = 0$ $d_{m_2} := \sin(2 k l z_3 d) = 0$
<p><i>ortotropic</i></p> ϕ $d_{m_1} := \sin(2 k l z_1 d) = 0$ $d_{m_2} := \sin(2 k l z_3 d) = 0$ $d_{m_3} := \sin(2 k l z_5 d) = 0$	<p><i>ortotropic</i></p> 0 $d_{m_1} := \sin(2 k l z_1 d) = 0$ $d_{m_2} := \sin(2 k l z_3 d) = 0$	<p><i>ortotropic</i></p> $\frac{1}{2} \pi$ $d_{m_1} := \sin(2 k l z_1 d) = 0$ $d_{m_2} := \sin(2 k l z_3 d) = 0$

Disperzní vztahy pro "Makroskopické řetízky".

```
> dc2:=evalc(factor(dc2)):
dc2:=convert(dc2,sin):
isolate(dc2,sin(2*lz[1]*k*d));
isolate(dc2,sin(2*lz[3]*k*d));
if smer = phi then isolate(dc2,sin(2*lz[5]*k*d)); end if;
```

* podle zvoleného směru se tu zobrazí jedna z možností:

$\sin(2 k l z_1 d) = 0$ $\sin(2 k l z_3 d) = 0$ $\sin(2 k l z_5 d) = 0$	$\sin(2 k l z_1 d) = 0$ $\sin(2 k l z_3 d) = 0$	$\sin(2 k l z_1 d) = 0$ $\sin(2 k l z_3 d) = 0$
---	---	---

Disperzní vztahy

okrajové podmínky ($T[5](T_{xz}) = T[4](yz) = T[3](T_{xx}) = 0$ pro $x[3](z) = \pm d$,
 $d \dots 1/2$ tloušťky desky)

```
> RD[1] := subs(x[3]= d, T[5]):
RD[2] := subs(x[3]=-d, T[5]):
RD[3] := subs(x[3]= d, T[4]):
RD[4] := subs(x[3]=-d, T[4]):
RD[5] := subs(x[3]= d, T[3]):
RD[6] := subs(x[3]=-d, T[3]):
> Z := Matrix(6):
for j to 6 do
  for l to 6 do
    tmp := subs(C[1]=1,RD[j]);
    Z[j,1] := subs({C[1]=0, C[2]=0, C[3]=0, C[4]=0, C[5]=0, C[6]=0},tmp);
  end do
end do:
Z:= simplify(Z/exp(I*k*x[1])): Z:=simplify(Z/I/k):
```

Disperzní vztahy pro směry (100) a (110) nebo (010)

Rozklad na dvě submatice

```
> if smer <> phi then
  Z1 :=SubMatrix(Z,[1,2,5,6],[1,2,3,4]):
  Z2 :=SubMatrix(Z,[3,4],[5,6]): Z2:=simplify(Z2/c[4,4]): end if:
```

1. subdeterminant → symetrické a antisymetrické módy

```
> if smer <> phi then
  dc1:=Determinant(Z1): dc1:=factor(dc1): nz:=nops(dc1):
  leva:=op(nz-1,dc1): leva:=factor(expand(evalc(leva))):
  prava:=op(nz,dc1): prava:=factor(expand(evalc(prava))): end if:
```

Disperzní vztahy pro symetrické a antisymetrické módy lze psát ve tvaru:

```
> if smer <> phi then
  dc_1:=sort(simplify(leva/4/I,size)):
  dc_1:=isolate(dc_1,sin(lz[1]*k*d))*cos(lz[3]*k*d)
      /(cos(lz[1]*k*d)*sin(lz[3]*k*d)):
  dc_1:=convert(dc_1,tan);
  print(material); print(smer);
  dc_2:=sort(simplify(prava/4/I,size)):
  dc_2:=isolate(dc_2,sin(lz[1]*k*d))*cos(lz[3]*k*d)
      /(cos(lz[1]*k*d)*sin(lz[3]*k*d)):
  dc_2:=convert(dc_2,tan);
  if has(numer(rhs(dc_1)),alpha[1, 1]*lz[1] )then
    d_s:=dc_2; d_a:= dc_1;
  else
    d_s:=dc_1; d_a:= dc_2;
  end if;
  print(d_s); print(d_a);
end if:
```

* podle zvoleného směru (pro 0 a $\frac{1}{4}\pi$ resp. $\frac{1}{2}\pi$) se tu zobrazí jedna z možností:

cubic

0

$$\frac{\tan(k l z_1 d)}{\tan(k l z_3 d)} = \frac{(\alpha_{1,3} l z_3 + \alpha_{3,3})(l z_1 \alpha_{3,1} c_{1,1} + \alpha_{1,1} c_{1,2})}{(l z_3 \alpha_{3,3} c_{1,1} + \alpha_{1,3} c_{1,2})(\alpha_{1,1} l z_1 + \alpha_{3,1})}$$

$$\frac{\tan(k l z_1 d)}{\tan(k l z_3 d)} = \frac{(l z_3 \alpha_{3,3} c_{1,1} + \alpha_{1,3} c_{1,2})(\alpha_{1,1} l z_1 + \alpha_{3,1})}{(\alpha_{1,3} l z_3 + \alpha_{3,3})(l z_1 \alpha_{3,1} c_{1,1} + \alpha_{1,1} c_{1,2})}$$

cubic

$\frac{1}{4}\pi$

$$\frac{\tan(k l z_1 d)}{\tan(k l z_3 d)} = \frac{(l z_1 \alpha_{3,1} c_{1,1} + \alpha_{1,1} c_{1,2})(\alpha_{1,3} l z_3 + \alpha_{3,3})}{(\alpha_{1,1} l z_1 + \alpha_{3,1})(l z_3 \alpha_{3,3} c_{1,1} + \alpha_{1,3} c_{1,2})}$$

$$\frac{\tan(k l z_1 d)}{\tan(k l z_3 d)} = \frac{(\alpha_{1,1} l z_1 + \alpha_{3,1})(l z_3 \alpha_{3,3} c_{1,1} + \alpha_{1,3} c_{1,2})}{(l z_1 \alpha_{3,1} c_{1,1} + \alpha_{1,1} c_{1,2})(\alpha_{1,3} l z_3 + \alpha_{3,3})}$$

ortotropic

0

$$\frac{\tan(k l z_1 d)}{\tan(k l z_3 d)} = \frac{(\alpha_{1,3} l z_3 + \alpha_{3,3}) (l z_1 \alpha_{3,1} c_{3,3} + \alpha_{1,1} c_{1,3})}{(l z_3 \alpha_{3,3} c_{3,3} + \alpha_{1,3} c_{1,3}) (\alpha_{1,1} l z_1 + \alpha_{3,1})}$$
$$\frac{\tan(k l z_1 d)}{\tan(k l z_3 d)} = \frac{(l z_3 \alpha_{3,3} c_{3,3} + \alpha_{1,3} c_{1,3}) (\alpha_{1,1} l z_1 + \alpha_{3,1})}{(\alpha_{1,3} l z_3 + \alpha_{3,3}) (l z_1 \alpha_{3,1} c_{3,3} + \alpha_{1,1} c_{1,3})}$$

* nebo:

ortotropic

$\frac{1}{2} \pi$

$$\frac{\tan(k l z_1 d)}{\tan(k l z_3 d)} = \frac{(\alpha_{1,3} l z_3 + \alpha_{3,3}) (l z_1 \alpha_{3,1} c_{3,3} + \alpha_{1,1} c_{2,3})}{(l z_3 \alpha_{3,3} c_{3,3} + \alpha_{1,3} c_{2,3}) (\alpha_{1,1} l z_1 + \alpha_{3,1})}$$
$$\frac{\tan(k l z_1 d)}{\tan(k l z_3 d)} = \frac{(l z_3 \alpha_{3,3} c_{3,3} + \alpha_{1,3} c_{2,3}) (\alpha_{1,1} l z_1 + \alpha_{3,1})}{(\alpha_{1,3} l z_3 + \alpha_{3,3}) (l z_1 \alpha_{3,1} c_{3,3} + \alpha_{1,1} c_{2,3})}$$

2. subdeterminant \rightarrow SH módy

Disperzní vztahy pro SH módy lze psát ve tvaru:

```
> if smer <> phi then
dc2:= Determinant(Z2): dc_3:=-evalc(dc2):
dc_3:=combine(dc_3,trig): d_SH:=isolate(dc_3,sin);
print(d_SH); end if;
```

* pro směry šíření 0 a $\frac{1}{4} \pi$ resp. $\frac{1}{2} \pi$ se tu zobrazí:

$$\sin(2 k l z_5 d) = 0$$

Disperzní vztahy pro obecný úhel šíření ϕ

```
> if smer = phi then
Z:=subs(exp( I*k*lz[1]*d)=Sigma[1],Z):
Z:=subs(exp(-I*k*lz[1]*d)=Sigma[2],Z):
Z:=subs(exp( I*k*lz[3]*d)=Sigma[3],Z):
Z:=subs(exp(-I*k*lz[3]*d)=Sigma[4],Z):
Z:=subs(exp( I*k*lz[5]*d)=Sigma[5],Z):
Z:=subs(exp(-I*k*lz[5]*d)=Sigma[6],Z):
if material = cubic then
nu[1]:=remove(has,Z[1,1],{Sigma,c}): Z:=subs(nu[1]=Lambda[1],Z):
nu[2]:=remove(has,Z[1,3],{Sigma,c}): Z:=subs(nu[2]=Lambda[2],Z):
nu[3]:=remove(has,Z[1,5],{Sigma,c}): Z:=subs(nu[3]=Lambda[3],Z):
nu[4]:=remove(has,Z[5,1],Sigma): Z:=subs(nu[4]=Lambda[4],Z):
nu[5]:=remove(has,Z[5,2],Sigma): Z:=subs(nu[5]=Lambda[5],Z):
nu[6]:=remove(has,Z[5,3],Sigma): Z:=subs(nu[6]=Lambda[6],Z):
```

```

nu[7]:=remove(has,Z[5,4],Sigma):      Z:=subs(nu[7]=Lambda[7],Z):
nu[8]:=remove(has,Z[5,5],Sigma):      Z:=subs(nu[8]=Lambda[8],Z):
nu[9]:=remove(has,Z[5,6],Sigma):      Z:=subs(nu[9]=Lambda[9],Z):
dZ:= factor(Determinant(Z)/c[4,4]^4): np:=nops(dZ):
else
A:=NULL: for i in op(Z[1,1]) do
  if has(i, Sigma) then else A:=A, i; end if end do:
nu[1]:=op(-1,[A]): Z:=subs(nu[1]=Lambda[1],Z):
A:=NULL: for i in op(Z[1,3]) do
  if has(i, Sigma) then else A:=A, i; end if end do:
nu[2]:=op(-1,[A]): Z:=subs(nu[2]=Lambda[2],Z):
A:=NULL: for i in op(Z[1,5]) do
  if has(i, Sigma) then else A:=A, i; end if end do:
nu[3]:=op(-1,[A]): Z:=subs(nu[3]=Lambda[3],Z):
A:=NULL: for i in op(Z[3,1]) do
  if has(i, Sigma) then else A:=A, i; end if end do:
nu[4]:=op(-1,[A]): Z:=subs(nu[4]=Lambda[4],Z):
A:=NULL: for i in op(Z[3,3]) do
  if has(i, Sigma) then else A:=A, i; end if end do:
nu[5]:=op(-1,[A]): Z:=subs(nu[5]=Lambda[5],Z):
A:=NULL: for i in op(Z[3,5]) do
  if has(i, Sigma) then else A:=A, i; end if end do:
nu[6]:=op(-1,[A]): Z:=subs(nu[6]=Lambda[6],Z):
A:=NULL: for i in op(Z[5,1]) do
  if has(i, Sigma) then else A:=A, i; end if end do:
nu[7]:=op(-1,[A]): Z:=subs(nu[7]=Lambda[7],Z):
A:=NULL: for i in op(Z[5,3]) do
  if has(i, Sigma) then else A:=A, i; end if end do:
nu[8]:=op(-1,[A]): Z:=subs(nu[8]=Lambda[8],Z):
A:=NULL: for i in op(Z[5,5]) do
  if has(i, Sigma) then else A:=A, i; end if end do:
nu[9]:=op(-1,[A]): Z:=subs(nu[9]=Lambda[9],Z):
dZ:= factor(Determinant(Z)): np:=nops(dZ):
end if;
Sigma[1]:=exp(I*lz[1]*k*d): Sigma[2]:=exp(-I*lz[1]*k*d):
Sigma[3]:=exp(I*lz[3]*k*d): Sigma[4]:=exp(-I*lz[3]*k*d):
Sigma[5]:=exp(I*lz[5]*k*d): Sigma[6]:=exp(-I*lz[5]*k*d):
LP:=op(np-1,dZ): LP:=simplify(evalc(LP))/8;
RP:=op(np,dZ): RP:=simplify(evalc(RP))/8;
end if:
> if smer = phi then
  unprotect(csc):
  scc:=sin(lz[1]*k*d)*cos(lz[3]*k*d)*cos(lz[5]*k*d):
  csc:=cos(lz[1]*k*d)*sin(lz[3]*k*d)*cos(lz[5]*k*d):
  ccs:=cos(lz[1]*k*d)*cos(lz[3]*k*d)*sin(lz[5]*k*d):
  css:=cos(lz[1]*k*d)*sin(lz[3]*k*d)*sin(lz[5]*k*d):
  scs:=sin(lz[1]*k*d)*cos(lz[3]*k*d)*sin(lz[5]*k*d):
  ssc:=sin(lz[1]*k*d)*sin(lz[3]*k*d)*cos(lz[5]*k*d):

```

```

sss:=sin(lz[1]*k*d)*sin(lz[3]*k*d)*sin(lz[5]*k*d):
ccc:=cos(lz[1]*k*d)*cos(lz[3]*k*d)*cos(lz[5]*k*d):
if has(LP,I)then
  dc_a:=remove(has, LP, I): dc_s:=RP:
else
  dc_a:=remove(has, RP, I): dc_s:=LP:
end if:
d_s[1]:=factor(select(has, dc_s, cos(k*lz[1]*d)));
d_s[2]:=factor(select(has, dc_s, cos(k*lz[3]*d)));
d_s[3]:=factor(select(has, dc_s, cos(k*lz[5]*d)));
d_a[1]:=factor(select(has, dc_a, sin(k*lz[1]*d)));
d_a[2]:=factor(select(has, dc_a, sin(k*lz[3]*d)));
d_a[3]:=factor(select(has, dc_a, sin(k*lz[5]*d)));
unassign('A'):
dc_s:=C[A]*css+C[B]*scs+C[C]*ssc;
dc_a:=C[A]*scc+C[B]*csc+C[C]*ccs;
dc_s:=expand(dc_s/sss): dc_s:=convert(dc_s,tan): dc_s:=convert(dc_s,cot)=0;
dc_a:=expand(dc_a/ccc): dc_a:=convert(dc_a,tan)=0;
end if:
> if smer = phi then
  if material = cubic then
    for i to 9 do
      Lambda[i]:=nu[i];
    end do:
  else
    a[1]:=factor(select(has,nu[1],alpha[2,1])):
    a[2]:=remove(has,nu[1],alpha[2,1]):
    a[3]:=simplify(select(has,a[2],c[4,4])):
    a[2]:=factor(remove(has,a[2],c[4,4])):
    nu[1]:=a[1]+factor(a[2]+a[3]);
    a[1]:=factor(select(has,nu[2],alpha[2,3])):
    a[2]:=remove(has,nu[2],alpha[2,3]):
    a[3]:=simplify(select(has,a[2],c[4,4])):
    a[2]:=factor(remove(has,a[2],c[4,4])):
    nu[2]:=a[1]+factor(a[2]+a[3]);
    a[1]:=factor(select(has,nu[3],alpha[2,5])):
    a[2]:=remove(has,nu[3],alpha[2,5]):
    a[3]:=simplify(select(has,a[2],c[4,4])):
    a[2]:=factor(remove(has,a[2],c[4,4])):
    nu[3]:=a[1]+factor(a[2]+a[3]);
    a[1]:=select(has,nu[4],alpha[2,1]):
    a[2]:=remove(has,nu[4],alpha[2,1]):
    a[3]:=select(has,a[1],c[4,4]):
    a[1]:=simplify(remove(has,a[1],c[4,4])):
    a[4]:=factor(select(has,a[2],c[4,4])):
    a[2]:=simplify(remove(has,a[2],c[4,4])):
    nu[4]:=factor(a[1]+a[3])+factor(a[2]+a[4]);
    a[1]:=select(has,nu[5],alpha[2,3]):

```

```

a[2]:=remove(has,nu[5],alpha[2,3]):
a[3]:=select(has,a[1],c[4,4]):
a[1]:=simplify(remove(has,a[1],c[4,4])):;
a[4]:=factor(select(has,a[2],c[4,4])):
a[2]:=simplify(remove(has,a[2],c[4,4])):
nu[5]:=factor(a[1]+a[3])+factor(a[2]+a[4]):
a[1]:=select(has,nu[6],alpha[2,5]):
a[2]:=remove(has,nu[6],alpha[2,5]):
a[3]:=select(has,a[1],c[4,4]):
a[1]:=simplify(remove(has,a[1],c[4,4])):;
a[4]:=factor(select(has,a[2],c[4,4])):
a[2]:=simplify(remove(has,a[2],c[4,4])):
nu[6]:=factor(a[1]+a[3])+factor(a[2]+a[4]):
a[1]:=factor(select(has,nu[7],alpha[2,1])):
a[2]:=remove(has,nu[7],alpha[2,1]):
a[3]:=simplify(select(has,a[2],c[1,3])):
a[4]:=simplify(select(has,a[2],c[2,3])):
a[2]:=simplify(select(has,a[2],c[3,3])):
nu[7]:=a[1]+factor(a[3]+a[4])+a[2]:
a[1]:=factor(select(has,nu[8],alpha[2,3])):
a[2]:=remove(has,nu[8],alpha[2,3]):
a[3]:=simplify(select(has,a[2],c[1,3])):
a[4]:=simplify(select(has,a[2],c[2,3])):
a[2]:=simplify(select(has,a[2],c[3,3])):
nu[8]:=a[1]+factor(a[3]+a[4])+a[2]:
a[1]:=factor(select(has,nu[9],alpha[2,5])):
a[2]:=remove(has,nu[9],alpha[2,5]):
a[3]:=simplify(select(has,a[2],c[1,3])):
a[4]:=simplify(select(has,a[2],c[2,3])):
a[2]:=simplify(select(has,a[2],c[3,3])):
nu[9]:=a[1]+factor(a[3]+a[4])+a[2]:
C_A:=d_a[1]/scc; #CA:=d_s[1]/css;
C_B:=d_a[2]/csc; #CB:=d_s[2]/scs;
C_C:=d_a[3]/ccs; #CC:=d_s[3]/ssc;
unprotect(D);
for j from 1 to 9 do Lambda[j]:=nu[j] end do;
j:=0:for i in [1,3,5] do j:=j+1:
eq[j] :=alpha[1,i]*lz[i]+alpha[3,i]=D[1,i]:
eq[j+3] :=alpha[2,i]=D[2,i]/lz[i]:
eq[j+6] :=alpha[3,i]*lz[i]*c[3,3]=D[3,i]-alpha[1,i]*c[2,3]:
eq[j+9] :=alpha[1,i]=E[1,i]/cos(f):
eq[j+12]:=alpha[2,i]=E[2,i]/sin(f):
end do:
a1:=simplify(eval((C_A/Lambda[7]), [eq[2],eq[3],eq[5],eq[6]]));
a2:=collect(eval(eval(simplify(Lambda[7]), [eq[7],eq[13]]),eq[10]),cos);
b1:=simplify(eval((C_B/Lambda[8]), [eq[1],eq[3],eq[4],eq[6]]));
b2:=collect(eval(eval(simplify(Lambda[8]), [eq[8],eq[14]]),eq[11]),cos);
c1:=simplify(eval((C_C/Lambda[9]), [eq[1],eq[2],eq[4],eq[5]]));

```

```

        c2:=collect(eval(eval(simplify(Lambda[9]),[eq[9],eq[15]]),eq[12]),cos);
    end if;
end if;
> print('material'); material;
print(směr_šíření); smer;
print(Mindlinovy_křivky); d_m[1]; d_m[2];
if smer =phi then d_m[3]; else
print(SH_mody); d_SH;
end if;
print(symetrické_mody); dc_s;
print(antisymetrické_mody); dc_a;
if smer =phi then print(kde);
    if material = cubic then
        C[A]:=d_a[1]/scc; #CA:=d_s[1]/css;
        C[B]:=d_a[2]/csc; #CB:=d_s[2]/scs;
        C[C]:=d_a[3]/ccs; #CC:=d_s[3]/ssc;
    else
        C[A]=a1*(factor(op(1,a2))+op(2,a2));
        C[B]=b1*(factor(op(1,b2))+op(2,b2));
        C[C]=c1*(factor(op(1,c2))+op(2,c2));
        for j from 1 to 9 do print(isolate(eq[j],D)) end do;
        for j from 10 to 15 do print(isolate(eq[j],E)) end do;
    end if;
end if;

```

* podle zvoleného materiálu a směru se tu zobrazí jedna z následujících možností:

material

cubic

směr_šíření

ϕ

Mindlinovy_křivky

$$\sin(2k lz_1 d) = 0$$

$$\sin(2k lz_3 d) = 0$$

$$\sin(2k lz_5 d) = 0$$

symetrické_mody

$$C_A \cot(k lz_1 d) + C_B \cot(k lz_3 d) + C_C \cot(k lz_5 d) = 0$$

antisymetrické_mody

$$C_A \tan(k lz_1 d) + C_B \tan(k lz_3 d) + C_C \tan(k lz_5 d) = 0$$

kde

$$C_A = (c_{1,2} + c_{1,1} \alpha_{3,1} lz_1) (-\alpha_{2,5} (lz_3 + \alpha_{3,3}) lz_5 + (lz_5 + \alpha_{3,5}) lz_3 \alpha_{2,3})$$

$$C_B = -(c_{1,2} + c_{1,1} \alpha_{3,3} lz_3) (-\alpha_{2,5} (lz_1 + \alpha_{3,1}) lz_5 + (lz_5 + \alpha_{3,5}) lz_1 \alpha_{2,1})$$

$$C_C = (c_{1,2} + c_{1,1} \alpha_{3,5} lz_5) ((lz_3 + \alpha_{3,3}) \alpha_{2,1} lz_1 + (lz_1 + \alpha_{3,1}) lz_3 \alpha_{2,3})$$

* nebo

material

cubic

směr_šíření

0

Mindlinovy_křivky

$$\sin(2k lz_1 d) = 0$$

$$\sin(2k lz_3 d) = 0$$

SH_mody

$$\sin(2k lz_5 d) = 0$$

symetrické_mody

$$\frac{\tan(k lz_1 d)}{\tan(k lz_3 d)} = \frac{(\alpha_{1,3} lz_3 + \alpha_{3,3})(lz_1 \alpha_{3,1} c_{1,1} + \alpha_{1,1} c_{1,2})}{(lz_3 \alpha_{3,3} c_{1,1} + \alpha_{1,3} c_{1,2})(\alpha_{1,1} lz_1 + \alpha_{3,1})}$$

antisymetrické_mody

$$\frac{\tan(k lz_1 d)}{\tan(k lz_3 d)} = \frac{(lz_3 \alpha_{3,3} c_{1,1} + \alpha_{1,3} c_{1,2})(\alpha_{1,1} lz_1 + \alpha_{3,1})}{(\alpha_{1,3} lz_3 + \alpha_{3,3})(lz_1 \alpha_{3,1} c_{1,1} + \alpha_{1,1} c_{1,2})}$$

* nebo

material

cubic

směr_šíření

$\frac{1}{4} \pi$

Mindlinovy_křivky

$$\sin(2k lz_1 d) = 0$$

$$\sin(2k lz_3 d) = 0$$

SH_mody

$$\sin(2k lz_5 d) = 0$$

symetrické_mody

$$\frac{\tan(k lz_1 d)}{\tan(k lz_3 d)} = \frac{(lz_1 \alpha_{3,1} c_{1,1} + \alpha_{1,1} c_{1,2})(\alpha_{1,3} lz_3 + \alpha_{3,3})}{(\alpha_{1,1} lz_1 + \alpha_{3,1})(lz_3 \alpha_{3,3} c_{1,1} + \alpha_{1,3} c_{1,2})}$$

antisymetrické_mody

$$\frac{\tan(k lz_1 d)}{\tan(k lz_3 d)} = \frac{(\alpha_{1,1} lz_1 + \alpha_{3,1})(lz_3 \alpha_{3,3} c_{1,1} + \alpha_{1,3} c_{1,2})}{(lz_1 \alpha_{3,1} c_{1,1} + \alpha_{1,1} c_{1,2})(\alpha_{1,3} lz_3 + \alpha_{3,3})}$$

* nebo

material

ortotropic

směr_šíření

ϕ

Mindlinovy_křivky

$$\sin(2k lz_1 d) = 0$$

$$\sin(2k lz_3 d) = 0$$

$$\sin(2k lz_5 d) = 0$$

symetrické_mody

$$C_A \cot(k lz_1 d) + C_B \cot(k lz_3 d) + C_C \cot(k lz_5 d) = 0$$

antisymetrické_mody

$$C_A \tan(k lz_1 d) + C_B \tan(k lz_3 d) + C_C \tan(k lz_5 d) = 0$$

kde

$$C_A = -c_{4,4} c_{5,5} (-D_{2,3} D_{1,5} + D_{2,5} D_{1,3}) ((E_{1,1} - E_{2,1}) (c_{1,3} - c_{2,3}) \cos(\phi) + D_{3,1})$$

$$C_B = -c_{4,4} c_{5,5} (D_{2,1} D_{1,5} - D_{2,5} D_{1,1}) (-(E_{1,3} - E_{2,3}) (-c_{1,3} + c_{2,3}) \cos(\phi) + D_{3,3})$$

$$C_C = c_{4,4} c_{5,5} (D_{2,1} D_{1,3} - D_{2,3} D_{1,1}) (-(-E_{1,5} + E_{2,5}) (c_{1,3} - c_{2,3}) \cos(\phi) + D_{3,5})$$

$$D_{1,1} = \alpha_{1,1} lz_1 + \alpha_{3,1}$$

$$D_{1,3} = \alpha_{1,3} lz_3 + \alpha_{3,3}$$

$$D_{1,5} = \alpha_{1,5} lz_5 + \alpha_{3,5}$$

$$D_{2,1} = \alpha_{2,1} lz_1$$

$$D_{2,3} = \alpha_{2,3} lz_3$$

$$D_{2,5} = \alpha_{2,5} lz_5$$

$$D_{3,1} = \alpha_{1,1} c_{2,3} + c_{3,3} \alpha_{3,1} lz_1$$

$$D_{3,3} = \alpha_{1,3} c_{2,3} + c_{3,3} \alpha_{3,3} lz_3$$

$$D_{3,5} = \alpha_{1,5} c_{2,3} + c_{3,3} \alpha_{3,5} lz_5$$

$$E_{1,1} = \alpha_{1,1} \cos(\phi)$$

$$E_{1,3} = \alpha_{1,3} \cos(\phi)$$

$$E_{1,5} = \alpha_{1,5} \cos(\phi)$$

$$E_{2,1} = \alpha_{2,1} \sin(\phi)$$

$$E_{2,3} = \alpha_{2,3} \sin(\phi)$$

$$E_{2,5} = \alpha_{2,5} \sin(\phi)$$

* nebo

material

ortotropic

směr_šíření

0

Mindlinovy_křivky

$$\sin(2k lz_1 d) = 0$$

$$\sin(2k lz_3 d) = 0$$

SH_mody

$$\sin(2k lz_5 d) = 0$$

symetrické_mody

$$\frac{\tan(k lz_1 d)}{\tan(k lz_3 d)} = \frac{(\alpha_{1,3} lz_3 + \alpha_{3,3})(lz_1 \alpha_{3,1} c_{3,3} + \alpha_{1,1} c_{1,3})}{(lz_3 \alpha_{3,3} c_{3,3} + \alpha_{1,3} c_{1,3})(\alpha_{1,1} lz_1 + \alpha_{3,1})}$$

antisymetrické_mody

$$\frac{\tan(k lz_1 d)}{\tan(k lz_3 d)} = \frac{(lz_3 \alpha_{3,3} c_{3,3} + \alpha_{1,3} c_{1,3})(\alpha_{1,1} lz_1 + \alpha_{3,1})}{(\alpha_{1,3} lz_3 + \alpha_{3,3})(lz_1 \alpha_{3,1} c_{3,3} + \alpha_{1,1} c_{1,3})}$$

* nebo

material

ortotropic

směr_šíření

$\frac{1}{2} \pi$

Mindlinovy_křivky

$$\sin(2k lz_1 d) = 0$$

$$\sin(2k lz_3 d) = 0$$

SH_mody

$$\sin(2k lz_5 d) = 0$$

symetrické_mody

$$\frac{\tan(k lz_1 d)}{\tan(k lz_3 d)} = \frac{(\alpha_{1,3} lz_3 + \alpha_{3,3})(lz_1 \alpha_{3,1} c_{3,3} + \alpha_{1,1} c_{2,3})}{(lz_3 \alpha_{3,3} c_{3,3} + \alpha_{1,3} c_{2,3})(\alpha_{1,1} lz_1 + \alpha_{3,1})}$$

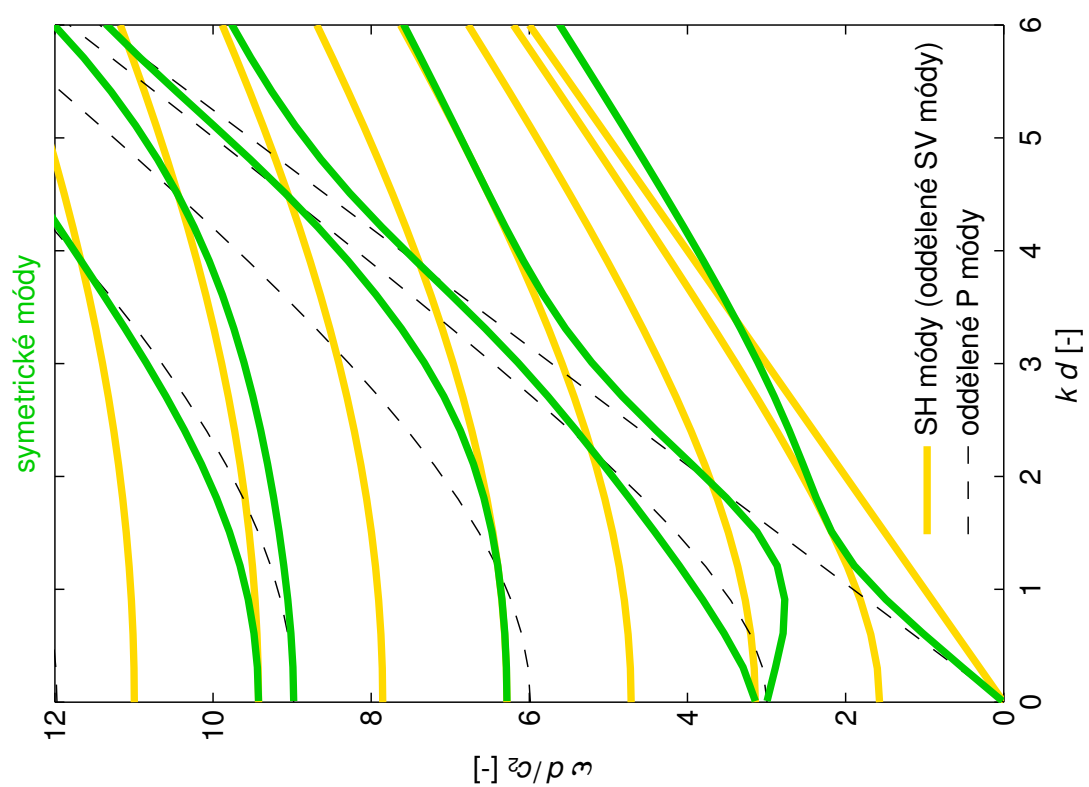
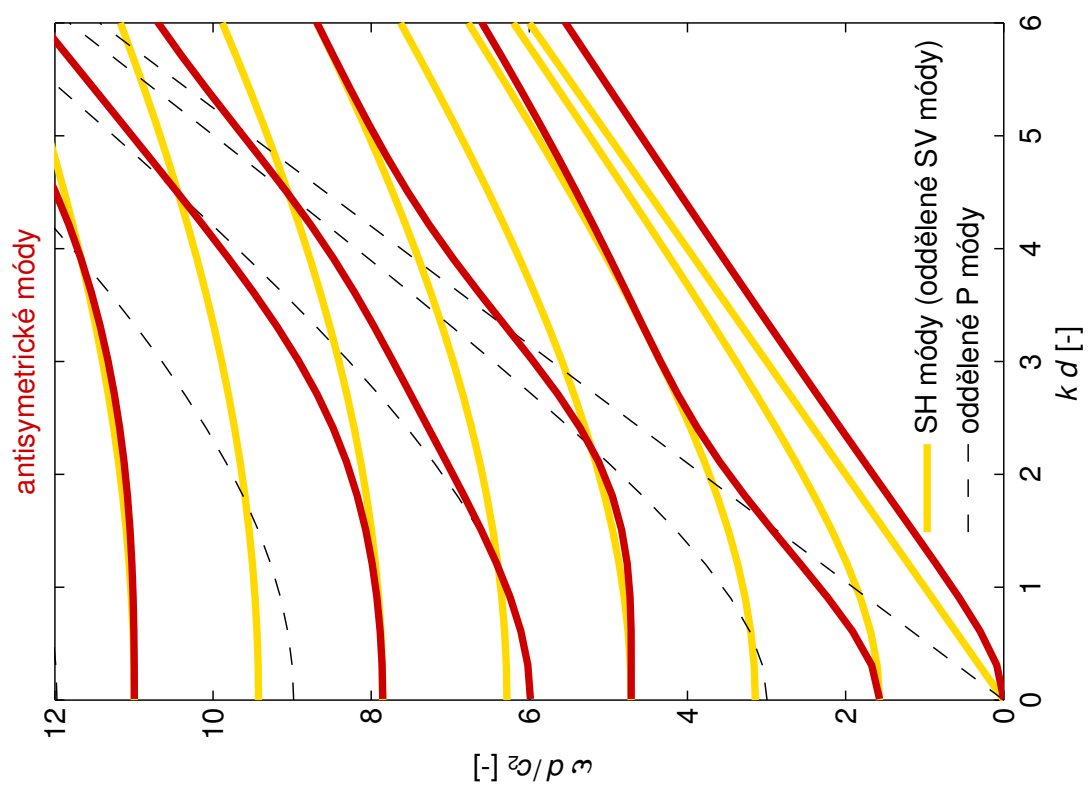
antisymetrické_mody

$$\frac{\tan(k lz_1 d)}{\tan(k lz_3 d)} = \frac{(lz_3 \alpha_{3,3} c_{3,3} + \alpha_{1,3} c_{2,3})(\alpha_{1,1} lz_1 + \alpha_{3,1})}{(\alpha_{1,3} lz_3 + \alpha_{3,3})(lz_1 \alpha_{3,1} c_{3,3} + \alpha_{1,1} c_{2,3})}$$

4 Výsledky

4.1 Izotropní deska

Disperzní křivky byly počítány pro materiál s Poissonovým číslem 0,31 pomocí Matlabu [15].
A jsou znázorněny na obr. 4.1



Obrázek 4.1: Disperzní křivky v izotropní desce.

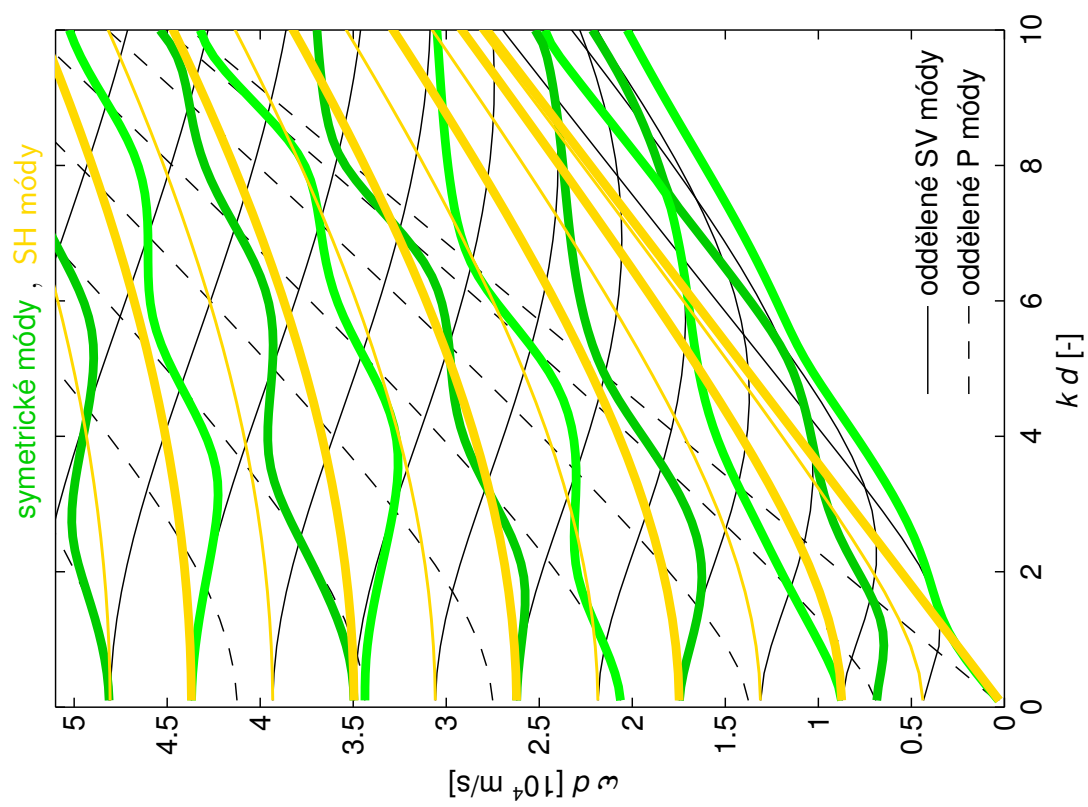
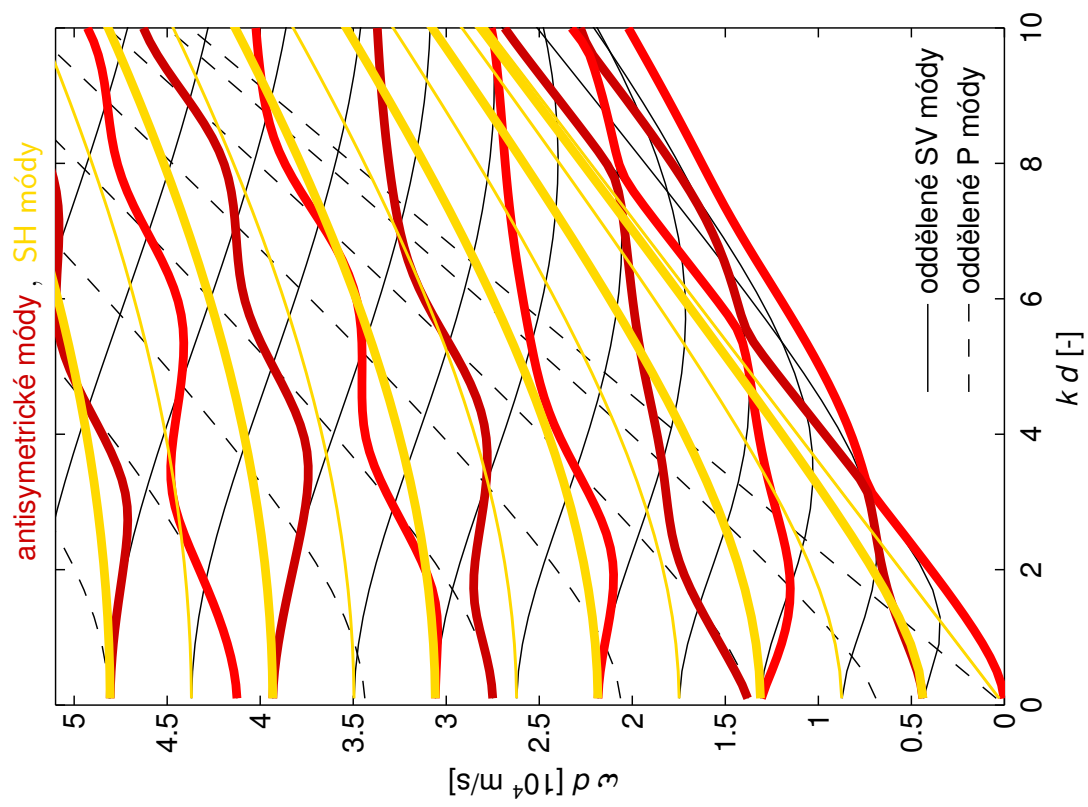
4.2 Kubická deska

Při výpočtu disperzních křivek v desce s kubickou anizotropií byly použity hodnoty materiálových konstant mědi, jak je uvedeno v tabulce 4.1, podle [10].

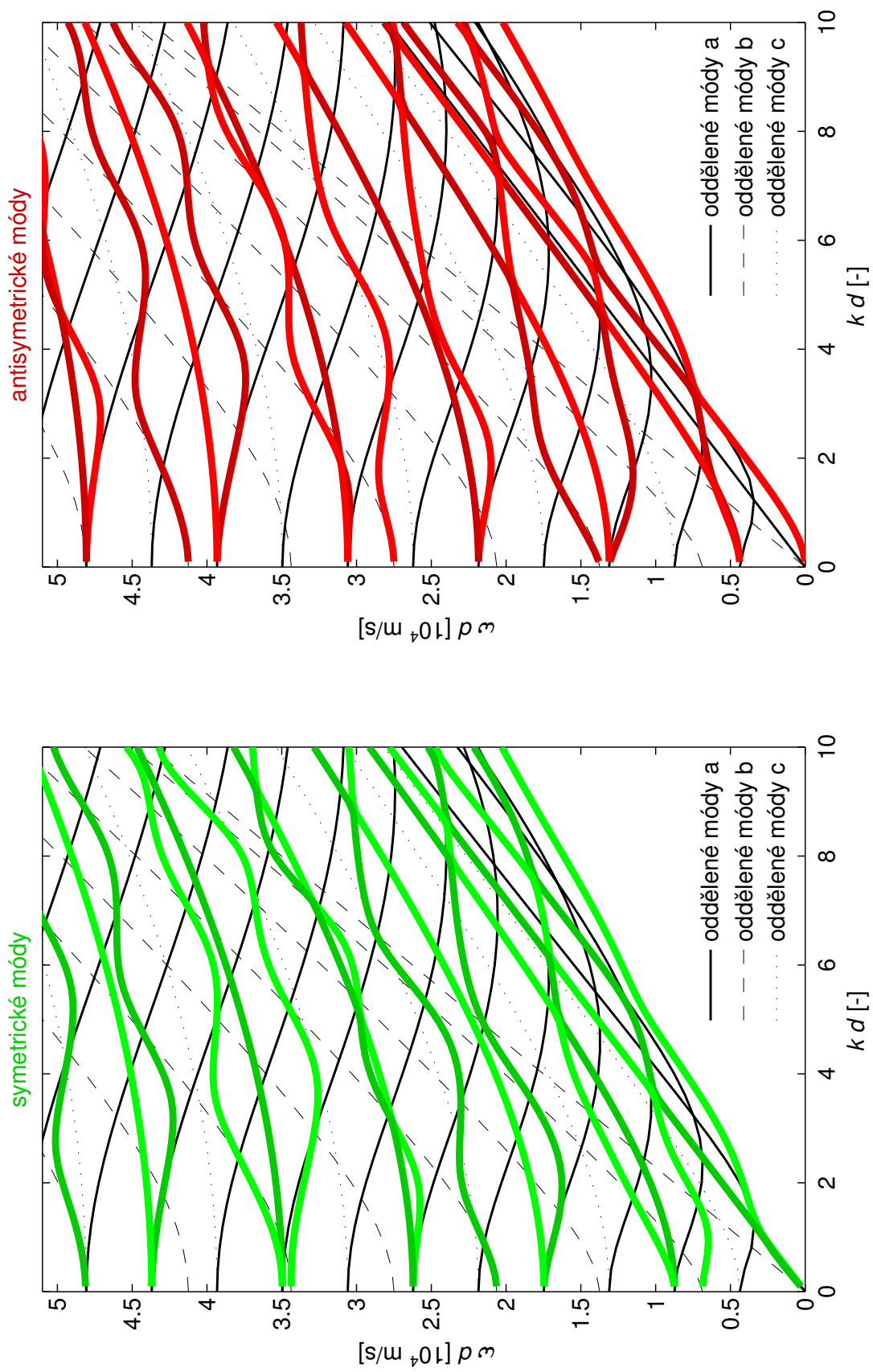
c_{11}	171	[GPa]
c_{12}	122	[GPa]
c_{44}	69,1	[GPa]
ρ	8930	[kg/m ³]

Tabulka 4.1: Materiálové konstanty pro Cu použité ve výpočtech.

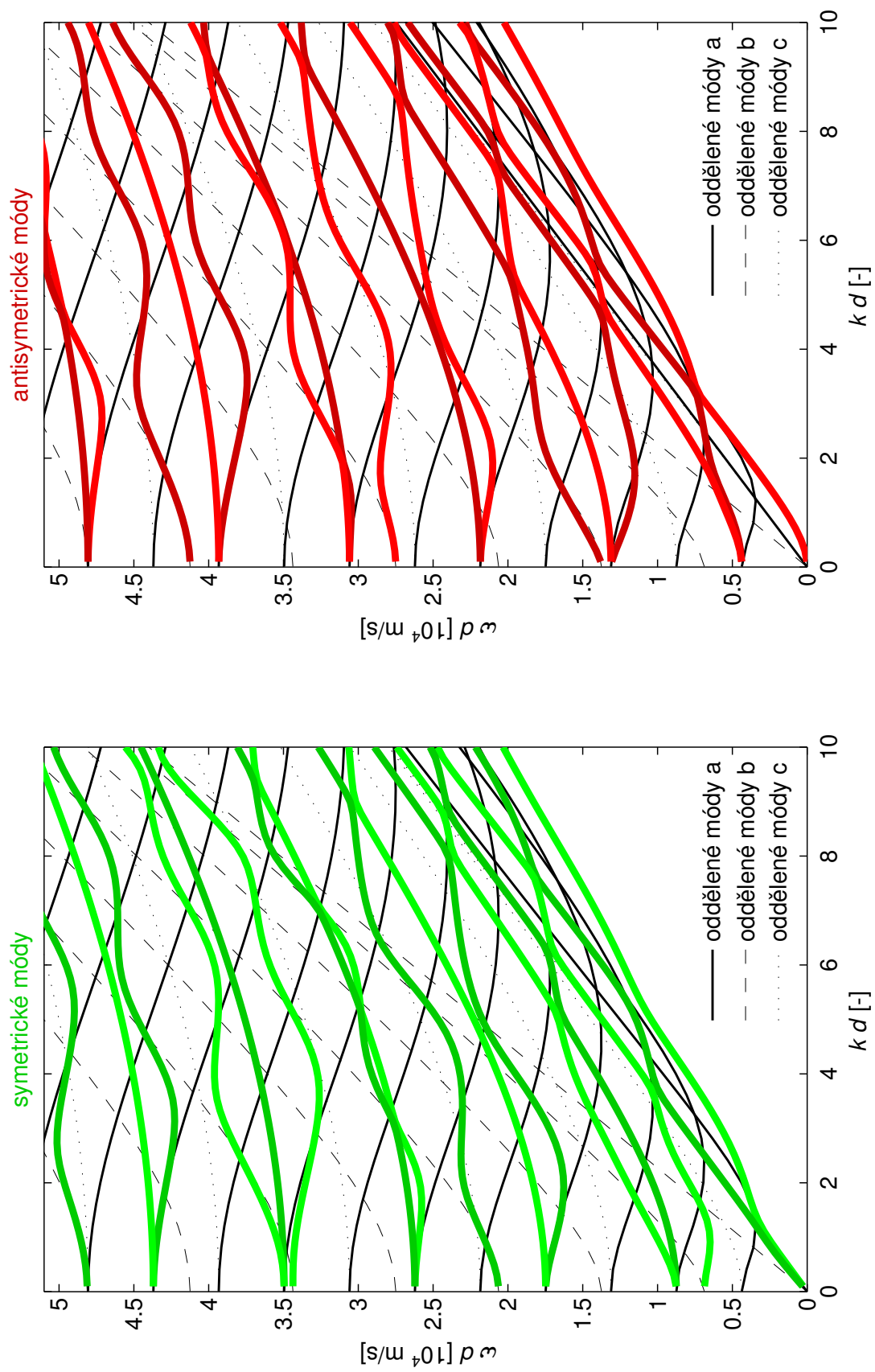
Disperzní křivky pro symetrické a antisymetrické módy desky s kubickou anizotropií společně s Mindlinovými oddělenými módy a směr šíření $\phi = 0^\circ$ jsou zakresleny v obr. 4.2, pro směr šíření $0^\circ < \phi < 45^\circ$ jsou zakresleny v obr. 4.3 – 4.12. A pro směr šíření $\phi = 45^\circ$ v obr. 4.13.



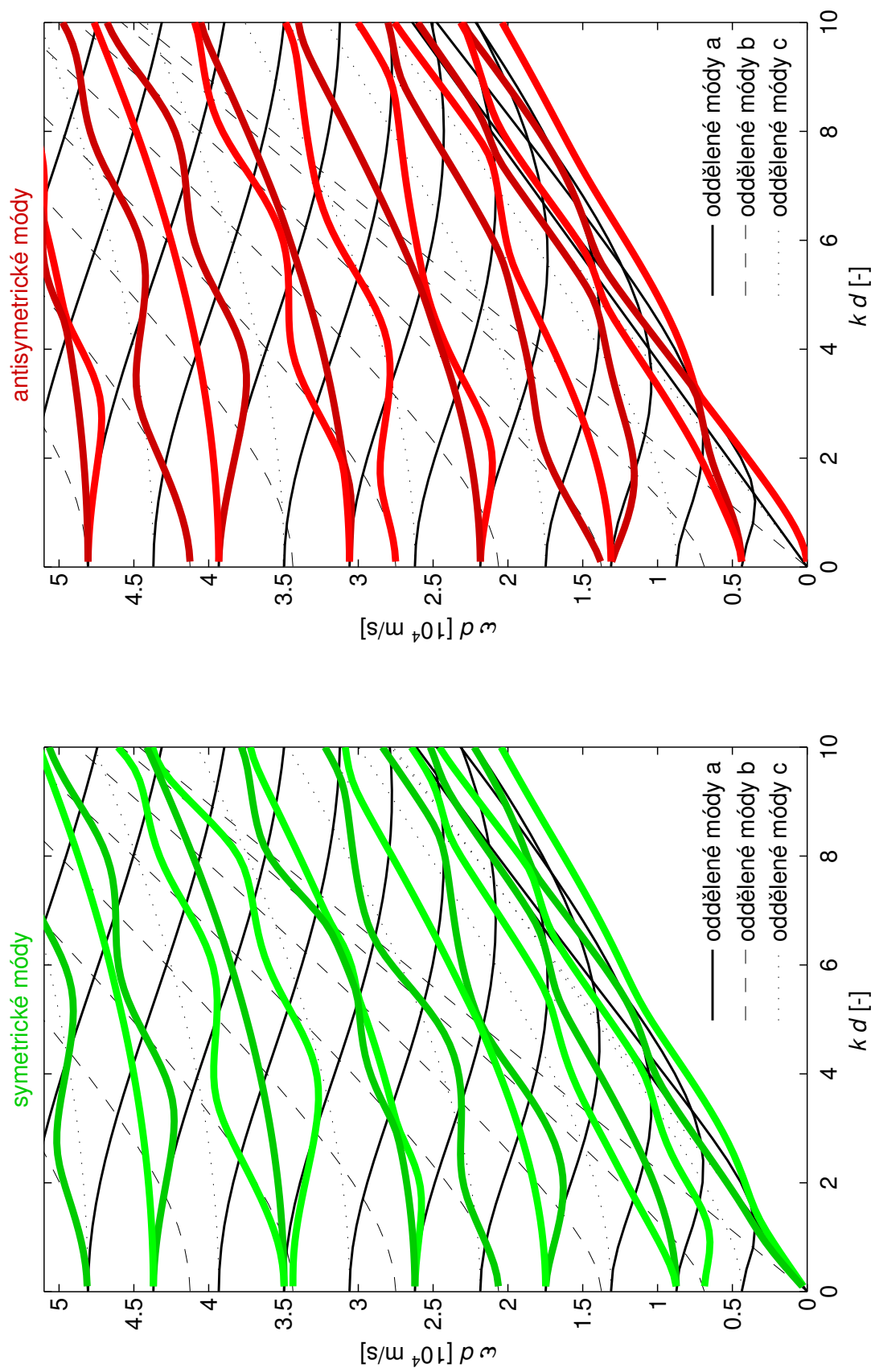
Obrázek 4.2: Disperzní křivky pro směr šíření $\phi = 0^\circ$ v kubické desce.



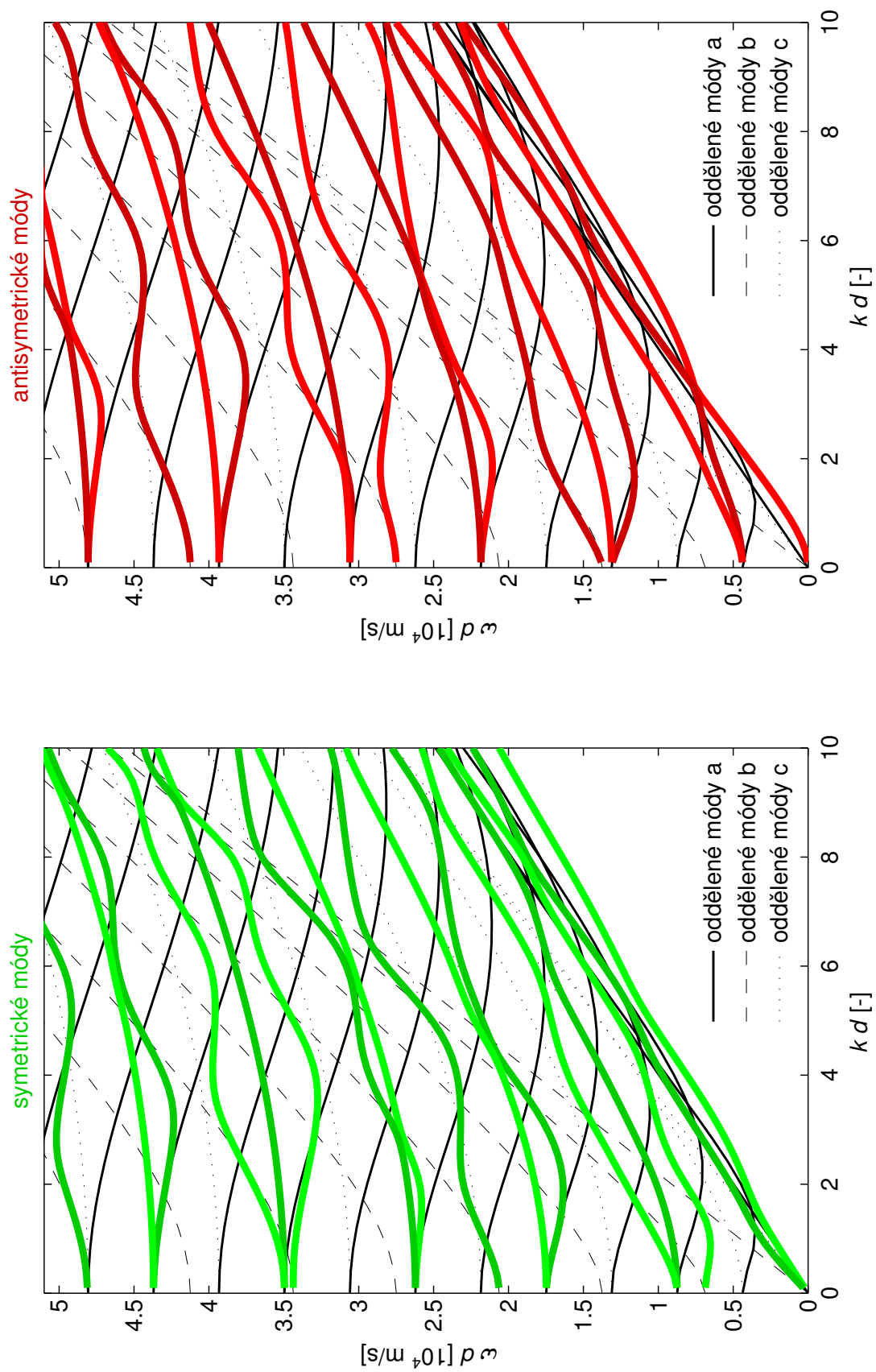
Obrázek 4.3: Disperzní křivky pro směr šíření $\phi = 1^\circ$ v kubické desce.



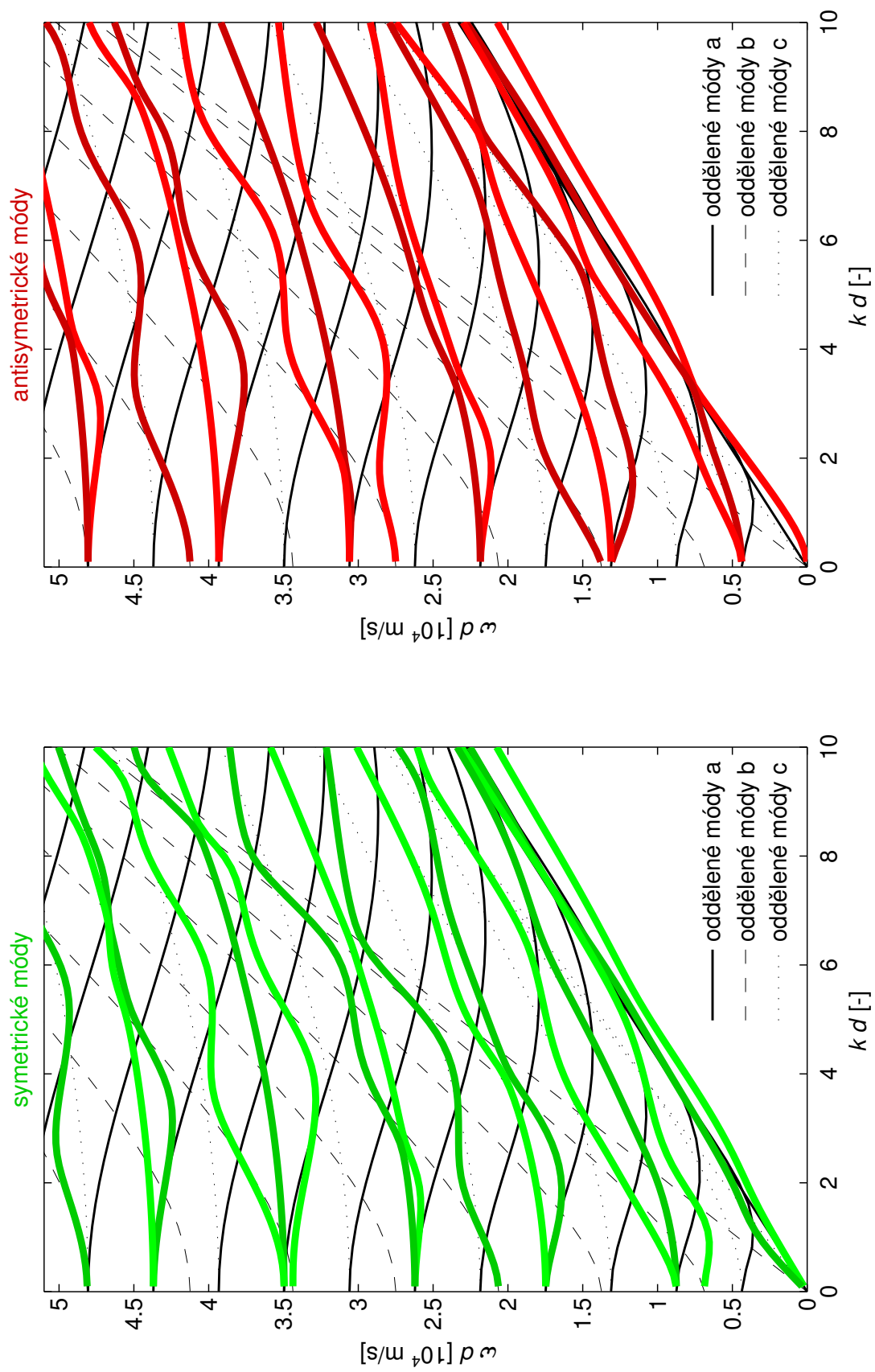
Obrázek 4.4: Disperzní křivky pro směr šíření $\phi = 5^\circ$ v kubické desce.



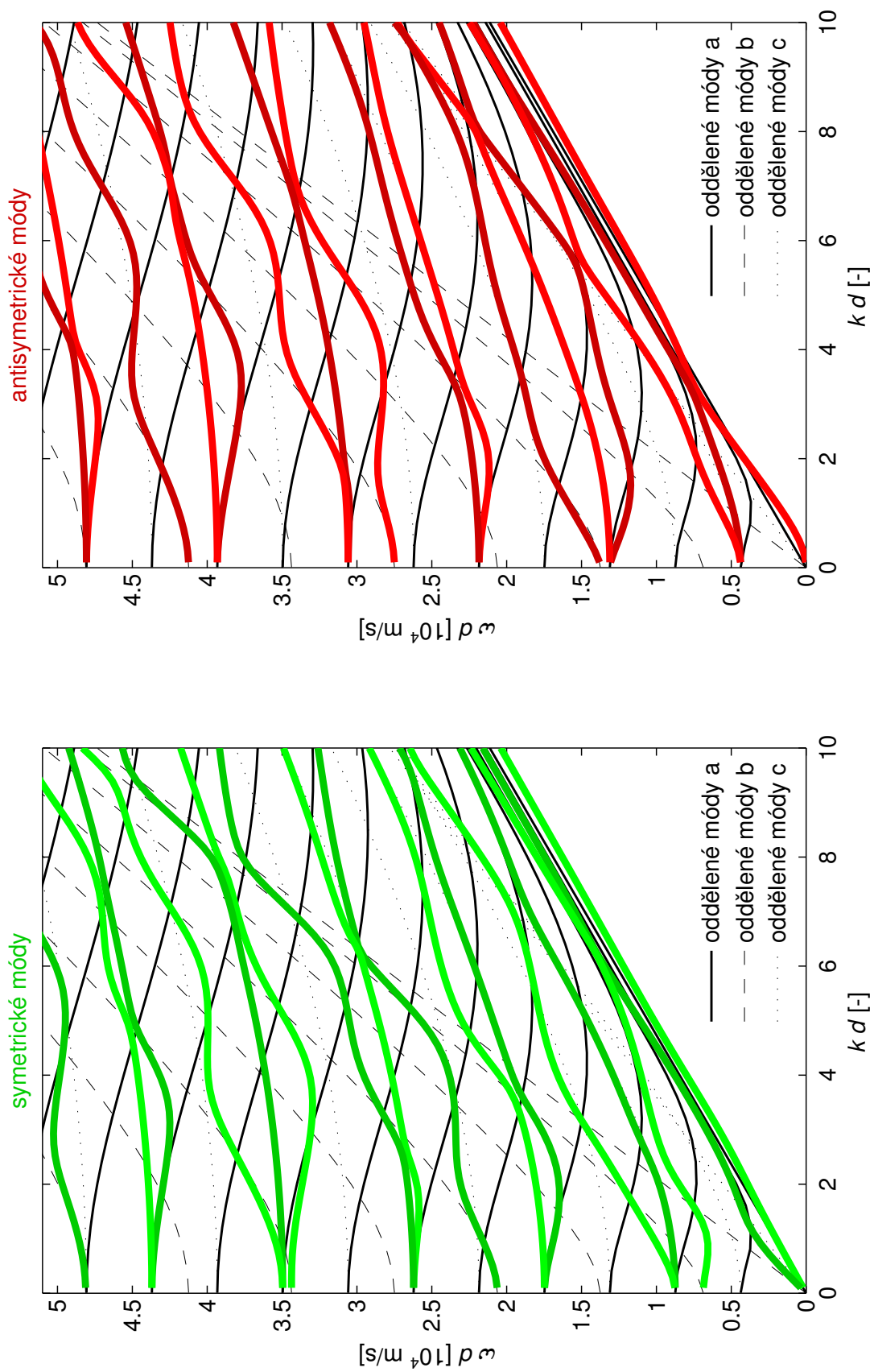
Obrázek 4.5: Disperzní křivky pro směr šíření $\phi = 10^\circ$ v kubické desce.



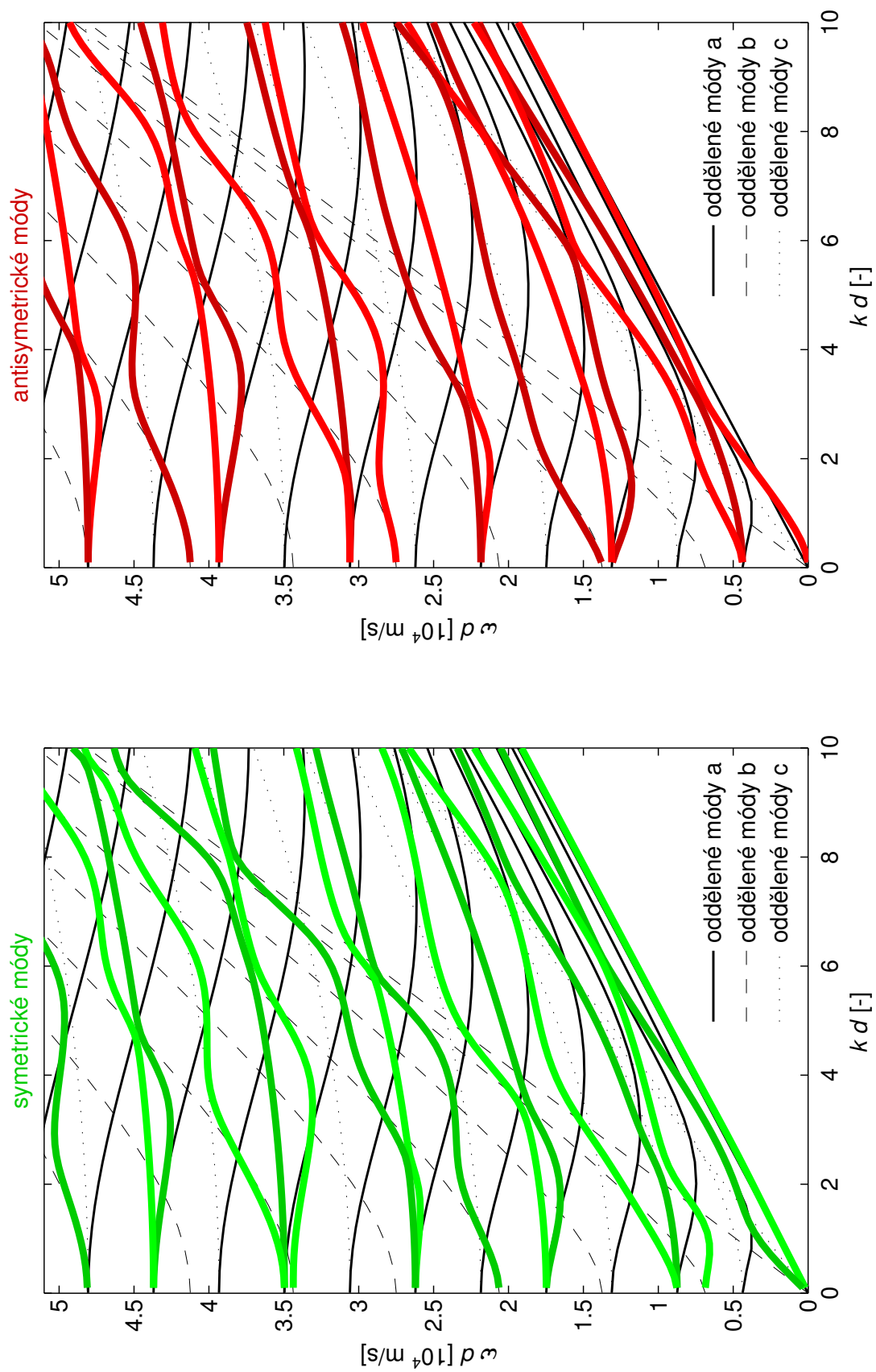
Obrázek 4.6: Disperzní křivky pro směr šíření $\phi = 15^\circ$ v kubické desce.



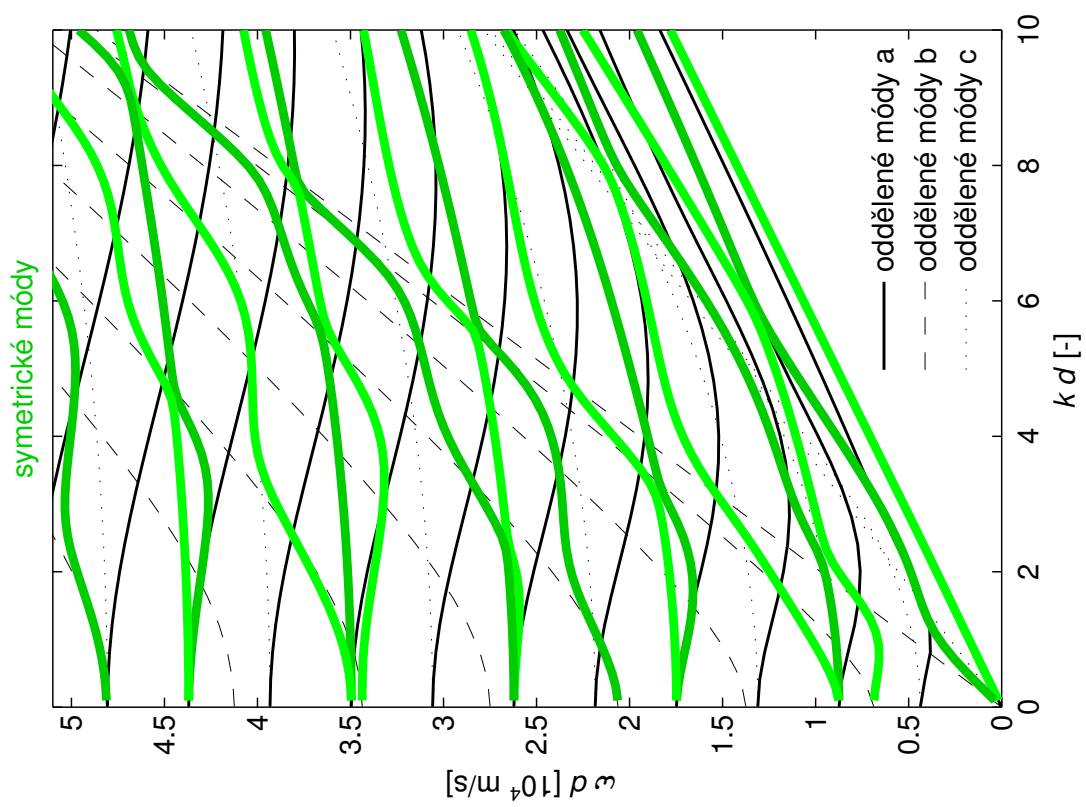
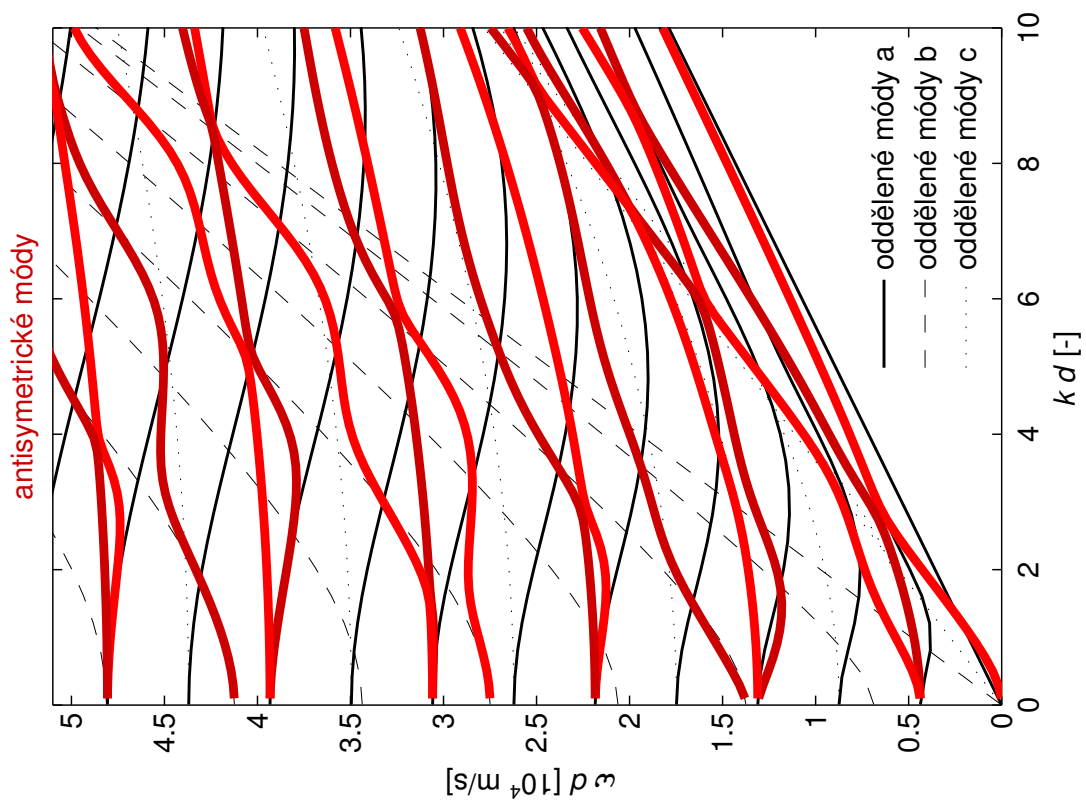
Obrázek 4.7: Disperzní křivky pro směr šíření $\phi = 20^\circ$ v kubické desce.



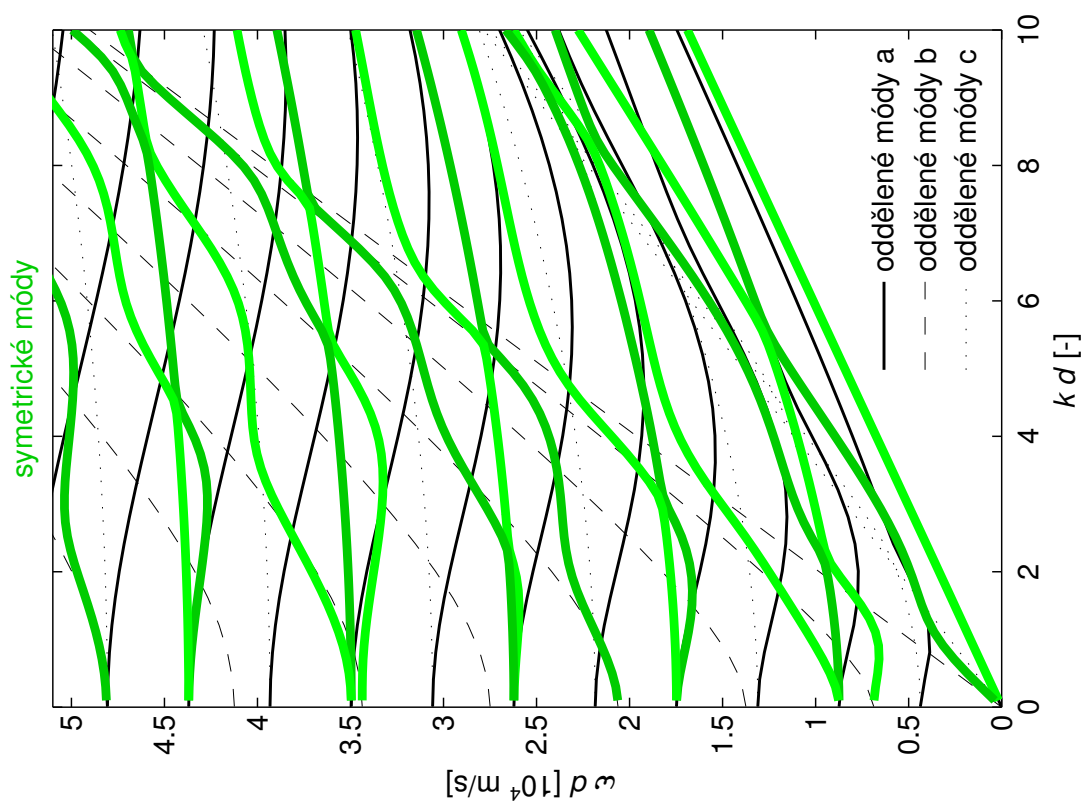
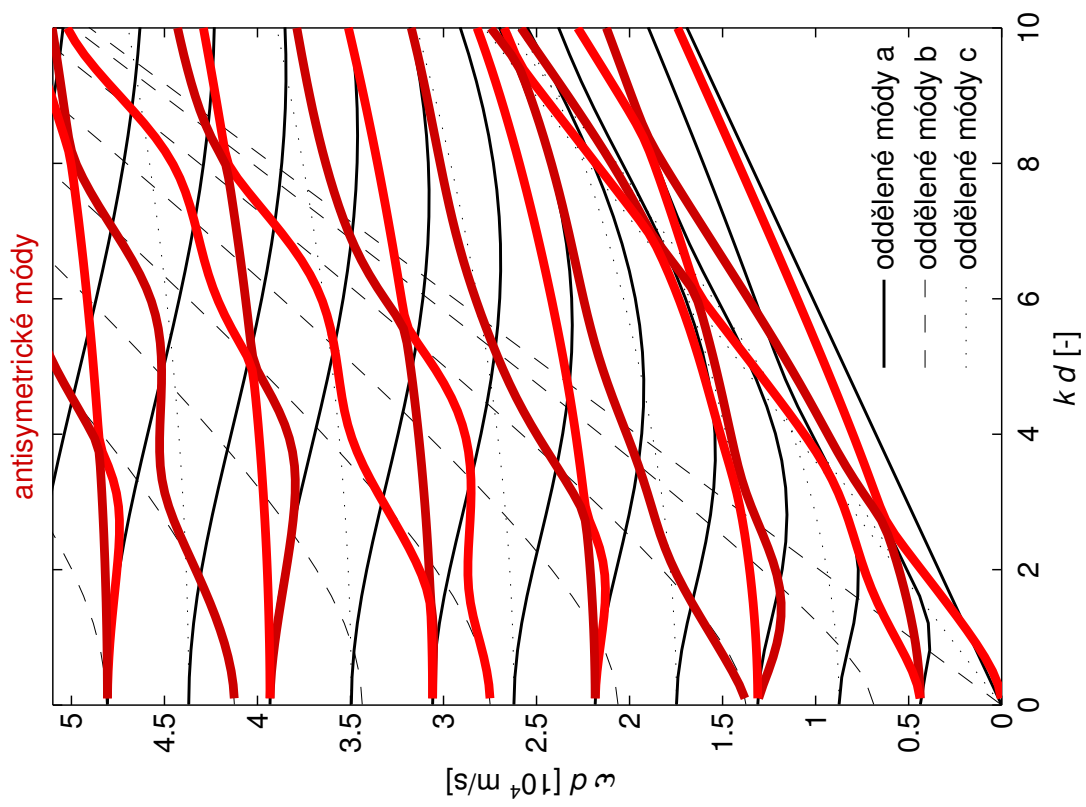
Obrázek 4.8: Disperzní křivky pro směr šíření $\phi = 25^\circ$ v kubické desce.



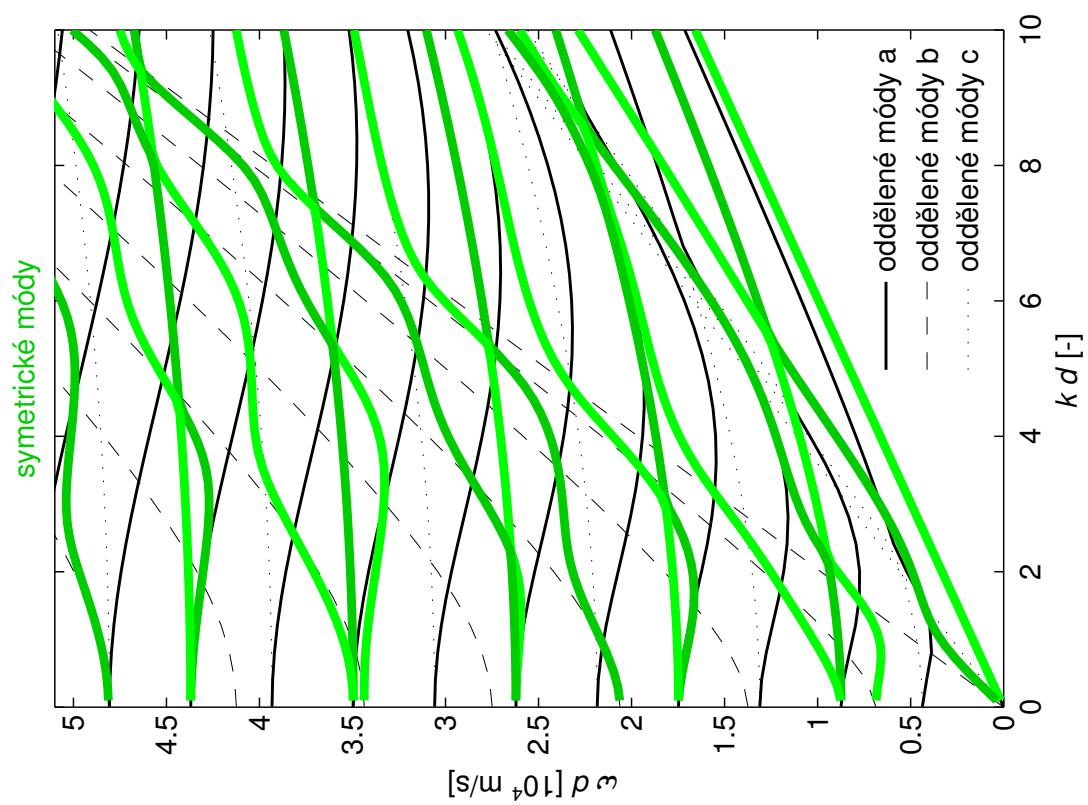
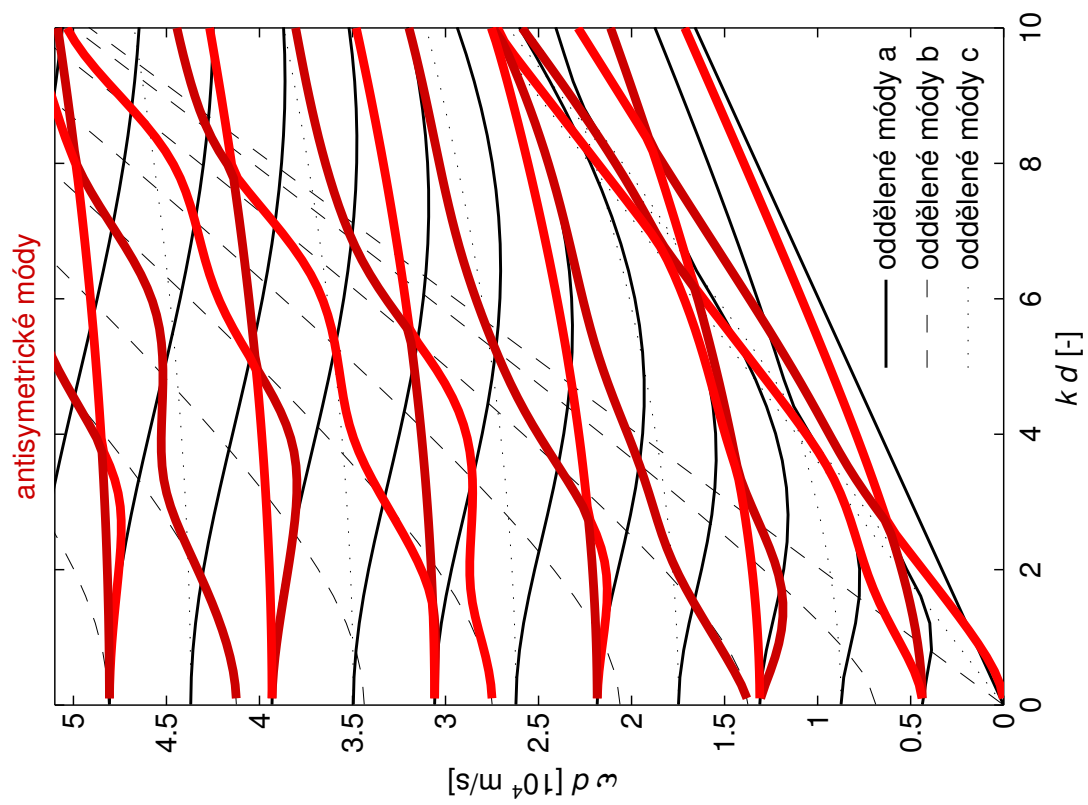
Obrázek 4.9: Disperzní křivky pro směr šíření $\phi = 30^\circ$ v kubické desce.



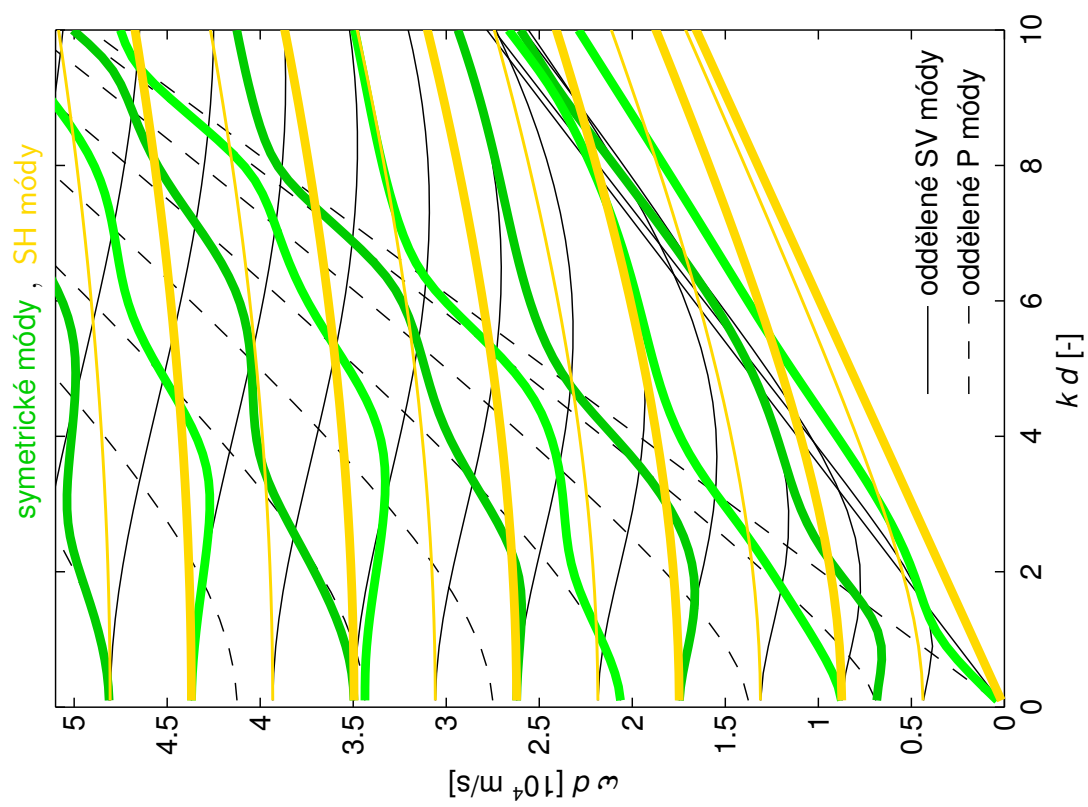
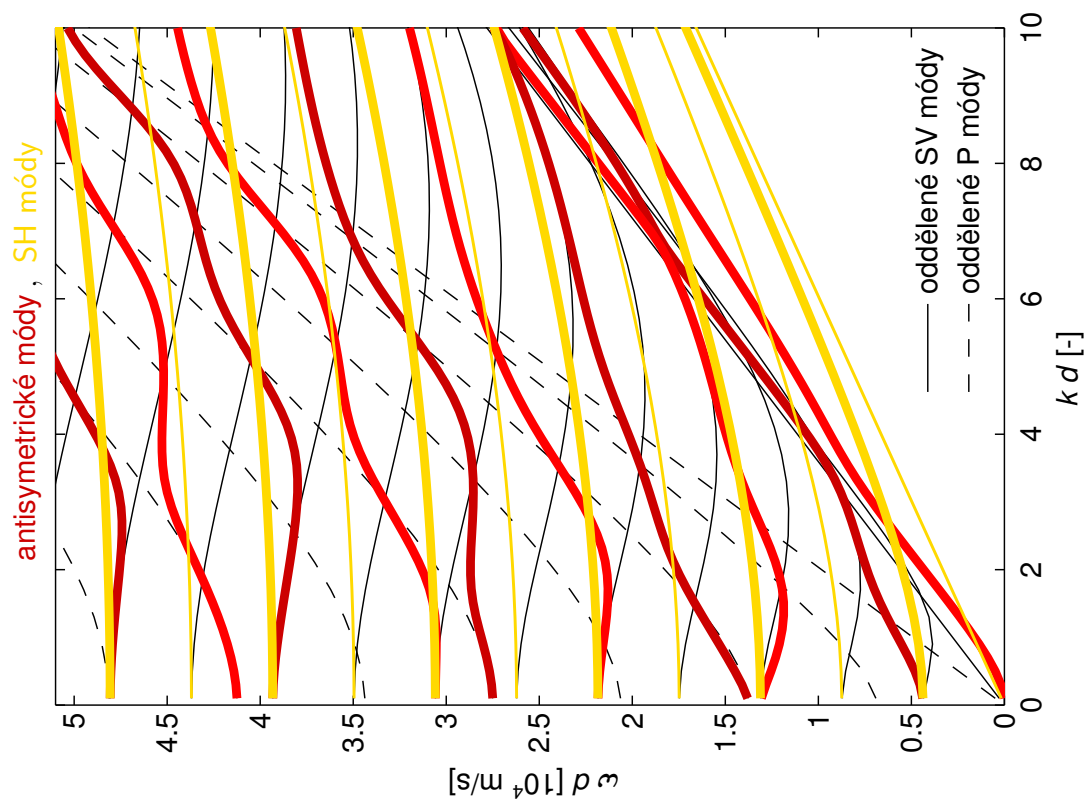
Obrázek 4.10: Disperzní křivky pro směr šíření $\phi = 35^\circ$ v kubické desce.



Obrázek 4.11: Disperzní křivky pro směr šíření $\phi = 40^\circ$ v kubické desce.



Obrázek 4.12: Disperzní křivky pro směr šíření $\phi = 44^\circ$ v kubické desce.



Obrázek 4.13: Disperzní křivky pro směr šíření $\phi = 45^\circ$ v kubické desce.

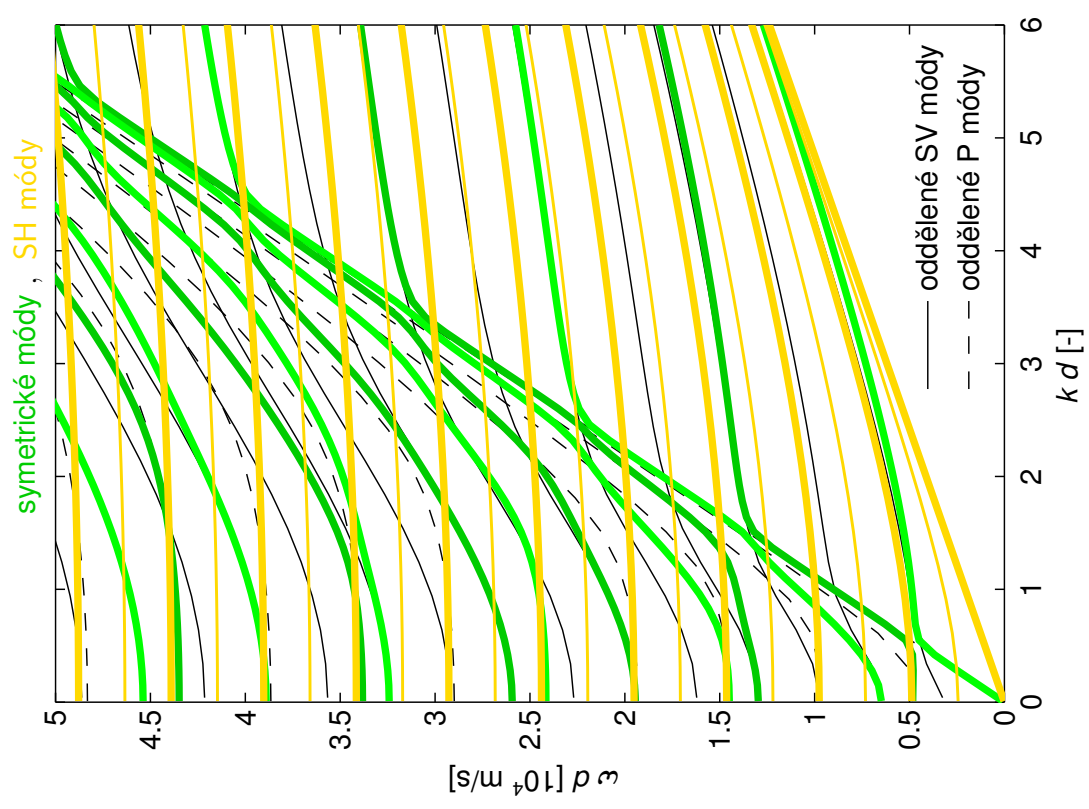
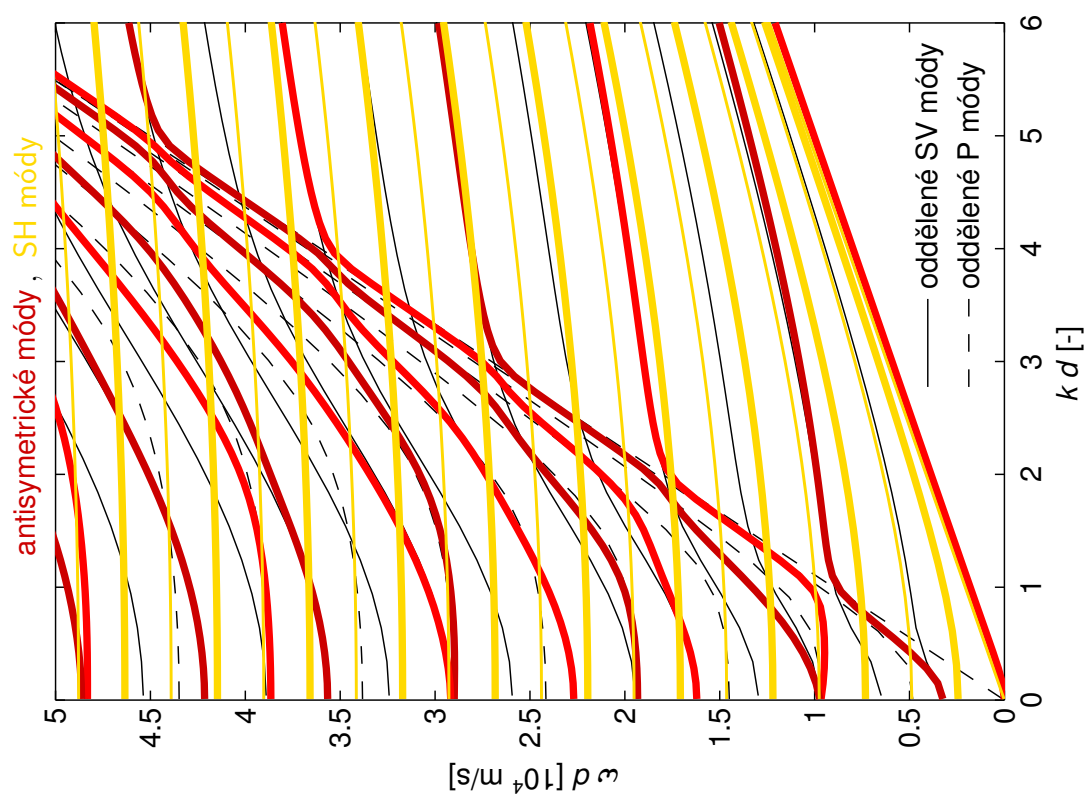
4.3 Ortotropní deska

Při výpočtu disperzních křivek v ortotropní desce byly použity hodnoty materiálových konstant uhlíkového kompozitu, jak je uvedeno v tabulce 4.2, podle [20].

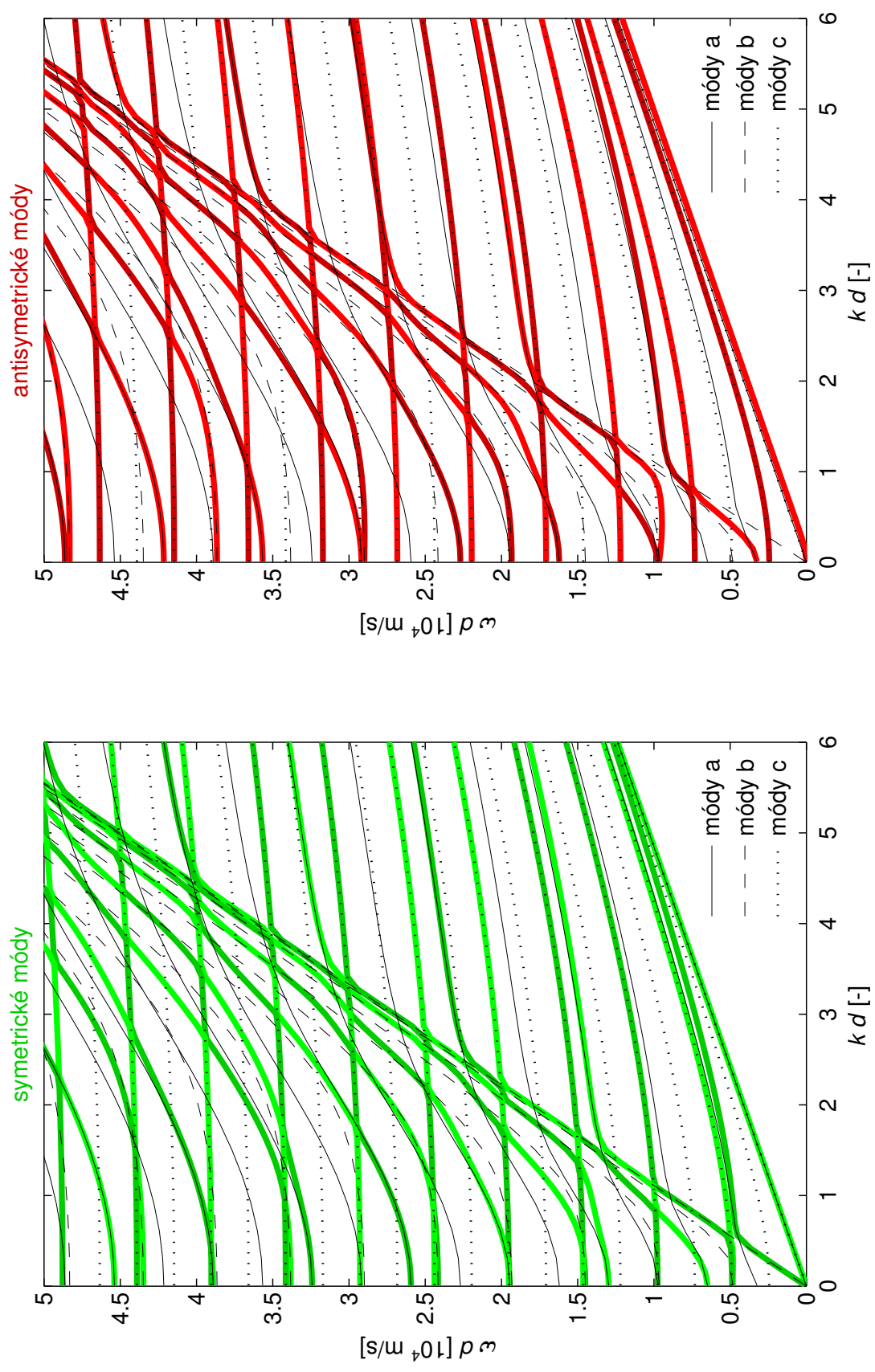
c_{11}	128,20	[GPa]
$c_{22} = c_{33}$	14,95	[GPa]
c_{44}	3,81	[GPa]
$c_{55} = c_{66}$	6,73	[GPa]
$c_{12} = c_{13}$	6,90	[GPa]
c_{23}	7,33	[GPa]
ρ	1580	[kg/m ³]

Tabulka 4.2: Materiálové konstanty pro uhlíkový kompozit použité ve výpočtech.

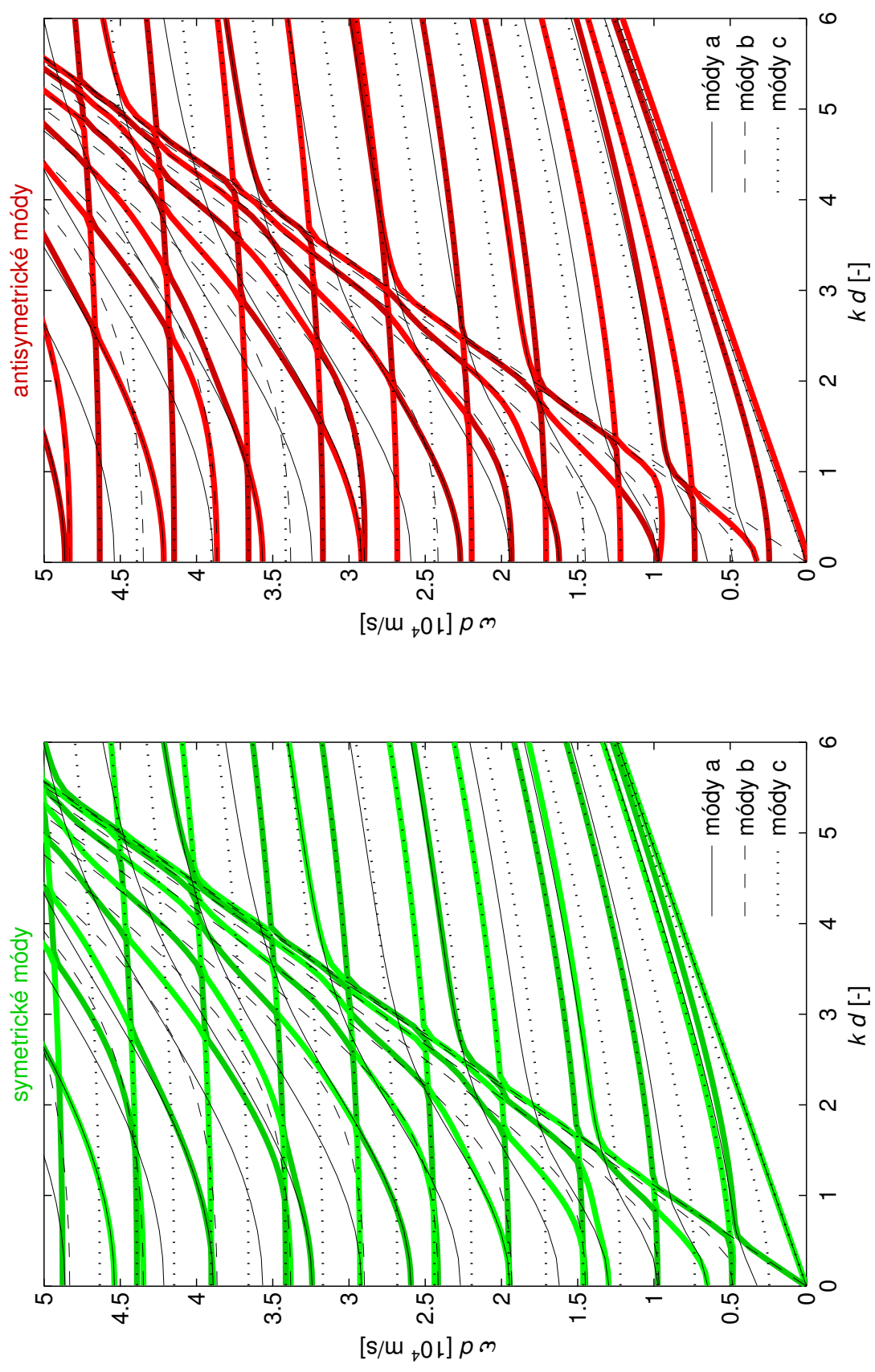
Disperzní křivky pro symetrické a antisymetrické módy desky s ortotropní anizotropií společně s Mindlinovými oddělenými módy a směr šíření $\phi = 0^\circ$ jsou zakresleny v obr. 4.14, pro směr šíření $0^\circ < \phi < 90^\circ$ jsou zakresleny v obr. 4.15 – 4.33. A pro směr šíření $\phi = 90^\circ$ v obr. 4.34.



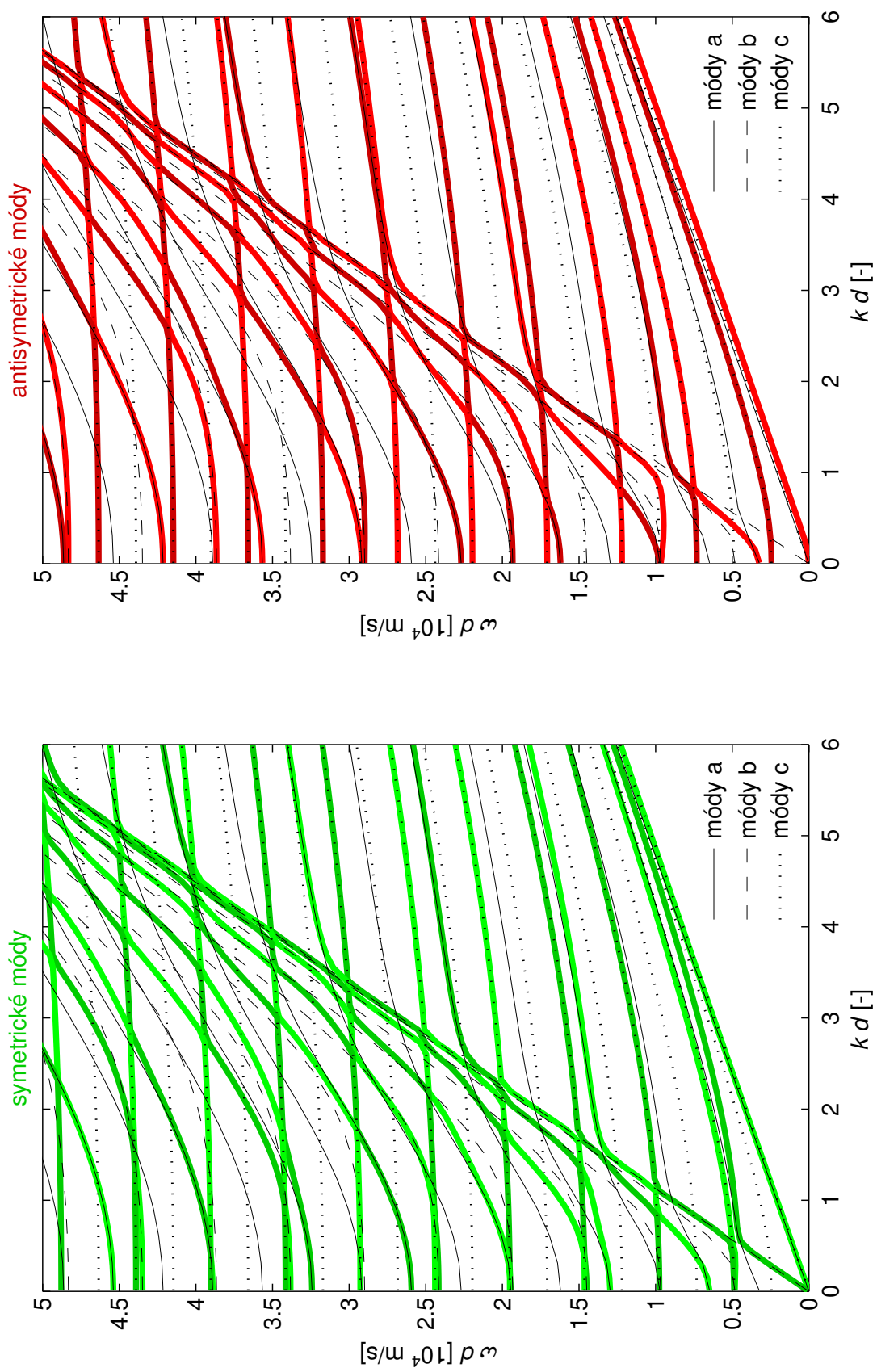
Obrázek 4.14: Disperzní křivky pro směr šíření $\phi = 0^\circ$ v ortotropní desce.



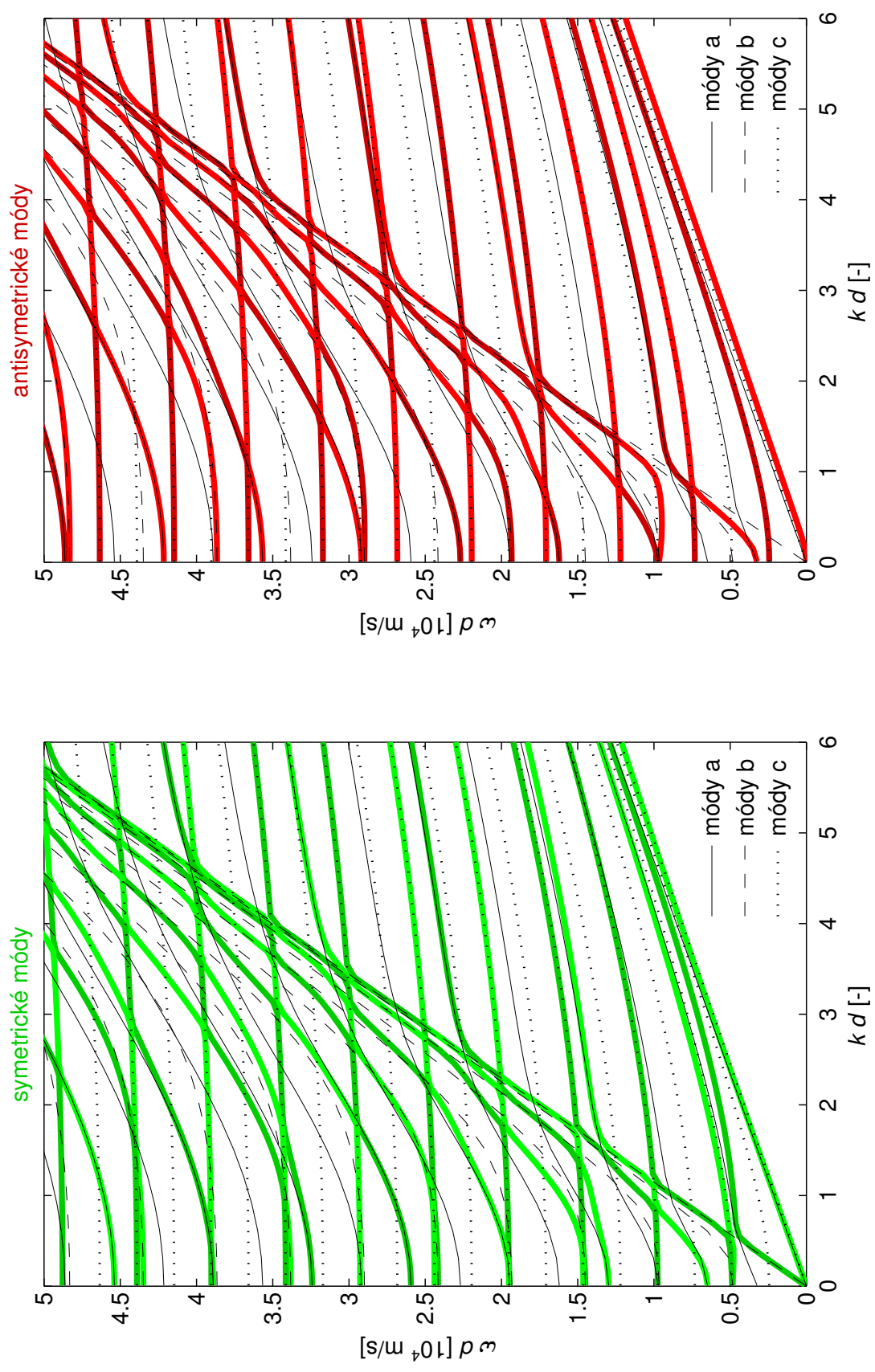
Obrázek 4.15: Disperzní křivky pro směr šíření $\phi = 1^\circ$ v ortotropní desce.



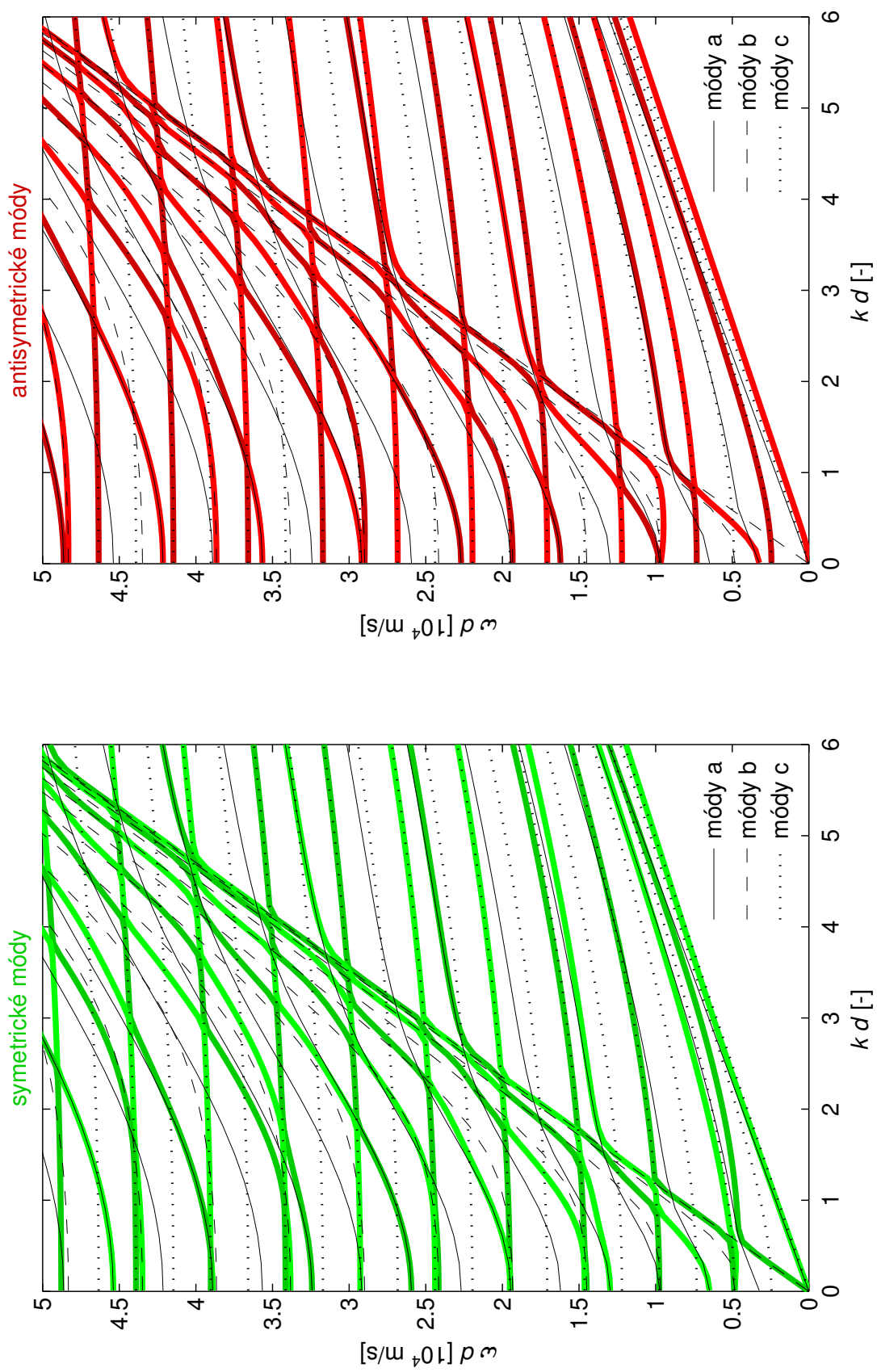
Obrázek 4.16: Disperzní křivky pro směr šíření $\phi = 5^\circ$ v ortotropní desce.



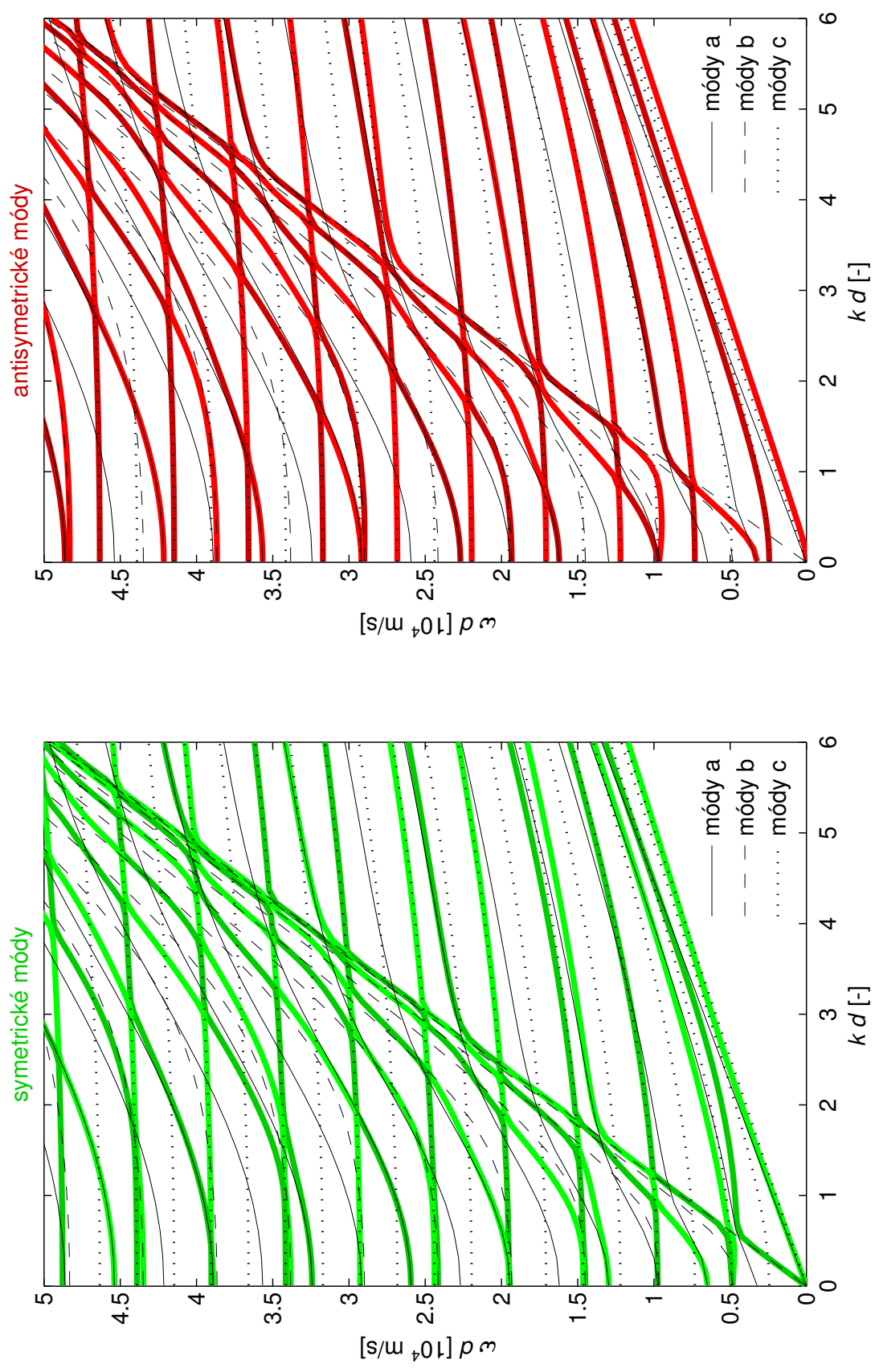
Obrázek 4.17: Disperzní křivky pro směr šíření $\phi = 10^\circ$ v ortotropní desce.



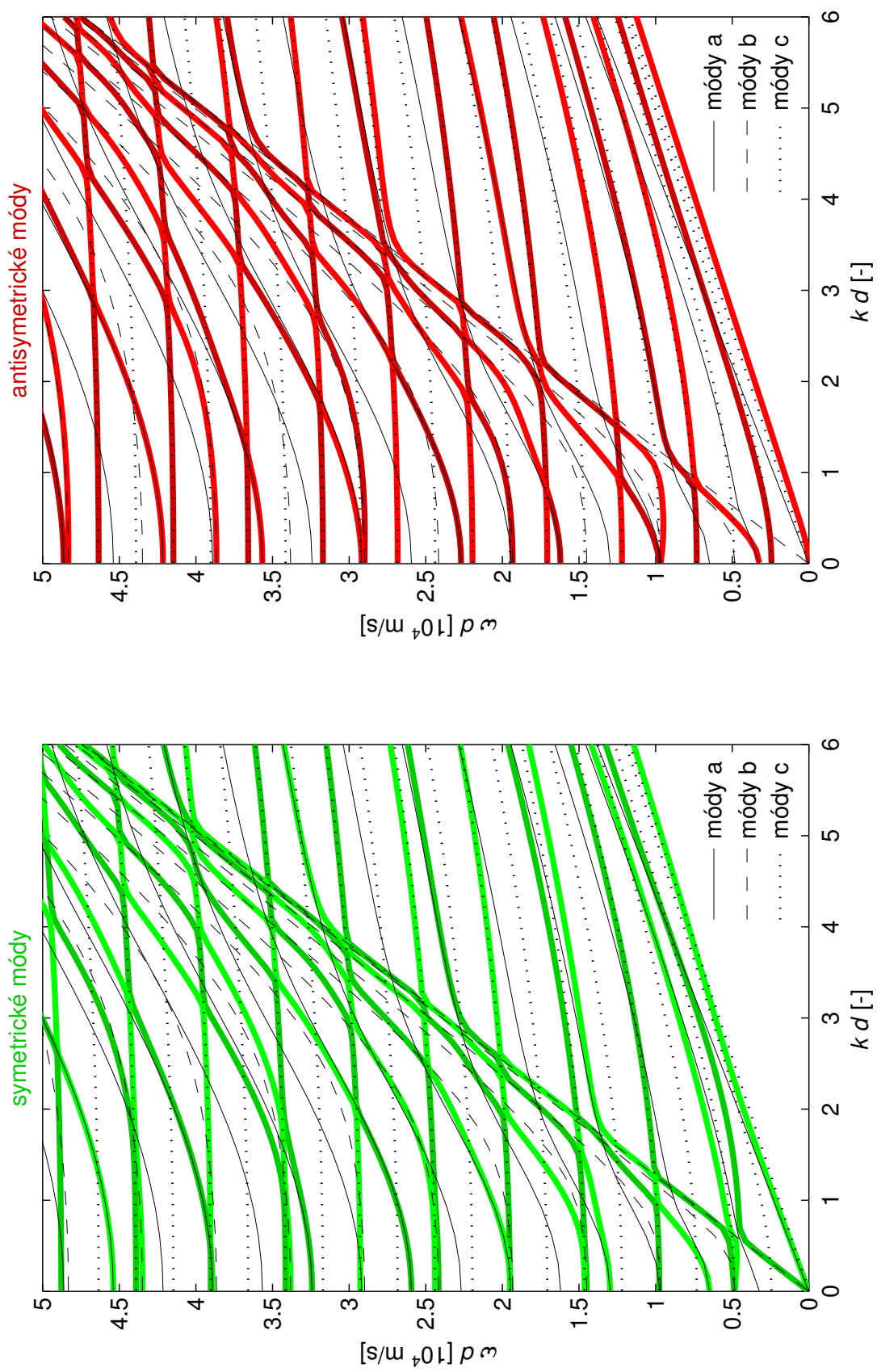
Obrázek 4.18: Disperzní křivky pro směr šíření $\phi = 15^\circ$ v ortotropní desce.



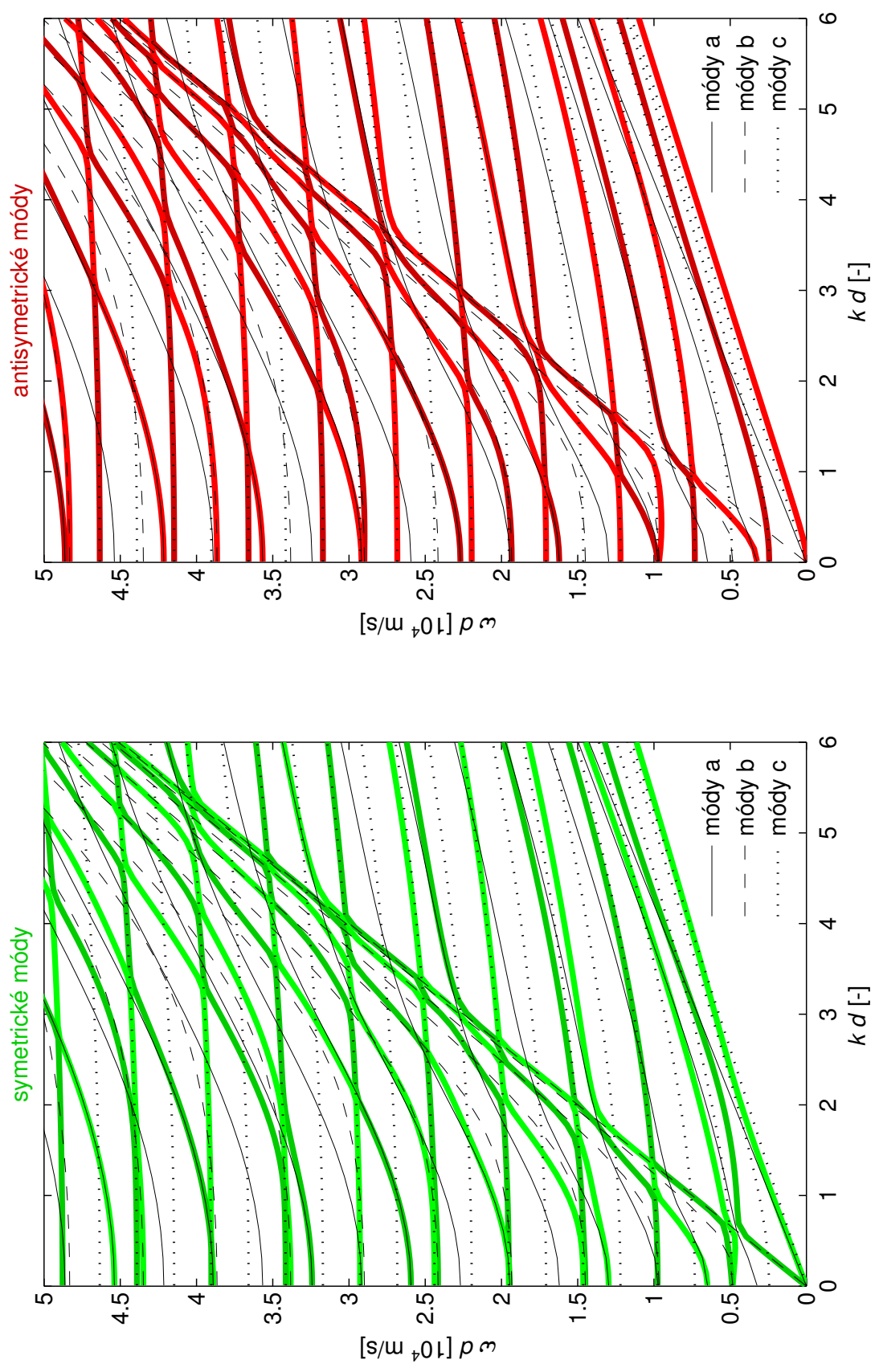
Obrázek 4.19: Disperzní křivky pro směr šíření $\phi = 20^\circ$ v ortotropní desce.



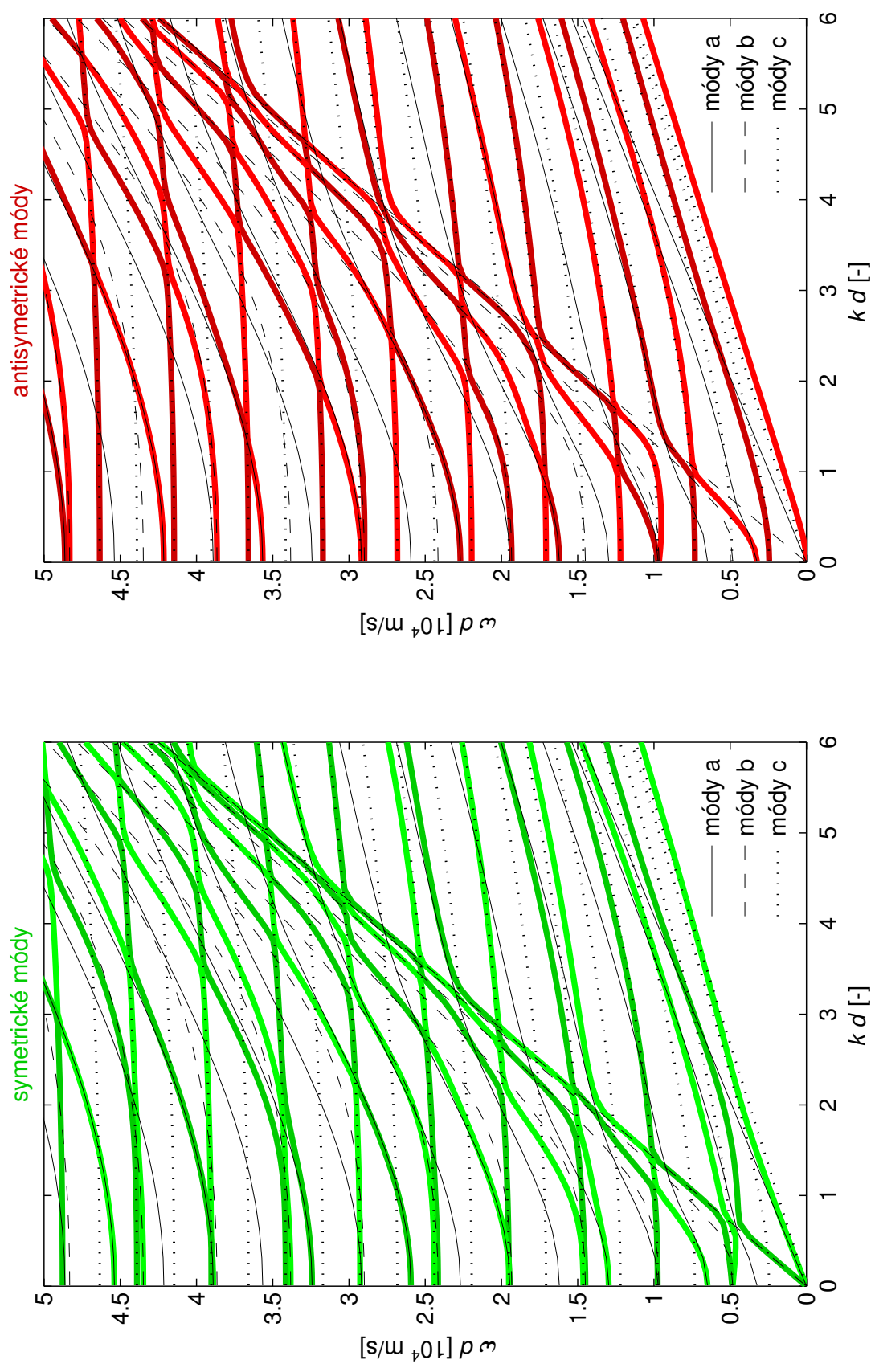
Obrázek 4.20: Disperzní křivky pro směr šíření $\phi = 25^\circ$ v ortotropní desce.



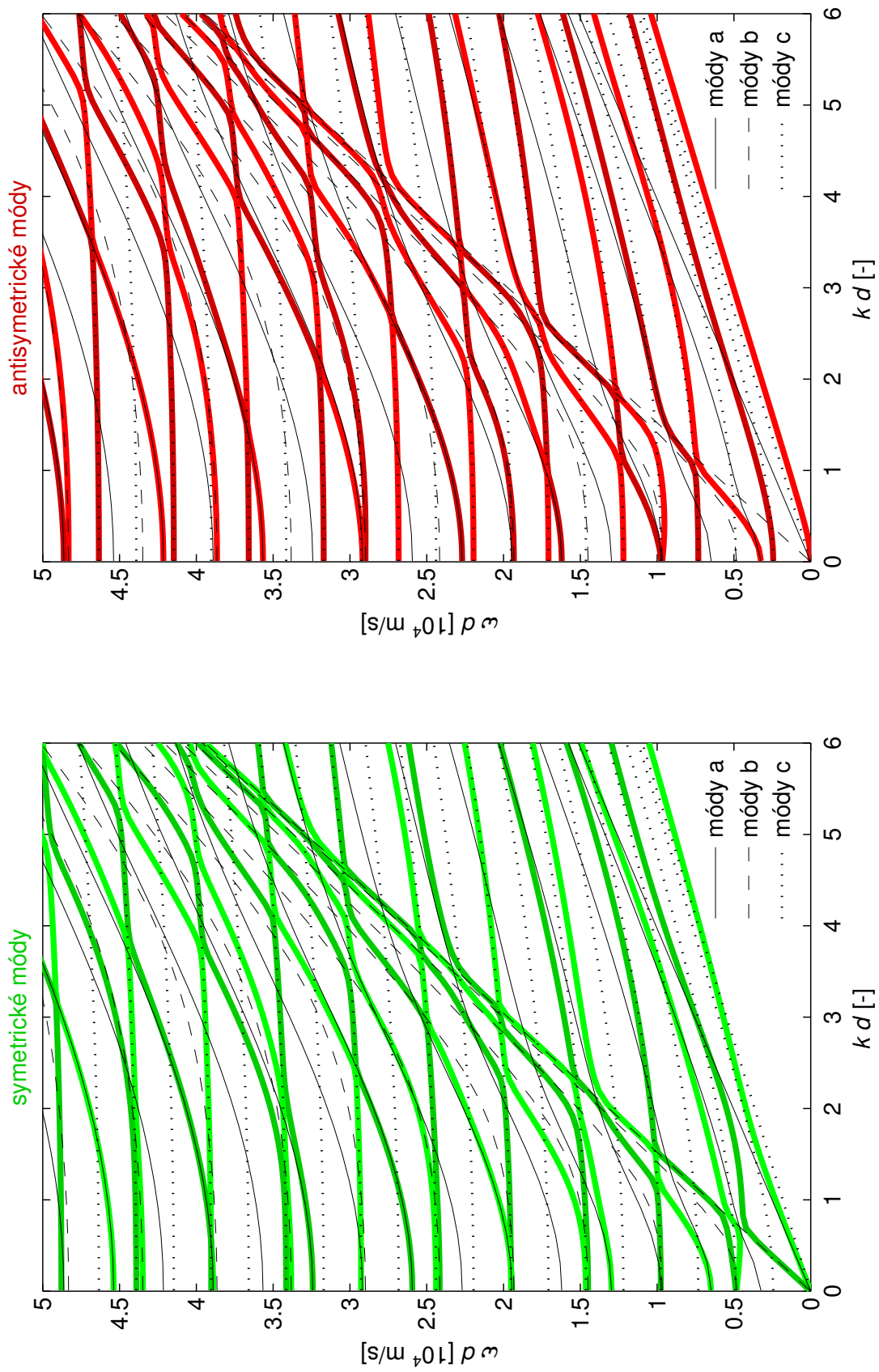
Obrázek 4.21: Disperzní křivky pro směr šíření $\phi = 30^\circ$ v ortotropní desce.



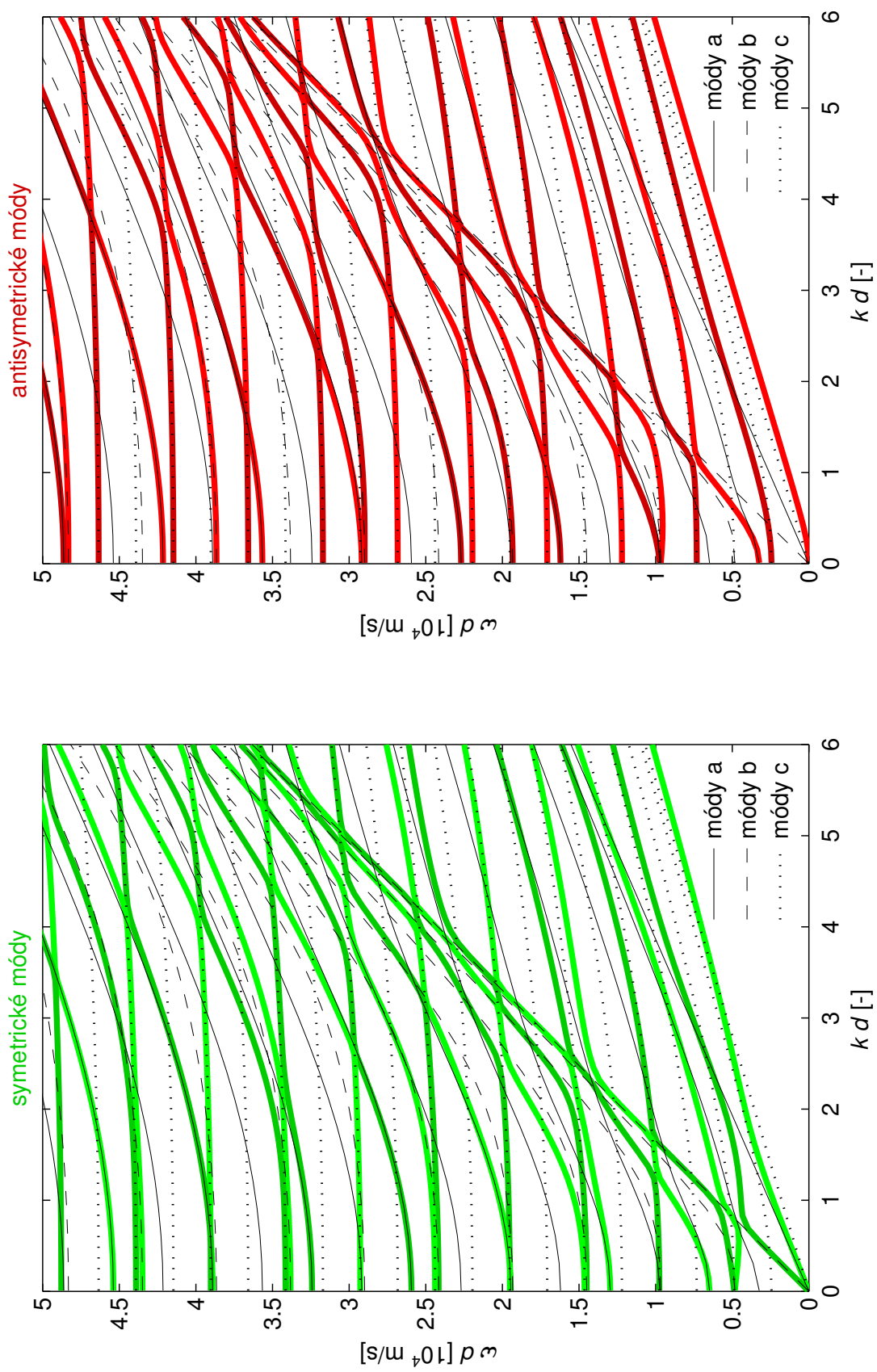
Obrázek 4.22: Disperzní křivky pro směr šíření $\phi = 35^\circ$ v ortotropní desce.



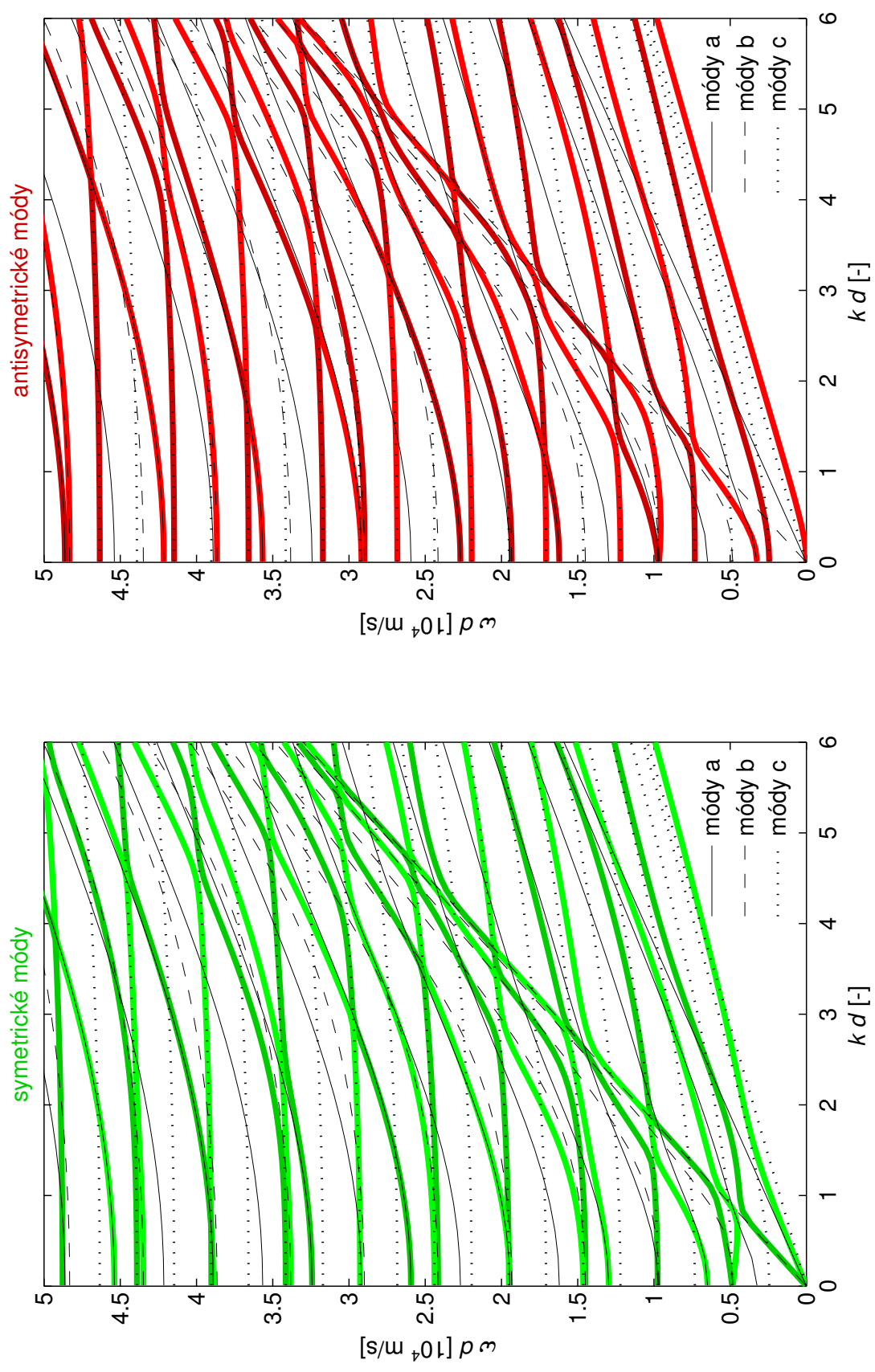
Obrázek 4.23: Disperzní křivky pro směr šíření $\phi = 40^\circ$ v ortotropní desce.



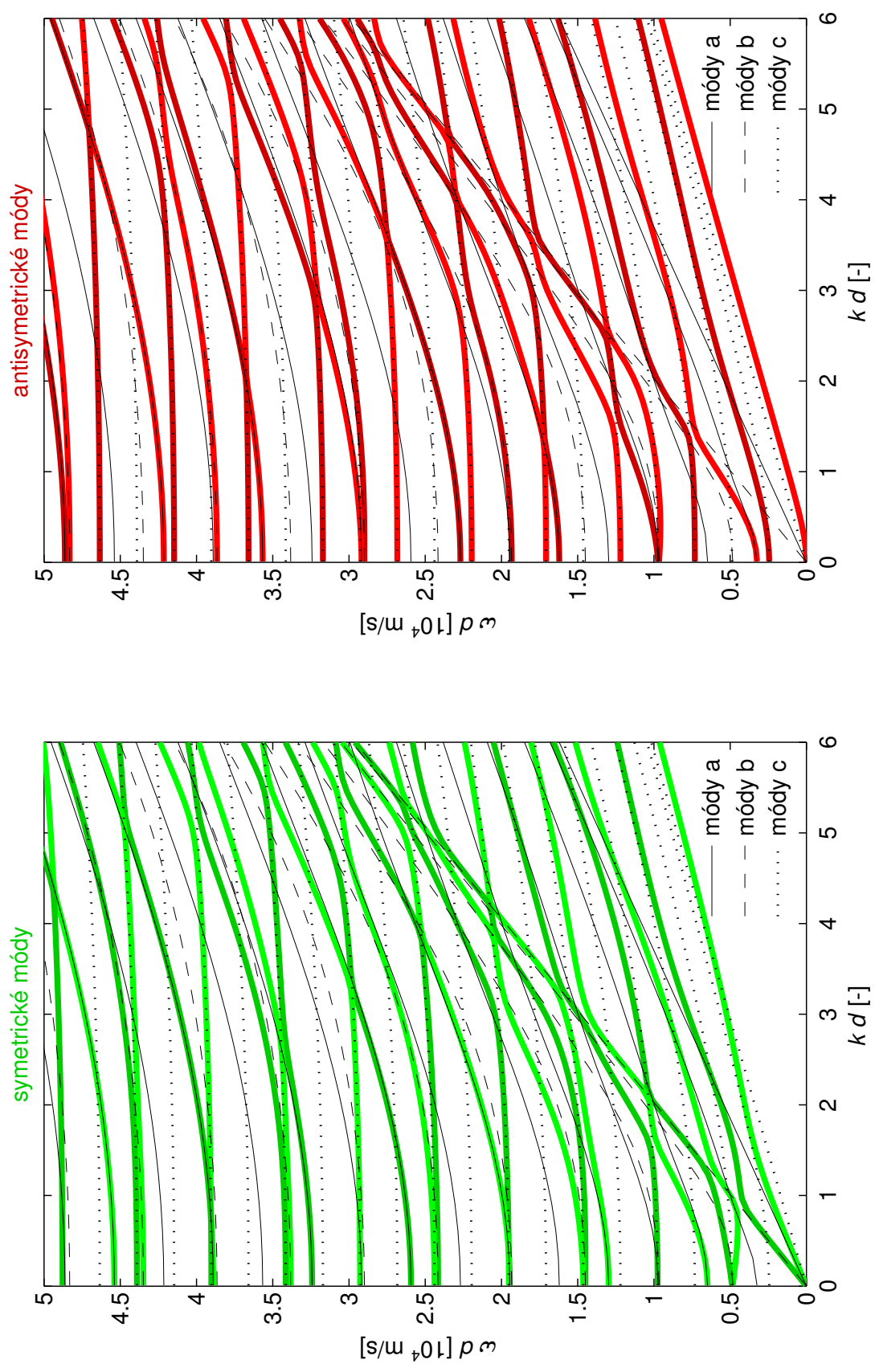
Obrázek 4.24: Disperzní křivky pro směr šíření $\phi = 45^\circ$ v ortotropní desce.



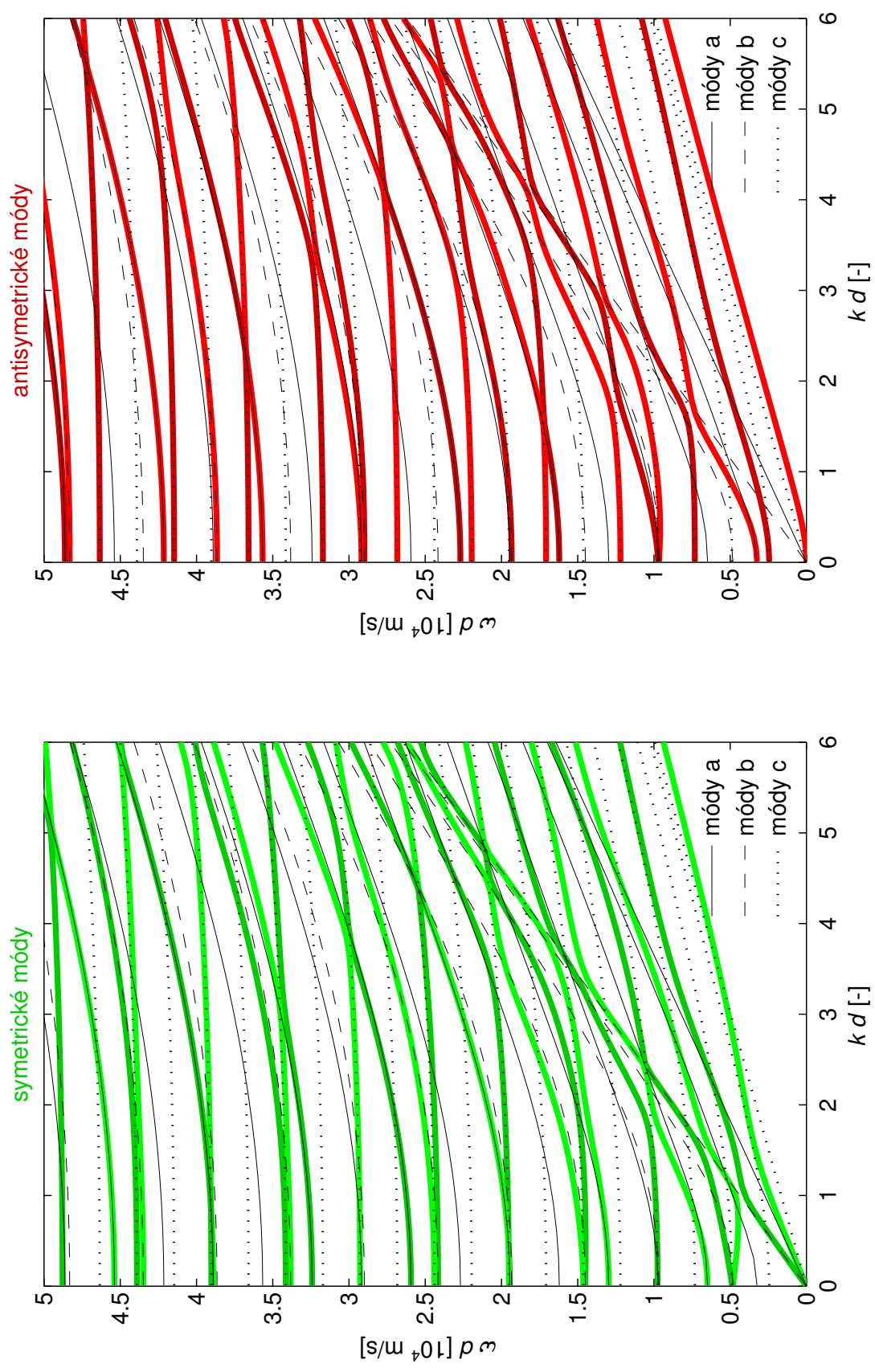
Obrázek 4.25: Disperzní křivky pro směr šíření $\phi = 50^\circ$ v ortotropní desce.



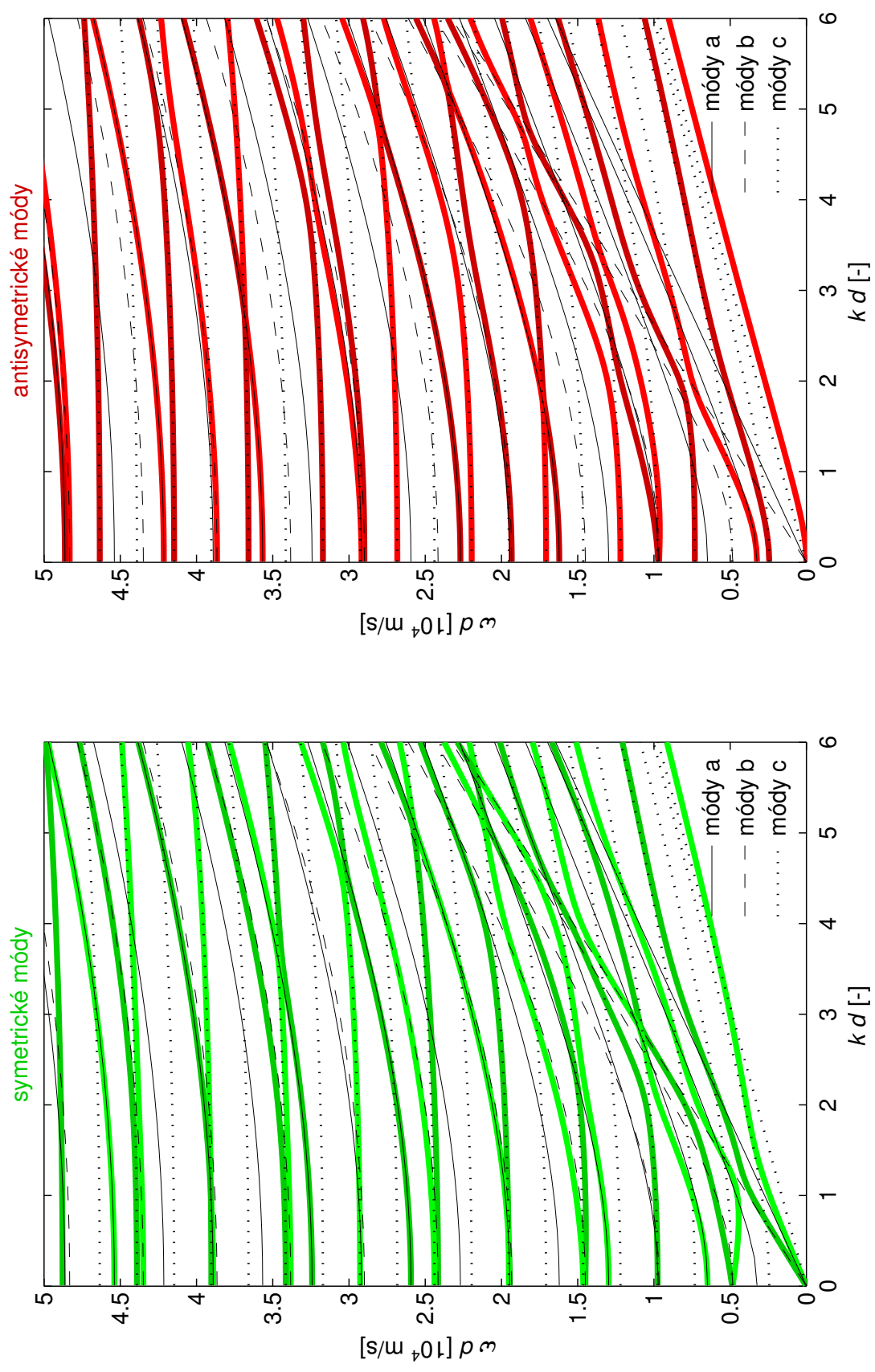
Obrázek 4.26: Disperzní křivky pro směr šíření $\phi = 55^\circ$ v ortotropní desce.



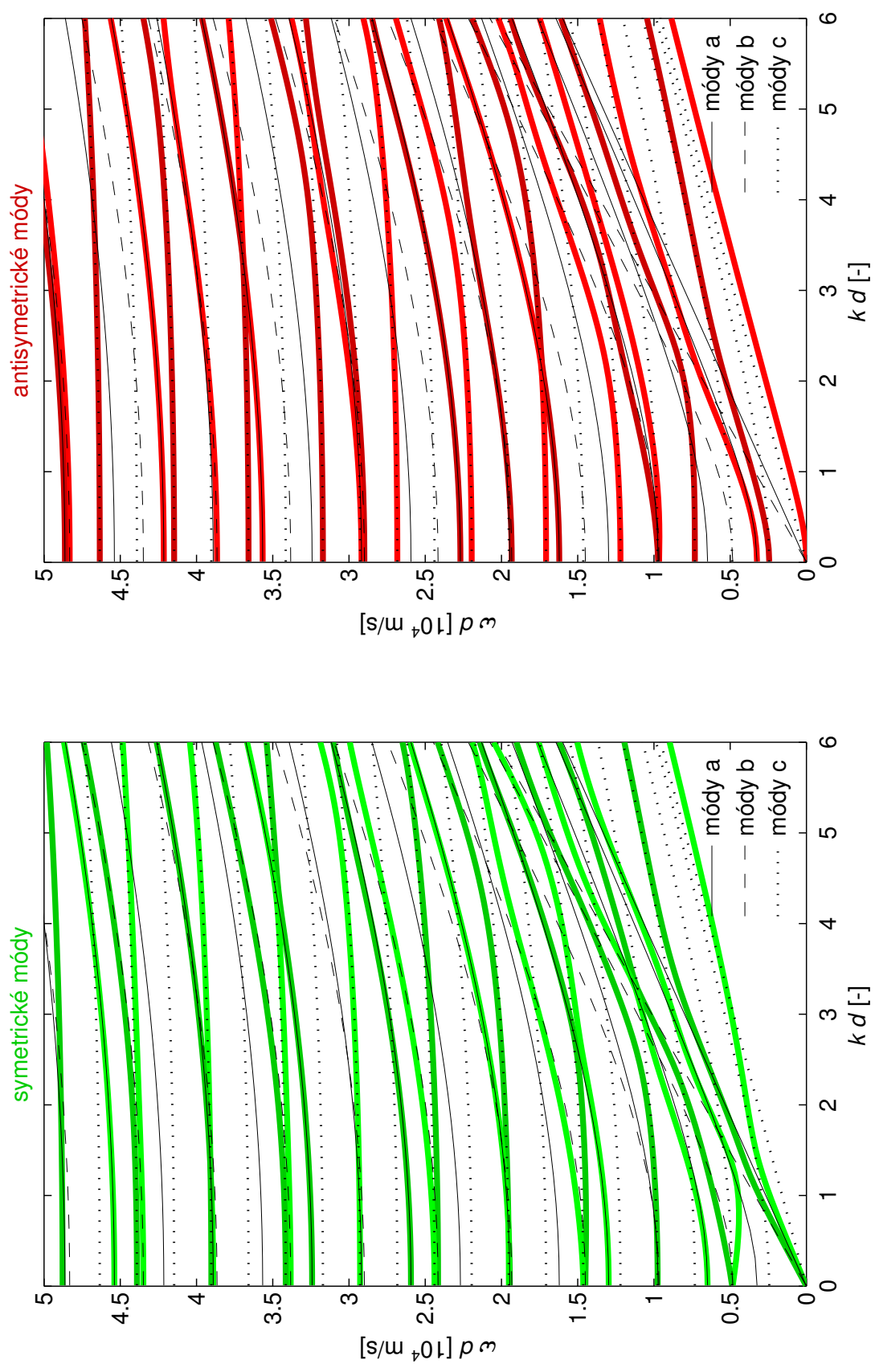
Obrázek 4.27: Disperzní křivky pro směr šíření $\phi = 60^\circ$ v ortotropní desce.



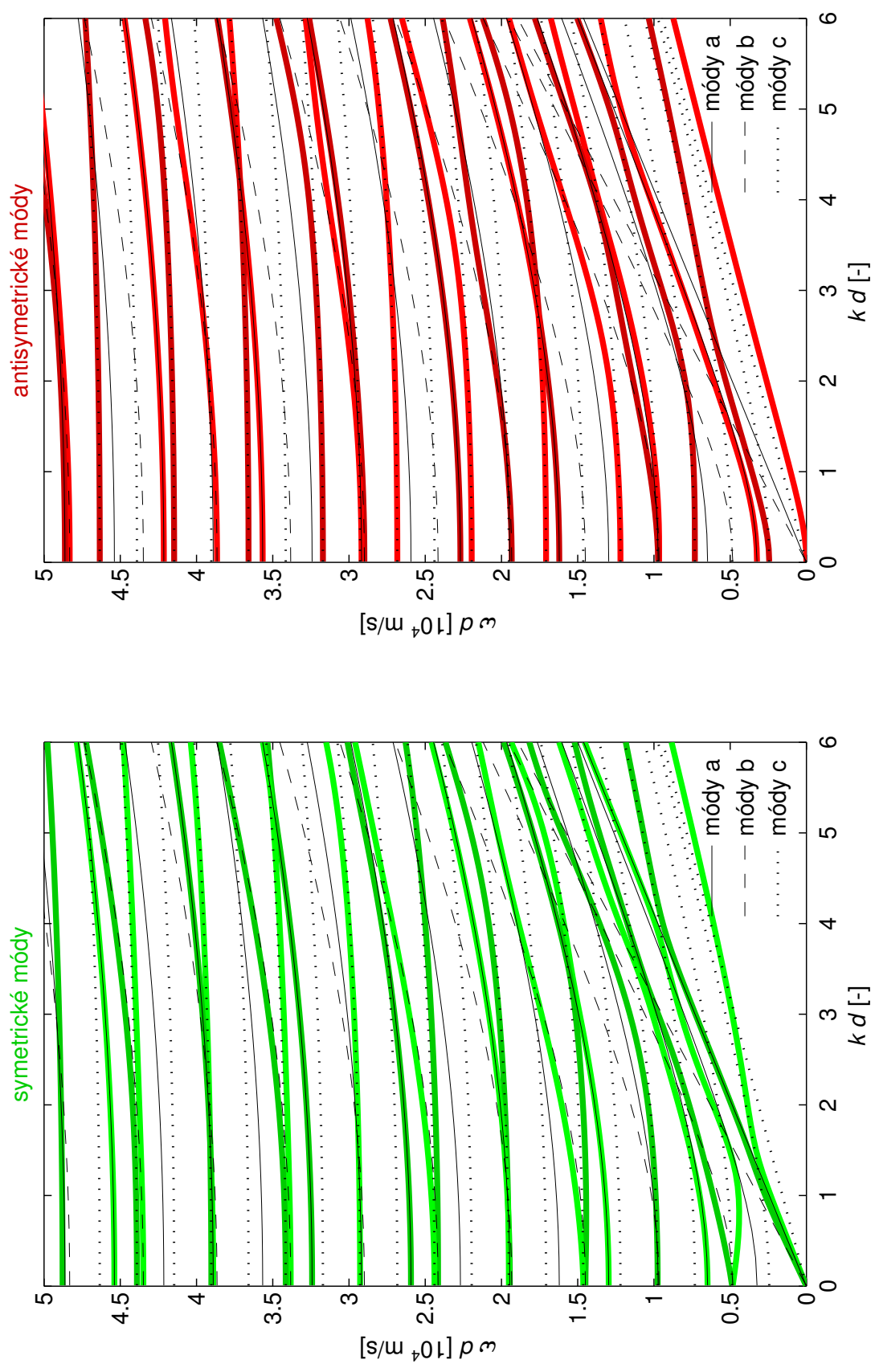
Obrázek 4.28: Disperzní křivky pro směr šíření $\phi = 65^\circ$ v ortotropní desce.



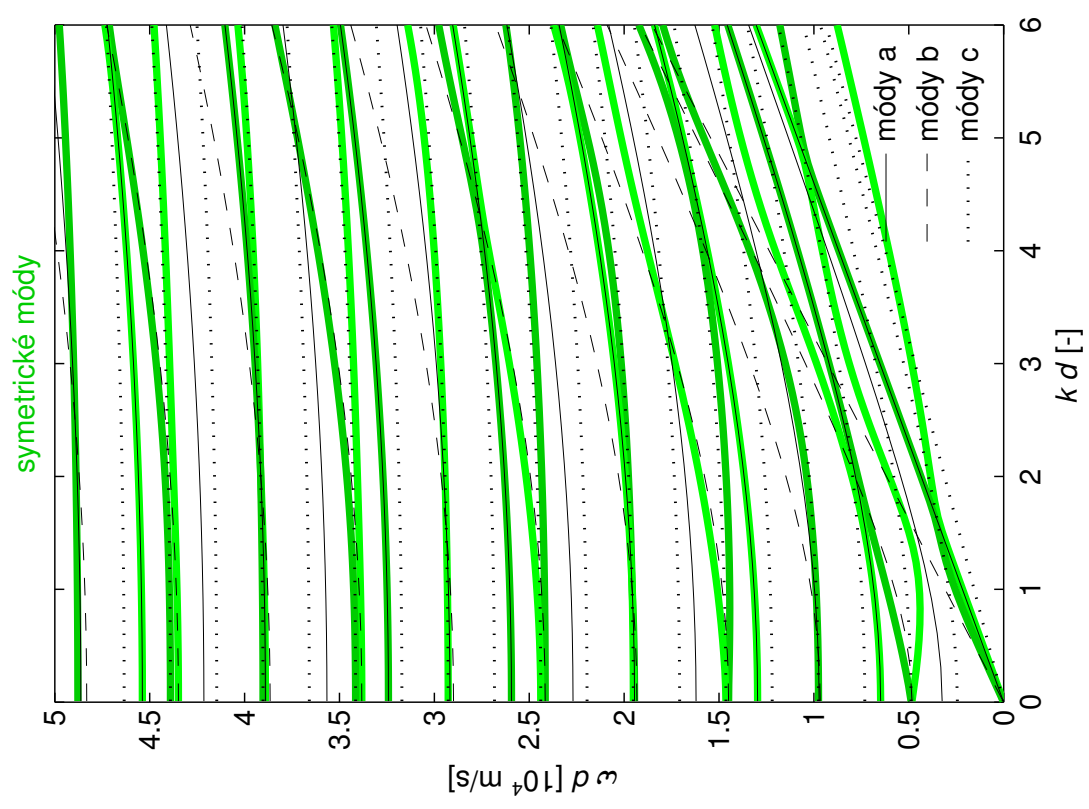
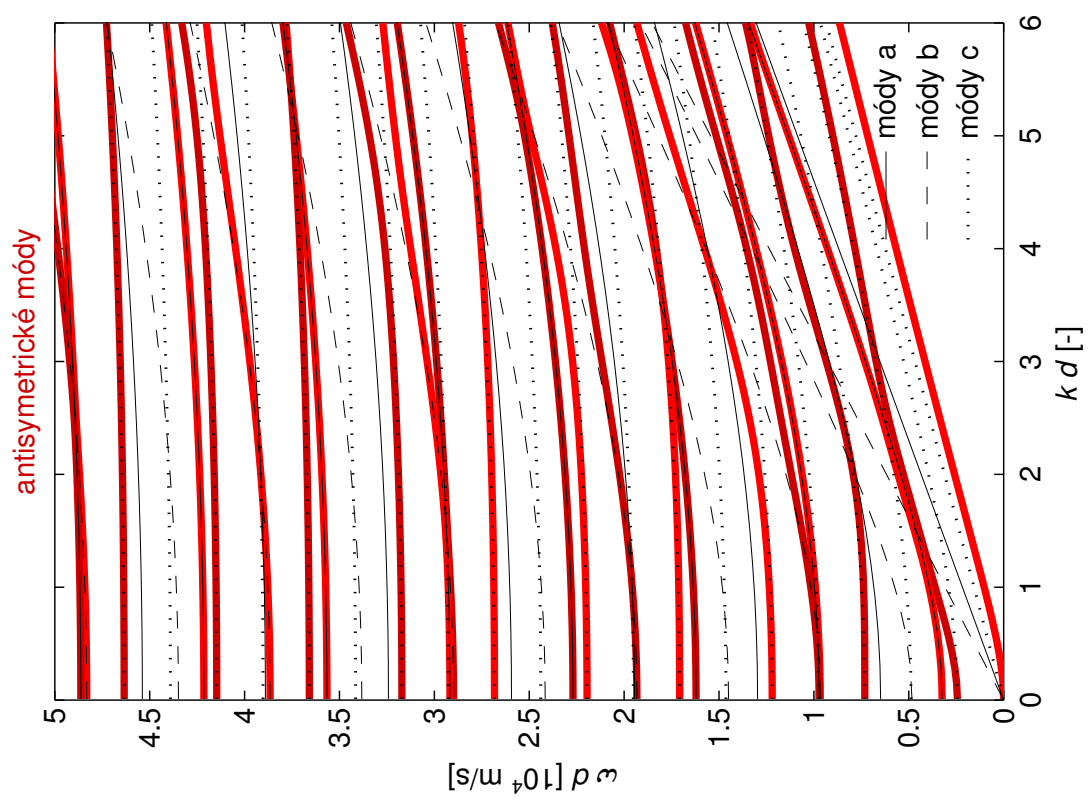
Obrázek 4.29: Disperzní křivky pro směr šíření $\phi = 70^\circ$ v ortotropní desce.



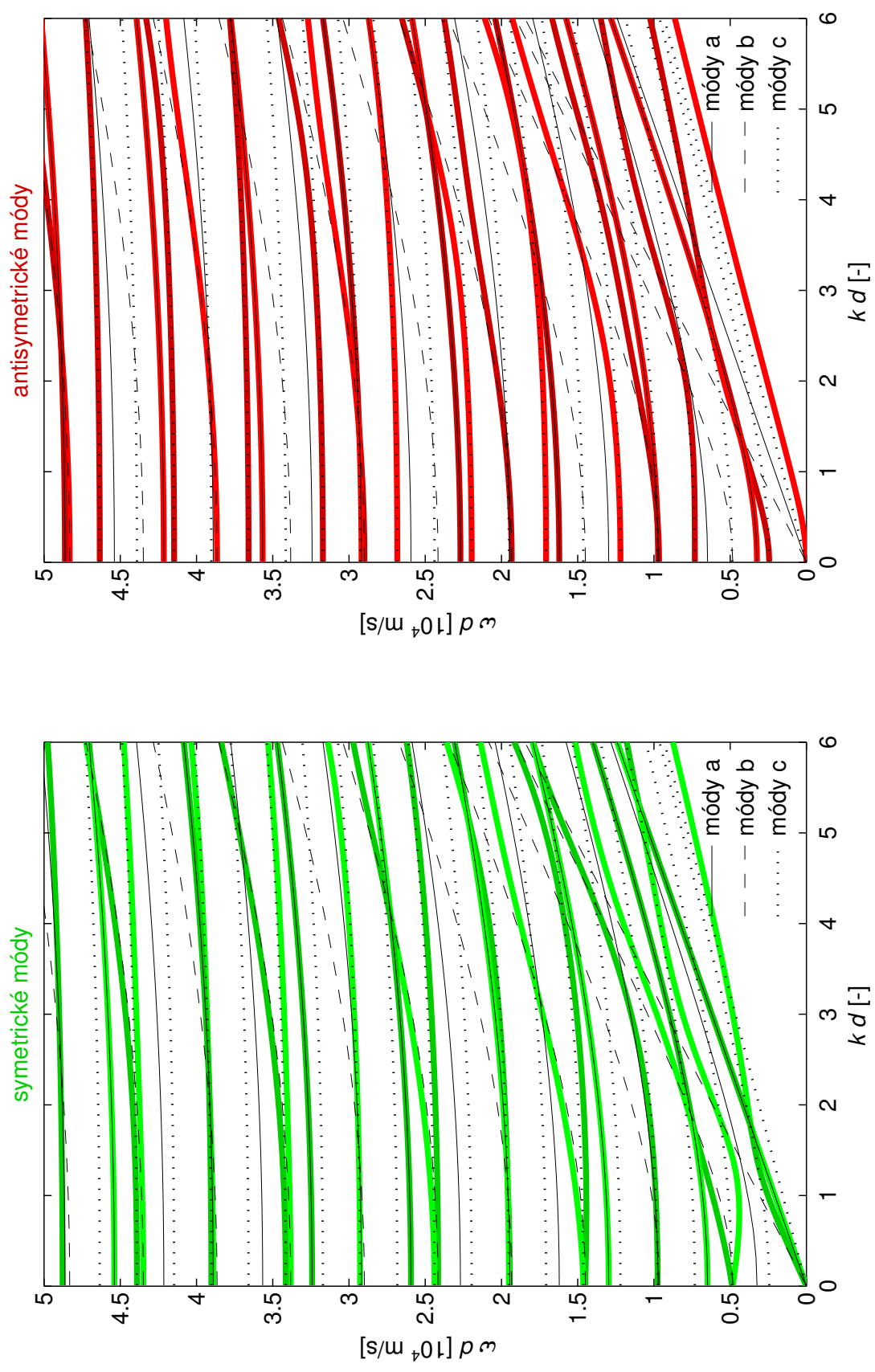
Obrázek 4.30: Disperzní křivky pro směr šíření $\phi = 75^\circ$ v ortotropní desce.



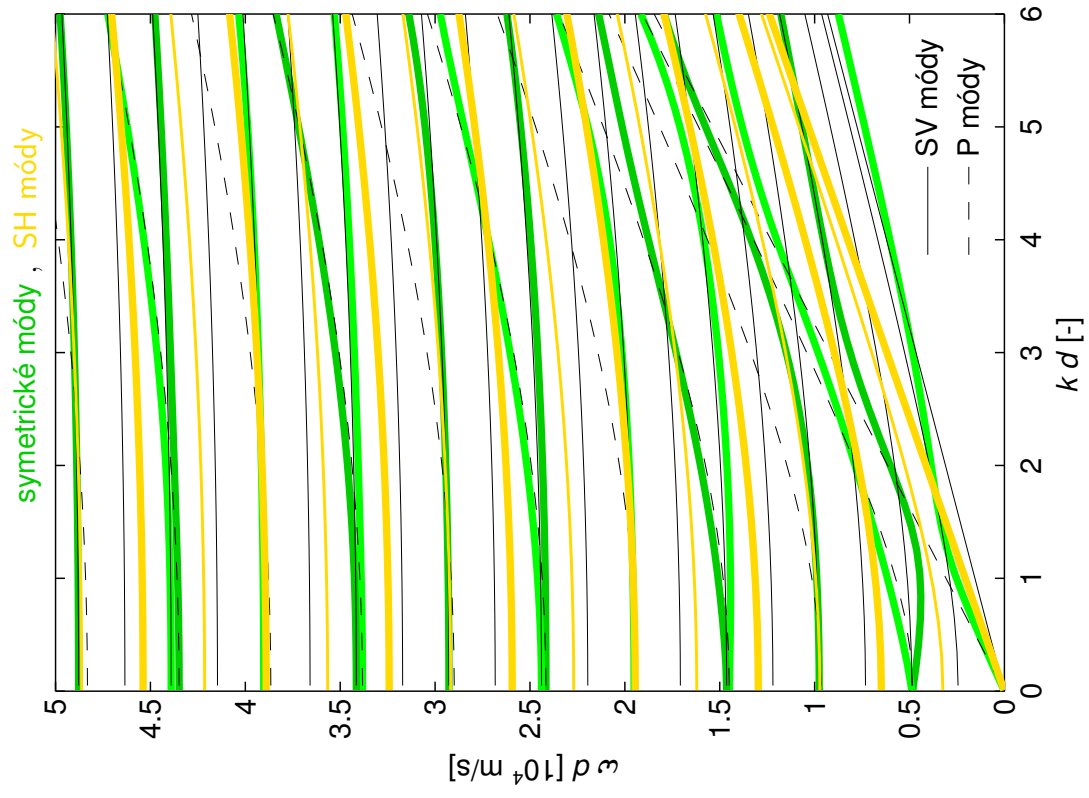
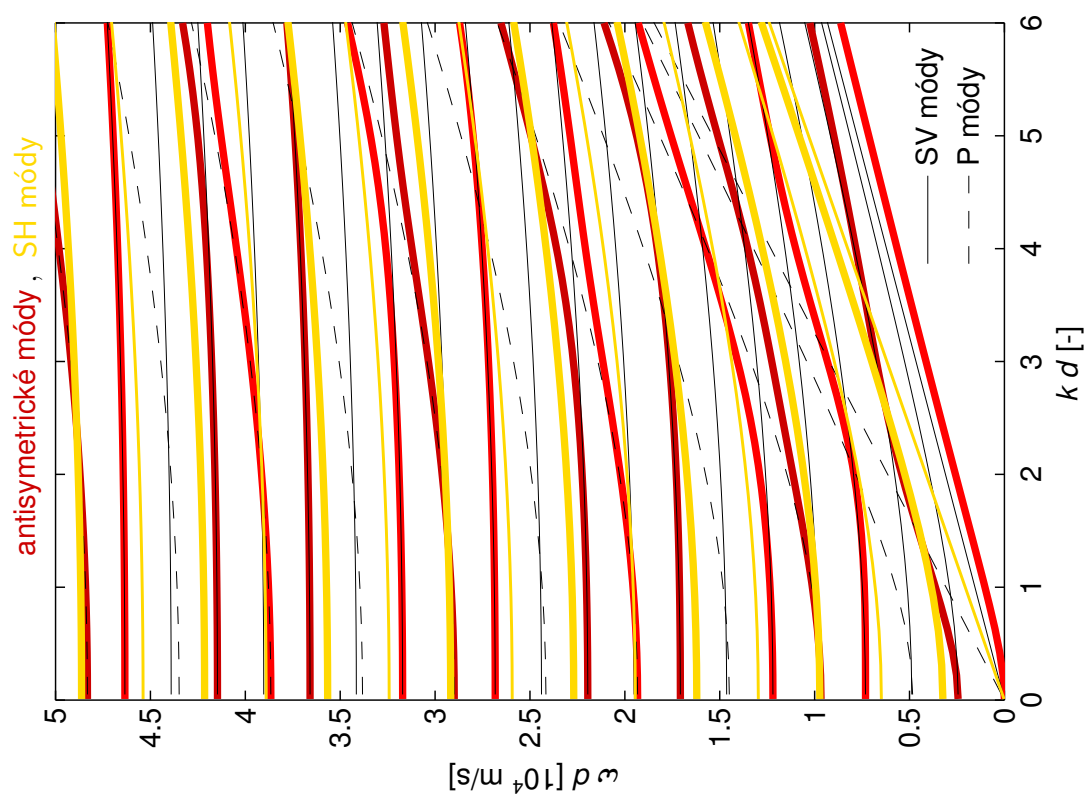
Obrázek 4.31: Disperzní křivky pro směr šíření $\phi = 80^\circ$ v ortotropní desce.



Obrázek 4.32: Disperzní křivky pro směr šíření $\phi = 85^\circ$ v ortotropní desce.



Obrázek 4.33: Disperzní křivky pro směr šíření $\phi = 89^\circ$ v ortotropní desce.



Obrázek 4.34: Disperzní křivky pro směr šíření $\phi = 90^\circ$ v ortotropní desce.

Literatura

- [1] Achenbach, J.D.: *Wave Propagation in Elastic Solids*, North-Holland, 1973.
- [2] Angot A.: Užitá matematika pro elektrotechnické inženýry. SNTL, Praha 1971.
- [3] Auld, B.A.: *Acoustic Fields and Waves in Solids*, John Wiley and Sons, 1973.
- [4] Brekhovskikh, L.M.: *Waves in Layer Media*, Academic Press Inc., New York, 1980.
- [5] Brepta, R.: *Rázy a vlny napětí v pevných elastických tělesech*. Vydavatelství ČVUT, Praha 1977.
- [6] Červená, O., Hora, P.: Analytické vyjádření disperzních křivek v desce s kubickou anizotropií pro libovolný směr šíření, in: *Proc. 22nd Int. Conference Computational mechanics 2006* University of West Bohemia in Pilsen, pp 99–106, 2006.
- [7] Červená O., Hora, P.: The influence of the Mindlin's boundary conditions on wave propagation in thick anisotropic plate.
in: *Proc. National Conference Engineering mechanics 2007* Institute of Thermomechanics ASCR, v.v.i., Prague 2007.
- [8] Červená, O., Hora, P.: The problems at investigation of state of stress of thick orthotropic plate, in: *Applied and Computational Mechanics*, Vol. 1, No. 1, pp 11-20, 2007.
- [9] Graff, K.F.: *Wave Motion in Elastic Solids*, Oxford, 1975.
- [10] Hearmon, R.F.S.: *Úvod do teorie pružnosti anizotropních látek*, SNTL, Praha, 1965.
- [11] Hora, P., Červená O.: Disperzní křivky v desce s kubickou anizotropií, *Proceedings, 21th Conference Computational mechanics 2005* University of West Bohemia in Pilsen, pp 219–226, 2005.
- [12] Hora, P.; Červená, O.: Interpretace falešných kořenů objevujících se ve výpočtech disperzních křivek tlustých desek. in: *Dynamika tuhých a deformovatelných těles 2007*. Ústí nad Labem, UJEP Ústí nad Labem, pp. 76–80, 2007.
- [13] Kolsky, H.: *Stress Waves in Solids*, Dover Publications, 1963.
- [14] Maplesoft™,
<http://www.maplesoft.com>
- [15] The MathWorks, Inc.,
<http://www.mathworks.com>
- [16] Miklowitz, J.: *The Theory of Elastic Waves and Waveguides*, North Holland Publishing Comp., Amsterdam, 1978.

- [17] Mindlin, R.D.: *Structural Mechanics*, Pergamon, New York, 1960.
- [18] Nayfeh, A.H.: *Wave Propagation in Layered Anisotropic Media*, Elsevier Science, 1995.
- [19] Pelts, S.P., and Rose, J.L.: Source influence parameters on elastic guided waves in an orthotropic plate. *J. Acoust. Soc. Am.*, Vol. 99. pp 2124-2129, 1996.
- [20] Rose, J. L.: *Ultrasonic Waves in Solid Media.*, Cambridge University Press, 1999.
- [21] Solie, L.P., and Auld, B.A.: Elastic waves in free anisotropic plates, *J. Acoust. Soc. Am.*, Vol. 54. pp 50-65, 1973.